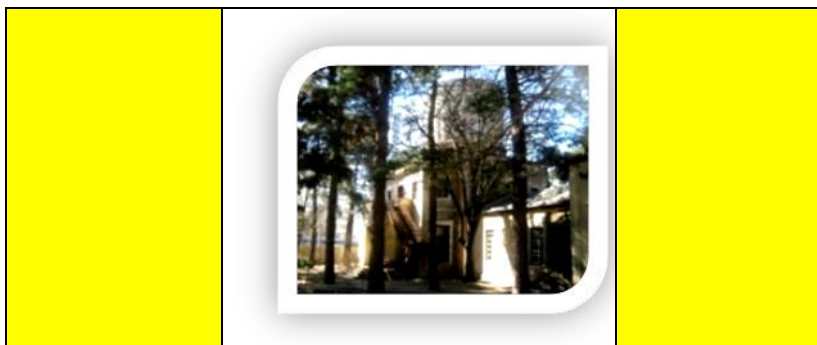


ჰიდრომეტეოროლოგიის ინსტიტუტის ჟრომები  
ტომ №118

**TRANSACTIONS OF THE INSTITUTE OF HYDROME-  
TEOROLOGY  
VOL. №118**

**ТРУДЫ ИНСТИТУТА ГИДРОМЕТЕОРОЛОГИИ  
ТОМ №118**



**საქართველოს ჟაგა  
4. გურია**

**Climate of Georgia  
4. Guria**

**Климат Грузии  
4. Гурия**

თბილისი – TBILISI - ТБИЛИСИ  
2011

ჰიდრომეტეოროლოგიის ინსტიტუტის შრომები  
ტომი №

საქართველოს კავკა  
4. ბჟერია

TRANSACTIONS OF THE INSTITUTE OF HYDROME-  
TEOROLOGY  
VOL. №

Climate of Georgia  
4. Guria

АКАДЕМИЯ НАУК ГРУЗИИ  
ТРУДЫ ИНСТИТУТА ГИДРОМЕТЕОРОЛОГИИ  
ТОМ №

Климат Грузии  
4. Гурия

## თბილისი – TBILISI - ТБИЛИСИ 2011

მთავარი რედაქტორი  
EDITOR IN CHIEF

**Главный редактор**  
სარედაქციო  
კოლეგია

სარედაქციო საბჭო

**Editorial Board**

Editorial Council

**Редакционная коллегия**

**Редакционный  
совет**

ნოდარ ბეგალიშვილი

N.Begalishvili

Бегалишвили Н.А.

ბ.ბერიშვილიშვილი (რედ. მოადგილი), გ.გაჩეჩილაძე,  
გ.გუნია, გ.გრიგოლიძე, ე.ელიზბარაშვილი,  
დ.კერესელიძე, გ.მელაძე, რ.სამუკაშვილი, ვ.ცომაია,  
თ.ცინაძე (პასუხ. მდივანი)

ნ.ბუაჩიძე ი.გელაძე დ.დემეტრაშვილი, ჯ.გაჩხაძე,  
ლ.ნიკირველი, ი.ჩოგოვაძე, გ.ხერხეულიძე მ.მელაძე

B.Beritashvili (Deputy Ed.-in-Chief), G.Ga-chechiladze,  
G.Gunia, G.Grigolia, E.Elizbarashvili, D.Ke-reselidze,  
G.Meladze, R.Samukashvili, V.Tsomaia, T.Tsintsadze (Executive  
secretary)

N.Buachidze, I.Geladze, D.Demetrashvili, J.Vachnadze, L.Inckirveli, I.Chogovadze, G.Kherkheulidze, M.Meladze

Бериташвили Б.Ш.(зам.гл. редактора), Гачечиладзе  
Г.А., Григолия Г.Л., Гуниа Г.С., Кереселидзе, Д.Н., Меладзе  
Г.Г., Самукашвили Р.А., Чомая В.Ш., Цинцадзе Т.Н. (отв.  
секретарь), Элизбарашивили Э.Ш.

Буачидзе Н.С., Вачнадзе Д.И., Геладзе И.М., Деметра-  
швили Д.Л., Инцкирвела Л.И., Чоговадзе И.В., Херхеулиձ  
Գ.Ի., Меладзе Մ.Ռ.

ჰიდრომეტეოროლოგიის ინსტიტუტი  
თბილისი-12, დავით აღმაშენებლის გამზირი 150<sup>o</sup>,

Institute of Hydrometeorology.  
150<sup>a</sup> David Agmashenebeli ave., Tbilisi, 0112, Georgia,

Институт гидрометеорологии  
0112, Тбилиси-12, пр.Д. Агмашенебели 150<sup>a</sup>.

E-mail:

ბერიშვილიშვილი: Tel.: Тел.:  
2951 047, 2 952 028,

ფაქტორი: Fax: Факс:  
295-11-60

**ISSN ISBN**

©

ჰიდრომეტეოროლოგიის ინსტიტუტი  
Institute of Hydrometeorology  
Институт гидрометеорологии

2011

მეცნიერებათა დოქტორების  
ე.ელიზარაშვილის, რ.სამუკაშვილის და  
ჯ.ვაჩნაძის რედაქციით

Edited by Doctors of Sciences  
E.Elizbarashvili, R.Samukashvili and J.Vachnadze

**Под редакцией докторов наук**  
**Э.Элизбарашилии, Р.Самукашвили**  
**и Дж.Вачнадзе**

ISNN ISBN	საქართველოს პავა 4. გურია
--------------	---------------------------

რეცენზებები: გეოგრაფიის მეცნიერებათა დოქტორი,  
პროფესორი ზ. ჭავჭანიძე,

გეოგრაფიის მეცნიერებათა დოქტორი  
ი.ჩოგოვაძე

განხილულია გურიის მხარის კლიმატის ფორმირების ძირითადი ფაქტორები, კლიმატის ელემენტების ტერიტორიული განაწილების კანონზომიერებანი, კლიმატური რესურსები, კომპლექსური კლიმატური მახასიათებლები და ამინდის საშიში მოვლენები. განკუთვნილია კლიმატოლოგებისათვის, აგრონომებისათვის და სპეციალისტებისათვის, რომლებიც მუშაობენ ბუნებრივი რესურსების გამოვლენისა და ათვისების, სამოქალაქო და სამრეწველო ნაგებობების, კავშირგაბმულობის, ელექტროგადამცემი და მილსადენი ხაზების დაგეგმარების დარგში.

Рассмотрены основные факторы формирования климата Гурии, закономерности территориального распределения климатических элементов, климатические ресурсы, комплексные климатические характеристики и опасные явления погоды. Предназначена для климатологов, агрономов и специалистов занимающихся выявлением и освоением природных ресурсов, планированием и проектированием гражданских и промышленных сооружений, линий связи, электропередач и трубопроводов.

The main factors of Guria Region's climate formation as well as territorial distribution of climatic elements, climatic resources, complex climatic characteristics and the dangerous weather conditions are considered.

## შესაგალი

წინამდებარე ნაშრომი ეძღვნება გურიის მხარის კლიმატს და კლიმატურ რესურსებს. ის შესრულებულია ჰიდრომეტეოროლოგიის ინსტიტუტის მეცნიერ თანამშრომელთა მიერ. წინა წლებში შესრულდა და გამოიცა ანალოგიური გამოკვლევები აჭარის, აფხაზეთის და სამეგრელო-ზემო სვანეთის რეგიონების შესახებ (იხ. საქართველოს პავა. 1.აჭარა, პმი-ს შრ., ტ.110, 2003წ.; საქართველოს პავა. 2.აფხაზეთი, პმი-ს შრ., ტ.112, 2006წ.; საქართველოს პავა. 3.სამეგრელო-ზემო სვანეთი, პმი-ს შრ., ტ.113, 2010წ.).

წინამდებარე ნაშრომში განხილულია გურიის რეგიონის კლიმატის ფორმირების ძირითადი ფაქტორები, კლიმატის ცალკეული ელემენტების ტერიტორიული განაწილების კანონზომიტებები, კლიმატური რესურსები, მიკროკლიმატური გამოკვლევები და ამინდის საშიში მოვლენები.

კვლევებში გამოყენებულია გურიის მხარეში არსებული მეტეოროლოგიური სადგურების დაკირკვებათა მონაცემები დაწყებული დღიდან მათი დაარსებისა მდ დოკუმენტების განვითარების კანონზომიტებები, კლიმატური რესურსები, მიკროკლიმატური გამოკვლევები და ამინდის საშიში მოვლენები.

ნაშრომი შესრულებულია ჰიდრომეტეოროლოგიის ინსტიტუტის სამეცნიერო სამუშაოთა ოქმატური გეგმის შესაბამისად. კვლევების ძირითადი შედეგები გვუთვნის კლიმატოლოგებს -გეოგრაფიის მეცნიერებათა დოქტორებს რ.სამუჯაშილს, მ.ელიზარაშვილს და ფიზიკა-მათემატიკის მეცნიერებათა დოქტორს ჯ.ვაჩნაძეს. ნაშრომის შესრულებაში მნიშვნელოვანი წვლილი შეიტანეს აგრძელებულობათა სოფლის მეურნეობის მეცნიერებათა დოქტორმა, პროფესორმა გმელაძემ და გლაციოლოგებმა-გეოგრაფიის მეცნიერებათა დოქტორებმა ლ.ქალდანმა და მ.სალუქვაძემ. აღსანიშნავია ნაშრომის შესრულებაში სოფლის მეურნეობის მეცნიერებათა დოქტორის მ.მელაძის, აგრეთვე ახალგაზრდა მეცნიერთა-გეოგრაფიის მეცნიერებათა დოქტორების ნ.ვაშაყმაძის და შ. ელიზარაშვილის, ასევე ც.დიასამიძის, გ.ჯინჭარაძის და ი.ვაჩნაძის დამსახურება. ნაშრომის შესრულებას საერთო ხელმძღვანელობას უწევდა გეოგრაფიის მეცნიერებათა დოქტორი, პროფესორი ე. ელიზარაშვილი. მისივე მიერ შესრულებულია რამოდენიმე პარაგრაფი. სერიის შემდეგი, მე-5 ტომი მიეძღვნება შიდა ქართლის რეგიონს.

## თავი I. პლიმატის უორმირების მირითადი ზაჟთორები

1.1 კლიმატის რადიაციული ფაქტორები

მზის სხივური ენერგია, რომელიც დედამიწის ზედაპირზე მოდის მოქლებალდიანი (პირდაპირი **S**, **s** და გაბნეული **D**) და ატ-მოსფეროს მიერ გამოსხივებული გრძელტალდიანი (**E<sub>a</sub>**) რადიაციქ-ბის სახით, წარმოადგენს ატმოსფეროში, პიდროსფეროში და ლი-თოსფეროს ზედაპირზე (ზედა ფენაში) მიმდინარე პროცესების ენ-ერგეტიკულ ბაზას, გარდა ამისა ის ითვლება მირითად კლიმატ-წარმოქმნელ ფაქტორად და ენერგიის ეკოლოგიურად სუფთა წყაროდ, რომლის ათვისებას და პრაქტიკულ გამოყენებას ენერგე-ტიკული კრიზისის თანამედროვე პირობებში ენიჭება ადამინის ყო-ფით პირობებში და სამეურნეო საქმიანობაში აქტიური მნიშ-ვნელობა.

გურიის დაბლობი რაიონის კლიმატის რადიაციული ფაქ-ტორების დასახასიათებლად და მათი რაოდენობრივი შეფასების მიზნით გამოყენებული იქნა ანასეულში არსებული აქტინომეტ-ტრიკული სადგურის მონაცემები (1953-1990), რომელიც განლაგე-ბულია კოლხეთის დაბლობის სამხრეთ-დასავალეთ ნაწილში, აჭა-რა-გურიის წინამთის ზოლში ზღვის დონიდან 158 მ სიმაღლეზე. ამ სადგურზე სისტემატური დაკვირვებები მზის პირდაპირი რა-დიაციის სხივისადმი მართობულ **s** და ჰორიზონტალურ **s'** ზედა-პირებზე, ატმოსფეროს მიერ გაბნეულ **D** და ჯამურ **Q=S+D** რადი-აციაზე, აგრეთვე ქვეყნილი ზედაპირიდან არეკლილ მოქლებალ-დიან რადიაციაზე **R<sub>a</sub>** ტარდებოდა 1953 წლიდან, ხოლო ქვეყნილი ზედაპირის რადიაციულ ბალანსზე **B-1954** წლიდან.

აღნიშნული ინფორმაცია ახასიათებს გურიის დაბლობის სუბტროპიკული ზონის კლიმატის რადიაციულ ფაქტორებს. გარდა ამისა, მთიანი და მაღალმთიანი ტერიტორიის ამ რადიაციული მახასიათებლების (**S**, **S'**, **D**, **Q**, **R<sub>a</sub>**), აგრეთვე ქვეყნილი ზედაპირის მიერ შთანთქმული **Q<sub>g</sub>** რადიაციის ქვეყნილი ზედაპირის ალბედოს **A<sub>g</sub>**, ეფექტური გამოსხივების **E<sub>gg</sub>=E<sub>a</sub>-E<sub>g</sub>** (სდაც **E<sub>a</sub>** არის ატმოსფეროს მიერ გამოსხივებული გრძელტალდიანი რადიაცია, **E<sub>g</sub>**-ქვეყნილი ზედაპირის მიერ გამოსხივებული გრძელტალდიანი რადიაცია) და რადიაციული ბალანსის **B=Q<sub>g</sub>-E<sub>gg</sub>** წლიური სვლის და ადგილის სიმაღლეზე დამოკიდებულების დაგენის მიზნით გამოყენებული იქნა საქართველოს მთიანი და მაღალმთიანი აქ-ტინომეტრიული სადგურების ქსელის ინფორმაცია. ამ სადგურე-

ბიდან მაღალმთიანი ყაზბეგი ( $H=3653\text{m}$ ) და ჯვრის უდელტეხილი ( $H=2355\text{m}$ ) განლაგებულია ცენტრალურ კავკასიონზე, სადგური წალკა ( $H=1457\text{m}$ ) კი-მცირე კავკასიონზე. შედეგად მოწმენდილი ცისა და დრუბლიანობის საშუალო პირობებისათვის საქართველოს ტერიტორიისათვის დადგენილი იქნა რადიაციული ბალანსისა და მისი მდგრენელების თვიური და წლიური ჯამების ადგილის აბსოლუტურ სიმაღლეზე- $H$  დამოკიდებულებების კანონზომიერებების გრაფიკული და ანალიზური სახეები. ამ დამოკიდებულებების დადგენისას გამოყენებული იქნა აგრეთვე კავკასიონის ჩრდილოეთ ფერდობზე არსებული აქტინომეტრიული სადგურების დაკვირვებების მასალები. მიღებული დამოკიდებულებების გამოყენება საკლევ ტერიტორიაზე რადიაციული ბალანსისა და მისი მდგრენელების წლიური სელისა და მაღლივი ცვლილებების დასადგენად მისი დრუბლიანობის რეჟიმის გათვალისწინებით გამართლებულია იმით, რომ მოწმენდილი ცის შემთხვევაში რადიაციული ბალანსის მოკლეტალდიანი მდგრენელების თვიური ჯამების საშუალო კვადრატული გადახრა პრაქტიკულად მუდმივი რჩება  $300-400\text{cm}^2$  მანძილზე და მათ სიდიდეზე გავლენას ვერ ახდენს ქვეფნილი ზედაპირის რადიაციული თვისებები (ალბერ). რადიაციული ბალანსის B, ქვეფნილი ზედაპირის ალბეროს A, უკეპტური გამოსხივების E, არეკლილი, შთანთქმული R, Q<sub>q</sub>, მოკლეტალდიანი რადიაციებისაგან განსხვავებით, რომლებიც წარმოადგენს ქვეფნილი ზედაპირის ლოკალური ალბეროს ფუნქციებს, რადიაციული ბალანსის ამ მდგრენელების მაღლივი ცვლილებების კანონზომიერებების დაგენისას მხედველობაში მიიღება სეზონური თოვლის საფრის რეჟიმული მახასიათებლები (Пивоварова З.И. 1977; Самукашвили Р.Д.1987; სამუკაშვილი რ. 2006). რაც შეეხება რადიაციული ბალანსის მოკლეტალდიანი მდგრენელების დამოკიდებულებას ადგილის განედზე, უნდა აღინიშნოს, რომ საკვლევი ტერიტორიისათვის მისი ცვლილებების დიაპაზონი იმდენად მცირეა, რომ იგი პრაქტიკულად შესამჩნევ გავლენას ვერ ახდენს ბალანსის მოკლეტალდიანი მდგრენელების სიდიდეზე მოწმენდილი ცის პირობებში.

გურიის ტერიტორიაზე კლიმატის რადიაციული მახასიათებლების ფორმირებაზე მნიშვნელოვან გავლენას ახდენს დრუბლიანობა, მზის ნათების ხანგრძლივობა, ქვეფნილი ზედაპირის და ატმოსფეროს ფიზიკური თვისებები. ცხრილ 1.1.1.-ში მოცემულია საერთო და ქვედა იარუსების დრუბლიანობის საშუალოთვიური და წლიური სიდიდეები, მოწმენდილი და მოღრუბლებული დღეების რაოდენობა საერთო და ქვედა იარუსის დრუბლიანობის შემთხვევაში.

ცხრილი 1.1.1. საერთო N და ქვედა იარუსის კლასების დამოუკიდებელი და წლიური მნიშვნელობები (ბალი), მოწმენდილი დღეების რაოდენობა საერთო n<sub>1</sub> და ქვედა იარუსის n<sub>2</sub> დამოუკიდებელი მემთხვევაში

	თვე												წლი
I	II	III	IV	V	VI	VII	VIII	IX	X	XI	XII		
ანთეცია													
N	7.1	7.2	7.4	6.8	6.5	5.9	6.7	6.2	5.8	5.7	6.0	6.4	6.5
n	4.8	5.0	5.0	4.3	4.0	3.6	4.2	4.0	3.9	3.8	3.8	4.1	4.2
აცანა													
N	7.1	7.4	7.4	7.0	6.7	6.1	6.8	6.3	6.0	5.8	6.1	6.6	6.6
n	5.2	5.4	5.5	5.0	4.8	4.8	5.5	5.1	4.8	4.2	4.2	4.5	4.9
ანასეული													
N	7.0	7.4	7.8	7.8	7.0	6.6	7.4	6.9	6.5	6.0	6.2	6.6	6.9
n	5.1	5.4	5.4	5.3	5.0	5.0	6.1	3.8	5.4	4.4	4.4	4.6	5.2
ბაბმარო													
N	6.7	6.8	6.9	6.3	6.1	5.8	6.2	5.6	5.1	5.2	5.7	6.1	6.0
n	5.2	5.2	5.2	4.4	4.2	4.6	5.3	4.7	4.4	4.0	4.1	4.5	4.6
ლაბნეცია მოწმ.													
N	3.0	2.5	2.2	3.2	3.3	4.4	2.8	3.7	5.6	6.0	5.1	4.3	4.6
n	8.3	6.8	7.9	9.4	9.9	9.6	6.9	8.7	10.0	11.1	11.8	11.3	11.2
ლაბნეცია მოღრ.													
n <sub>1</sub>	15.1	14.3	15.5	13.7	11.4	9.4	12.8	11.0	9.3	9.3	10.9	12.6	14.5
n <sub>2</sub>	7.9	6.5	7.9	6.0	4.7	2.4	3.3	3.3	3.1	4.3	4.9	5.5	6.0
აცანა მოწმ.													
n <sub>1</sub>	3.2	2.6	2.7	3.2	3.4	4.5	2.8	4.1	5.4	6.0	5.8	4.8	4.8
n <sub>2</sub>	8.1	7.3	7.6	9.1	8.8	7.8	5.2	6.5	7.8	10.7	11.8	11.2	10.2
აცანა მოღრ.													
n <sub>1</sub>	15.4	15.2	16.7	14.3	13.1	10.7	13.7	11.8	10.2	10.6	11.7	13.6	15.7
n <sub>2</sub>	9.5	8.9	10.6	8.5	7.1	6.3	8.4	8.0	6.4	5.6	6.6	7.9	9.3
ანასეული მოწმ.													
n <sub>1</sub>	3.1	2.1	2.6	2.9	2.9	3.7	1.9	2.7	4.1	5.7	5.3	4.3	4.1
n <sub>2</sub>	8.6	7.1	8.0	8.8	8.5	7.6	3.3	5.0	6.1	10.1	10.9	11.0	9.5
ანასეული მოღრ													
n <sub>1</sub>	14.9	14.9	17.2	15.8	14.1	11.9	16.1	14.3	12.5	10.9	11.4	13.4	16.7
n <sub>2</sub>	8.6	8.8	10.5	9.4	8.4	7.2	10.2	9.3	8.6	7.3	7.2	7.6	10.3
ბაბმარო მოწმ.													
n <sub>1</sub>	4.1	3.4	3.6	4.1	3.8	4.1	4.4	6.4	8.6	7.6	7.1	5.4	6.2
n <sub>2</sub>	8.6	7.7	8.2	9.6	9.1	7.2	6.6	8.5	11.0	12.7	11.7	10.7	11.2
ბაბმარო მოღრ.													
n <sub>1</sub>	13.3	12.6	13.8	11.1	8.8	8.4	11.0	9.2	8.8	8.6	9.7	11.6	12.7
n <sub>2</sub>	9.1	8.4	9.0	5.8	4.2	5.1	8.3	6.7	7.1	6.6	6.5	7.3	8.4

როგორც ცხრილი 1.1.1.-დან ჩანს გურიის დაბლობ რაიონებში (სადგურები-ლანჩეული, აცანა, ანასეული) საერთო დრუბლიანობის წლიური მნიშვნელობები მერყეობს 6,5 (ლანჩეული) – 6,9 (ანასეული) ბალის საზღვრებში. ქვედა იარუსის საშუალო-წლიური მნიშვნელობები კი – 4,2 (ლანჩეული) – 5,2 (ანასეული) ბალის საზღვრებში. წელიწადში მოწმენდილ დღეთა რიცხვი საერთო დრუბლიანობით მერყეობს 42 (ანასეული) – 48 (აცანა)-ის, ქვედა

ღრუბლიანობით—95 (ანასეული)—112 (ლანჩხუთი)—ის ფარგლებში. მოღრუბლეულ დღეთა რიცხვი საერთო მოღრუბლეულობით მერყეობს 145 (ლანჩხუთი)—167 (ანასეული)—ის, ქვედა ღრუბლიანობით კი 60 (ლანჩხუთი)—103 (ანასეული)—ის საზღვრებში. მთიან რაიონში (ბახმარო) წელიწადში მოწმენდილ დღეთა რიცხვი საერთო ღრუბლიანობით შეადგენს 62, ქვედა იარუსის ღრუბლიანობით 112, მოღრუბლეულ დღეთა რიცხვი საერთო ღრუბლიანობით ტოლია 127-სა, ქვედა იარუსის ღრუბლიანობით—84-სა. ბახმაროში საერთო ღრუბლიანობის საშუალოწლიური მნიშვნელობა შეადგენს 6,0 ბალს, ქვედა იარუსის ღრუბლიანობის საშუალო წლიური მნიშვნელობა, კი—4,6 ბალს (საქართველოს სამკუნიკრო-გამოყენებითი კლიმატური ცნობარი. ნაწ. 1, თბილისი 2004).

მზის ნათების ხანგრძლივობის (ა), მზის ნათების ფაქტიური შესაძლო ხანგრძლივობასთან შეფარდების (ბ) სიდიდეები და უმზეო დღეთა რიცხვი სადგურზე ოზურგეთი, ანასეული და ბახმარო მოცუმულია ცხრილ 1.1.2. -ში

ცხრილი 1.1.2. მზის ნათების ხანგრძლივობა ა (სთ), მზის ნათების ფაქტიური ხანგრძლივობის შესაძლო ხანგრძლივობასთან შეფარდება ბ (%) და უმზეო დღეთა რიცხვი (გ) [Справочник по климату СССР, вып. 14, Л., 1968]

თვე, წელი	სადგური						ანასეული	
	ოზურგეთი			ბახმარო				
	ს	ბ	ბ	ს	ბ	ბ		
I	95	39	11	101	44	9	93	
II	90	38	9	104	42	9	98	
III	129	39	8	151	45	6	126	
IV	157	43	6	186	48	2	154	
V	198	50	3	200	55	3	197	
VI	221	55	3	220	63	3	216	
VII	191	48	4	206	69	3	174	
VIII	199	51	4	213	74	2	185	
IX	188	59	3	185	64	2	173	
X	176	56	4	172	55	5	162	
XI	129	51	7	130	46	5	119	
XII	91	39	9	98	40	9	99	
წელიწადი	1863	48	71	1975	54	58	1796	

როგორც ცხრილ 1.1.2.-დან ჩანს წლის განმავლობაში მზის ნათების ხანგრძლივობა ბახმაროში საშუალოდ 112 საათით მეტია ოზურგეთთან შედარებით, მზის ნათების ფაქტიური ხანგრძლივობის შესაძლო ხანგრძლივობასთან შეფარდება კი-6%-ით. უმზეო დღეთა რიცხვი კი ნაკლებია 10 დღით, ნისლიან დღეთა საშუალო რაოდენობა წელიწადში ბახმაროში მერყეობს 1-2 დღიდან ზამთარში 14-19 დღემდე, ზაფხულში და სექტემბერში (14 დღე), წელიწადის ციკ პერიოდში (X-III) იგი შეადგენს 20-ს, თბილ პერიოდში (IV-IX) 82-ს, წელიწადში 102 დღეს. ლანჩხუთში ნის-

ლიან დღეთა რაოდენობა წელიწადში მერყეობს 1-4 დღის ფარგლებში მაქსიმუმით აგვისტო-ოქტომბერში (3-4 დღე) და მინიმუმით (0,9-1 დღე) წელიწადის დანარჩენ თვეებში, მასში იგი შეადგენს 2 დღეს, ცივ პერიოდში (X-II) 9, თბილ პერიოდში (IV-IX) 12, წელიწადში 21 დღეს.

ბახმაროში საერთო და ქვედა იარუსის დრუბლიანობით ცის მოწმენდილი (0-2 ბალი) მოდრუბლული (8-10 ბალი) მდგომარეობის მაქსიმალური და მინიმალური ალბათობა შესაბამისად შეადგენს: 49% (0-2 ბალი), 60% (8-10 ბალი) და 26% (0-2 ბალი), 34% (8-10 ბალი) ზამთარში, ოზურგეთში კი ეს მახასიათებლები მერყეობენ შესაბამისად 38%-დან (0-2 ბალი), 63%-მდე (8-10 ბალი) და 28%-დან (0-2 ბალი), 42%-მდე (8-10 ბალი). საერთო და ქვედა იარუსის საშუალოთვიური მნიშვნელობები შავი ზღვის სანაპირო ზოლში წელიწადში იცვლება შესაბამისად 5,4-7,1 და 2,8-4,1 ბალის საზღვრებში. საერთო დრუბლიანობის საშუალო რაოდენობა შეადგენს 6,2, ხოლო ქვედა იარუსის საშუალო წლიური რაოდენობა-3,6 ბალს. მოწმენდილ დღეთა რიცხვი საერთო და ქვედა იარუსის დრუბლიანობით დაბლობ ზღვისპირა რაიონებში წელიწადის განმავლობაში იცვლება შესაბამისად 0,9(VI)-5,2(I,X,XI) დღის ფარგლებში და 1,5(VI)-9,6(I) დღის ფარგლებში. მოწმენდილ დღეთა რიცხვი წელიწადში საერთო დრუბლიანობით შეადგენს 41,1, ქვედა იარუსის დრუბლიანობით კი 68,6. მოდრუბლულ დღეთა რიცხვი საერთო დრუბლიანობით წელიწადის განმავლობაში იცვლება 9,9(XI)- 15,2(IV) დღის ფარგლებში, ქვედა იარუსის დრუბლიანობით კი - 8,2(II)-11,8(IV) დღის ფარგლებში. ამ ინფორმაციის ანალიზთან ერთად თუ მხედველობაში მივიღებთ მზის პირდაპირი და ჯამური რადიაციის ინტენსივობის ზრდას ადგილის აბსოლუტური სიმაღლის მატებისას მთიან რაიონებში, შეძლება დავასკვნათ, რომ საღგური ბახმარო (ცნობილი მთიანი კლიმატოერაპული კურორტი) ხასიათდება გაცილებით უკეთესი ინსოლაციური მახასიათებლებით გურიის ზღვისპირა დაბლობ რაიონებთან შედარებით.

სამწუხაროდ საქართველოს პირობებში დრუბლების ცალკეული იარუსების და სახეობების რადიაციულ მახასიათებლებზე დაკვირვებები მათი ოპტიკური სისქის წყლიანობის, მიკროსტრუქტურული პარამეტრების, მზის ზენიტური მანძილის, ქვეფენილი ზედაპირის ალბედოს გათვალისწინებით არ ჩატარებულა და შესაბამისი ექსპერიმენტული ინფორმაცია დრუბლების ინტეგრალურ ალბედოზე, მათ შთანთქმელ, გამშება, ამრეკლავ და გამოსხივების უნარიანობაზე სპექტრის მოკლებალლიანი (0,3-3,0 მგტ) და გრძელტალლიანი (3,0-4,0 მგტ) არებისათვის არ არსებობს. ასეთი სახის ინფორმაცია საკვლევი რაიონისათვის დეტალურად

დაახასიათებდა ღრუბლიანობის გავლენას გურიის კლიმატის რადიაციულ ფაქტორებზე, ღრუბლიანობის ცალკეული სახეების განმეორადობის ალბათობის გათვალისწინებით. გურიის ტერიტორიაზე კლიმატის რადიაციულ მახასიათებლებზე მნიშვნელოვან გავლენას ახდენს მოწმენდილი ცის პირობებში ატმოსფეროს ფიზიკური თვისებები, რომლებიც დამოკიდებულია ბუნებრივი და ანთროპოგენური ხასიათის მთელ რიგ ფაქტორებზე. ატმოსფეროს ფიზიკური თვისებები რაოდენობრივად ფასდება გამჭვირვალობის კოეფიციენტით  $P_2$  და ლინკეს სიმკვრივის ფაქტორით  $T_2$ , გამოვყენეთ რა საქართველოს აქტინომეტრულ სადგურებზე მოწმენდილი ცის შემთხვევაში სხივისადმი მართობულ ზედაპირზე მზის პირდაპირი რადიაციის  $S$  ინტენსივობაზე დაკვირვებების ინფორმაცია  $I_s$ . სივრცის მეთოდით (Сивков С.И. Методы расчёта характеристики солнечной радиации, Л. Гидрометеоиздат, 1968) საქართველოს ტერიტორიისათვის გამოთვლილი იქნა  $P_2$  და  $T_2$ -ის საშუალოთვიური მნიშვნელობები. გურიის ტერიტორიისათვის ამ მახასიათებლების სიდიდეები დადგენილი იქნა ინტერპოლაციის გზით დამოკიდებულებების  $P_2=f(H)$  და  $T_2=f(H)$  გამოყენებით, რომლებიც  $H$  არის ადგილის აბსოლუტური სიმაღლე. გურიის დაბლობ ტერიტორიაზე წელიწადის სეზონების შუა თვეებისათვის  $P_2$ -ის საშუალოთვიური სიდიდეები შესაბამისად შეადგინეს: იანვარში 80%, მარტში 77%, ივლისში 66%, ოქტომბერში 76%.  $T_2$ -ის საშუალოთვიური მნიშვნელობები წელიწადის განმავლობაში მერყეობენ 2,2-3,5-ის ფარგლებში მაქსიმუმით ზაფხულის და მინიმუმით ზამთრის თვეებში. ადგილის აბსოლუტური სიმაღლის მატებისას  $P_2$ -ის მნიშვნელობები იზრდება,  $T_2$ -ისა კი კლებულობს.  $P_2$  და  $T_2$ -ის საშუალო-წლიური მნიშვნელობები შესაბამისად შეადგინენ გურიის დაბლობ რაიონში 0,725 და და 2,5-ს, მთან რაიონში კი (კურორტი ბახმარო განლაგებულია 1950-2027 მ სიმაღლეთა დიაპაზონში) 0,770 და 2,3-ს.

მოწმენდილი ცის შემთხვევაში მზის პირდაპირი რადიაციის  $S$  საერთო შესუსტება  $\Delta S$  ატმოსფეროში წარმოიდგინება შემდეგი სახით:  $\Delta S = \Delta S_m + \Delta S_n + \Delta S_A$ , სადაც  $\Delta S_m$  არის მზის პირდაპირი რადიაციის ინტენსივობის შემცირება იდეალურ ატმოსფეროში მოლუკულარული გაბნევით,  $\Delta S_n$ -წელის ორთქლის შთანთქმით,  $\Delta S_A$ -აეროზონდებზე გაბნევით და შთანთქმით.  $\Delta S$  გვიჩვენებს დედამიწის ზედაპირზე  $S$ -ის შემცირებას მზის მუდმივასთან შედარებით.  $\Delta S$  წარმოადგენს მზის სიმაღლის ფუნქციას, უკანასკნელის მატებისას  $\Delta S$ -ის სიდიდე მცირდება. მზის სიმაღლის მატებისას 10-70<sup>0</sup>-ის ფარგლებში  $\Delta S$ -ის მნიშვნელობები გურიის ზღვისპირა დაბლობ

რაიონებში მცირდება 0,87კვტ/მ<sup>2</sup>-დან 0,50 კვტ/მ<sup>2</sup>-მდე, მთიან რაიონში კი (კურორტი ბახმარო) 0,80 კვტ/მ<sup>2</sup>-დან 0,40 კვტ/მ<sup>2</sup>-მდე.

რადიაციული ბალანსის მოკლეტალდიანი მდგენელების (S, S', D, Q, R<sub>g</sub>) ქვეფენილი ზედაპირის ალბედოს A, მოკლეტალდიანი რადიაციული ბალანსის  $\Sigma_{B_{\text{მო}}}$ , ეფექტური გამოსხივების  $B_{\text{გრ}}$ . და სრული რადიაციული ბალანსის  $B$  საშუალოთვიური  $\Sigma_{\omega}$  და წლიური  $\Sigma_{\varphi}$  ჯამების სიდიდეები მოწმენდილი ცის და ღრუბლიანობის საშუალო პირობების შემთხვევებისათვის აქტინომეტრიულ საღგურ ანასეულში მოცემულია ცხრილ 1.1.3.-ში. როგორც ცხრილი 1.1.3.-დან ჩანს მოწმენდილი ცის შემთხვევაში  $\Sigma_{\omega D}$ -ს მაქ-სიმუმი აღინიშნება აგვისტოში ( $146,6 \text{მჯ}/\text{მ}^2$ ), მინიმალური – დეკემბერში ( $58,7 \text{მჯ}/\text{მ}^2$ ),  $\Sigma_{\omega S}$  მაქსიმუმი აღინიშნება მაისში ( $1093,6 \text{მჯ}/\text{მ}^2$ ), მინიმუმი დეკემბერში ( $703,9 \text{მჯ}/\text{მ}^2$ ), პოროზონტიალურ ზედაპირზე კი  $\Sigma_{\omega S'}$ -ის მაქსიმუმი აღინიშნება ივნისში ( $775,2 \text{მჯ}/\text{მ}^2$ ), მინიმუმი დეკემბერში ( $222,1 \text{მჯ}/\text{მ}^2$ ).  $\Sigma_{\omega Q}$  მაქსიმალურია მაისში და ივნისში ( $9930,2 \text{მჯ}/\text{მ}^2$ ). მინიმალურია დეკემბერში ( $284,9 \text{მჯ}/\text{მ}^2$ ). ამრიგად,  $\Sigma_{\omega S}, \Sigma_{\omega D}$  და  $\Sigma_{\omega Q}$ -ს წლიური სვლა ემთხვევა მზის სიმაღლის წლიურ სვლას.  $\Sigma_{\omega S'}$ -ის წლიურ სვლაზე კი გარდა მზის სიმაღლისა გავლენას ახდენს ატმოსფეროს ტენიანობის და აეროზოლების შემცველობის წლიური სვლა.

ღრუბლიანობის საშუალო პირობებშიც მოწმენდილი ცის ანალოგიურად  $\Sigma_{\omega S'}, \Sigma_{\omega D}, \Sigma_{\omega Q}, \Sigma_{\omega R_{\text{მო}}}, \Sigma_{\omega B_{\text{მო}}}, \Sigma_{\omega B}$ -ს სიდიდეები მაქ-სიმაღლურია ივნისში და მინიმალურია დეკემბერში. ქვეფენილი ზედაპირის ალბედო მაქსიმალურია ზამთრის თვეებში ( $0,25-0,33$ ), როდესაც გურიის ტერიტორიის დაბლობ ნაწილში აღვილი აქვს.

არამდგრადი თოვლის საფარის წარმოქმნას.  $\Sigma_{\omega B}$ -ს სიდიდე წელიწადის განმავლობაში დადებითია მაქსიმუმით ივნისში ( $348,6 \text{მჯ}/\text{მ}^2$ ) და მინიმუმით დეკემბერში ( $23,2 \text{მჯ}/\text{მ}^2$ ). ღრუბლიანობის გავლენის შედეგად მოწმენდილ ცასთან შედარებით რადიაციული ბალანსის მოკლეტალდიანი მდგენელების წლიური ჯამების ( $\Sigma_{\omega S}, \Sigma_{\omega S'}, \Sigma_{\omega Q}$ ) სიდიდეები შესაბამისად მცირდებიან  $7176,3; 3859,2; 3281,6 \text{მჯ}/\text{მ}^2$ -ით. გაბნეული რადიაციის წლიური ჯამი  $\Sigma_{\omega D}$  კი იზრდება  $577,6 \text{მჯ}/\text{მ}^2$ -ით, გურიის მთიანი რაიონისათვის, სადაც აქტიმომეტრიული დაკვირვებები არ სწარმოებს, რადიაციული ბალანსისა და მისი მდგენელების სიდიდეები შეფასებული იქნა სითბური ბალანსის მდგენელების კლიმატოლოგიური გამოთვლების მეთოდიკით (Будыко М.И., Берлянд Т.Г., Зубенок Л.И., 1951). ამ

მეთოდიკის თანახმად ღრუბლიანობის საშუალო პირობებისათვის ჯამური რადიაციის თვიური ჯამები  $\Sigma_{\omega} Q$  გამოითვლება სავინოვანებების ფორმულით:

ცხრილი 1.1.3. რადიაციული ბალანსისა და მისი მდგენელების თვიური  $\Sigma_{\omega}$  და წლიური  $\Sigma_{\varphi}$  ჯამები მოწმენდილი ცისა და ღრუბლიანობის საშუალო პირობებში სადგურ ანასეულში, მჯ/გ<sup>2</sup>.

თვე $\Sigma_{\omega}$	თვე						
	I	II	III	IV	V	VI	VII
მოწმენდილი ცა							
$\Sigma_{\omega} S$	750.0	762.6	997.2	1005.6	1127.1	1093.6	1072.6
$\Sigma_{\omega} S'$	264.0	326.8	540.5	636.9	775.2	775.2	754.2
$\Sigma_{\omega} D$	58.7	75.4	121.6	155.0	155.0	155.0	167.6
$\Sigma_{\omega} Q$	322.7	102.2	662.1	791.9	930.2	930.2	921.9
ღრუბლიანობის საშუალო პირობები							
$\Sigma_{\omega} S$	224.2	235.9	281.6	336.5	422.4	453.4	335.2
$\Sigma_{\omega} S'$	80.7	105.2	168.4	230.4	307.1	328.9	246.8
$\Sigma_{\omega} D$	79.2	106.0	155.4	198.2	235.9	246.4	259.4
$\Sigma_{\omega} Q$	159.9	211.2	323.8	428.6	543.0	575.3	505.2
$\Sigma_{\omega} R_{\beta}$	48.2	69.1	80.4	91.3	113.6	116.9	105.6
A	0.30	0.33	0.25	0.21	0.21	0.20	0.21
$\Sigma_{\omega} B_{\theta\omega_4}$	111.9	142.2	243.4	337.3	429.5	458.0	400.6
$\Sigma_{\omega} E_{093}$	-88.4	-90.9	-106.8	-107.3	-106.8	-109.4	-90.1
$\Sigma_{\omega} B$	23.5	51.3	136.6	230.0	322.7	348.6	310.5
თვე $\Sigma_{\omega}$	თ ვ ე					წელი	
	VIII	IX	X	XI	XII	$\Sigma$	
მოწმენდილი ცა							
$\Sigma_{\omega} S$	997.2	913.4	871.5	762.6	703.9	11057.3	
$\Sigma_{\omega} S'$	662.0	532.1	414.8	280.7	222.1	6184.35	
$\Sigma_{\omega} D$	146.6	108.9	88.0	67.0	62.8	1361.6	
$\Sigma_{\omega} Q$	808.6	641.0	502.8	347.7	284.9	7546.1	
ღრუბლიანობის საშუალო პირობები							
$\Sigma_{\omega} S$	357.8	371.7	373.7	275.3	213.3	3881.0	
$\Sigma_{\omega} S'$	250.6	230.5	194.0	110.6	72.1	2325.3	
$\Sigma_{\omega} D$	226.3	158.4	124.0	80.9	69.1	1939.2	
$\Sigma_{\omega} Q$	476.9	388.9	318.0	19.5	141.2	4264.5	
$\Sigma_{\omega} R_{\beta}$	101.8	83.8	68.3	43.2	36.5	958.7	
A	.021	0.22	0.21	0.23	0.26	0.24	
$\Sigma_{\omega} B_{\theta\omega_4}$	375.0	305.0	250.1	148.3	105.2	3306.5	
$\Sigma_{\omega} E_{093}$	-100.1	-99.7	-124.4	-103.9	-82.0	-1209.8	
$\Sigma_{\omega} B$	274.9	305.3	125.7	44.4	23.2	2096.7	

$$\Sigma_{\omega} Q_{\omega} = \Sigma_{\omega} Q_0 [1 - (1-k) \eta]$$

(1.1.1.)

ამ ფორმულაში  $\Sigma_{\omega} Q_0$  არის ჯამური რადიაციის თვიური ჯამი მოწმენდილი ცის პირობებში,  $k$ -დრუბლიანობის კოეფიციენტი, რომელიც წარმოადგენს მთლიანი ღრუბლიანობის პირობებში ჯამური რადიაციის შეფარდებას მოწმენდილი ცის შემთხვევაში არსებულ შესაძლო ჯამურ რადიაციასთან. იგი არის მზის სიმაღლის, ღრუბლიანობის, ქვეფენილი ზედაპირის ფიზიკური თვისებების და ადგილის აბსოლუტური სიმაღლის ფუნქცია, რის შედეგად მას უნდა გააჩნდეს გარკვეული თვიური და წლიური სვლა, მთიანი რაიონისათვის ფორმულა (1.1.1).  $\Sigma_{\omega} Q_{\omega}$ -ს სიდიდეების გამოსათვლელად შეიძლება გამოყენებული იქნეს იმ შემთხვევაში, თუ წინასწარ ცნობილია მოწმენდილი ცის შემთხვევაში ჯამური რადიაციის თვიური ჯამები  $\Sigma_{\omega} Q_0$  და ღრუბლიანობის კოეფიციენტის –  $k$  ადგილის აბსოლუტურ სიმაღლეზე დამოკიდებულებების თავისებურებები. ჩვენს მიერ კოლხეთის დაბლობისათვის, სენაკის და ანასეულის აქტიონმეტრიულ სადგურებზე მოწმენდილი ცისა და მოღრუბლულობის საშუალო პირობებში ჯამურ რადიაციაზე და ღრუბლიანობაზე ჩატარებული დაკვირვებების ინფორმაციის გამოყენებით, ფორმულით:

$$k = 1 - \left( -\frac{\sum_{\omega} Q_{\omega}}{\sum_{\omega} Q_0} \right) \cdot n \quad (1.1.2.)$$

გამოთვლილი იქნა ღრუბლიანობის კოეფიციენტის  $k$  საშუალო-თვიური სიდიდეები. აღმოჩნდა, რომ  $k$ -ს გააჩნია გარკვეული წლიური სვლა მაქსიმუმით წელიწადის თბილი და მინიმუმით ცივი პერიოდისათვის (ცხრილი 1.1.4.).

აღსანიშნავია, რომ კოლხეთის დაბლობის შესაბამისი განედისათვის  $k$ -ს მნიშვნელობა მ. ბუდიკოს (Будыко М.И., Берлянд Т.Г., Зубенок Л.И., 1951) თანახმად წელიწადის განმავლობაში მუდმივია და შეადგენს 0,34-ს. საქართველოს და კერძოდ გურიის ტერიტორიისათვის მთიანი რაიონების ჩათვლით ამ მეთოდიკით გამოთვლილი  $\Sigma_{\omega} Q_{\omega}$ -ს სიდიდეებში გათვალისწინებული იქნა  $K$ -ს წლიური სვლა და მაღლივი ცვლილებები. ადგილის აბსოლუტური სიმაღლის ცვლისას  $K$ -ს სიდიდე მატულობს შრომაში (Берлянд Т.Г., 1960) შედარებით გრძელპერიოდიანი დაკვირვებების მონაცემების გამოყენებით  $\Sigma_{\omega} Q_{\omega}$ -ს სიდიდეების გამოსათვლელად მიღებულ იქნა შემდეგი სახის გამოსახულება:

ცსრილი 1.1.4.  $\Sigma_a Q_0$  ( $\text{მჯ}/\text{მ}^2$ ) Q და k-ს მნიშველობები გურიის დაბლობი რაიონებისათვის  $k_1$  ჩვენი გამოთვლებით,  $k_2$ -რუსეთის მთავარი ობსერვაციონის მონაცემებით,  $k_3$  ბერლინანდის ფორმულით

ო ვ ქ	$\Sigma aQ_{0,k}$			
	$\Sigma aQ_0$	$K_1$	$K_2$	$K_3$
I	322.7	0.34		0.40
II	402.2	0.34		0.39
III	662.1	0.36		0.34
IV	791.9	0.42	0.34	0.33
V	930.2	0.48		0.27
VI	930.2	0.48		0.30
VII	921.8	0.47		0.31
VIII	808.6	0.46		0.31
IX	641.0	0.47		0.34
X	502.8	0.48		0.42
XI	347.7	0.37		0.52
XII	284.9	0.35		0.43
შელი	7546.1	0.41	0.34	0.3

$$\Sigma_a Q_0 = \Sigma_a Q_0 [l - (a + bn)n] \quad (1.1.3.)$$

რომელმიც ა და b უგანზომილებო კოეფიციენტებია. პოეფი-ციენტი ა წარმოადგენს ადგილის განედის ფუნქციას, მას ფიქსირებული განედისათვის წელიწადის თვეების მიუხედავად გააჩნია ერთი განსაზღვრული მნიშვნელობა. b=0,38. თუ რომელიმე პუნქტისათვის არსებობს დაკვირვების მონაცემები Q<sub>ლ</sub>, Q<sub>0</sub> და n-ზე, მაშინ (1.1.3)-დან მიღებული შემდგენ გამოსახულებიდან:

$$a = (1 - \frac{\sum_a Q_0}{\sum_a Q_0}) : n - 0,38n \quad (1.1.4.)$$

შესაძლებელია გამოითვალოს კოეფიციენტ ა-ს საშუალოთვიური მნიშვნელობები. გამოთვლებმა გვიჩვენა, რომ ა არ არის მუდმივი სიდიდე ფიქსირებული განედისათვის, როგორც ნაჩვენებია (Берлянд Т.Г., 1960)-ში და მას გააჩნია გარკვეული წლიური სვლა. კოლხეთის დაბლობისათვის ა-ს მნიშვნელობები წელიწადში იცვლება 0,27-0,52-ის ფარგლებში მაქსიმუმით წლის ციკ და მინიმუმით თბილ პერიოდში (ცხრილი 1.1.4). გურიის დაბლობ რაიონში განლაგებული პუნქტებისათვის K<sub>1</sub>-ის სიდიდეების გამოყენებით (ცხრ.1.1.4.) შესაბამისი ფორმულით (1.1.) გამოთვლილი იქნა  $\Sigma_a Q_0$ -ს სიდიდეები

(ცხრილი 1.1.5.). გარდა ამისა, კურორტ ბახმაროსთვის  $\Sigma_{\text{თ}}Q_{\text{ღ}}$ -ს სიდიდეები გამოთვლილი იქნა აგრეთვე ა. კოტარიას ფორმულით:

$$\Sigma_{\text{თ}}Q_{\text{ღ}} = \Sigma_{\text{თ}}Q_0[1 - (1 - 0,33 - 0,35H)n(1 - 0,1H)], \quad (1.1.5.)$$

სადაც ადგილის სიმაღლე ზღვის დონიდან  $H$  მოცემულია კმ-ში.

ცხრილი 1.1.5.  $\Sigma_{\text{თ}}Q_{\text{ღ}}$  და  $\Sigma_{\text{წ}}Q_{\text{ღ}}$ -ს სიდიდეები,  $\text{მ}^3/\text{მ}^2$

თვე	პუნქტი				
	ურები	ლანჩხუთი	ჩოხატავი	ბახმარო	ბახმარო (1.1.5.)
I	174,5	171,0	167,9	226,3	226,3
II	205,1	209,1	201,1	284,9	310,1
III	330,5	350,9	337,7	477,7	448,3
IV	459,3	483,1	451,4	541,8	582,2
V	595,3	576,7	586,0	766,8	687,2
VI	613,9	641,8	604,1	760,6	720,7
VII	568,3	608,4	553,1	695,3	695,5
VIII	509,4	541,8	509,4	590,2	641,1
IX	423,1	442,3	423,1	490,3	519,6
X	346,9	352,0	346,3	422,2	398,0
XI	191,2	194,7	190,0	255,6	268,2
XII	122,5	165,2	188,9	238,8	213,7
წლი	4533,8	4737,0	4560,2	5749,3	5711,0

ბახმაროსათვის ჩვენს მიერ გამოთვლილი და ფორმულით (1.1.5.) განსაზღვრული  $\Sigma_{\text{თ}}Q_{\text{ღ}}$  და  $\Sigma_{\text{წ}}Q_{\text{ღ}}$ -ს სიდიდეები ახლოა ერთმანეთთან, როგორც ცხრილი (1.1.5)-დან ჩანს ადგილის აბსოლუტური სიმაღლის მატებისას  $\Sigma_{\text{თ}}Q_{\text{ღ}}$  და  $\Sigma_{\text{წ}}Q_{\text{ღ}}$ -ს სიდიდეები იზრდება: კურორტ ბახმაროზე ( $H=1926\text{მ}$ )  $\Sigma_{\text{თ}}Q_{\text{ღ}}$ -ს სიდიდე ჩოხატავის წლიურ ჯამთან შედარებით მეტია  $1189,1 \text{ მ}^3/\text{მ}^2$ -ით (ჩვენი გამოთვლებით) და  $1150,8 \text{ მ}^3/\text{მ}^2$ -ით (კოტარიას ფორმულით). ასევე ჯამური რადიაციის თვიური ჯამების  $\Sigma_{\text{თ}}Q_{\text{ღ}}$  სიდიდე კურორტ ბახმაროზე მეტია დაბლობ რაიონში განლაგებულ პუნქტებზე არსებულ სიდიდეზე. გურიის ტერიტორიისათვის რადიაციული ბალანსის წლიური ჯამები  $\Sigma_{\text{წ}}B_{\text{ღ}}$  გამოთვლილი იქნა კაგებასის მთიანი რაიონებისათვის ღრუბლიანობის საშუალო პირობებში რადიაციული ბალანსის წლიური ჯამების ჯამური რადაციის წლიურ ჯამებთან  $\Sigma_{\text{წ}}Q_{\text{ღ}}$  შეფა-

რდების ადგილის აბსოლუტურ სიმაღლეზე (H, კმ) დამოკიდებულების ჩვენს მიერ დადგენილი ანალიზური სახის გამოყენებით:

$$\frac{\sum_{\text{ფ}} B_{\text{ლ}}}{\sum_{\text{ფ}} Q_{\text{ლ}}} = 0.48 - 0.023H^2, \quad (1.1.6.)$$

საიდანაც

$$\sum_{\text{ფ}} B_{\text{ლ}} = \sum_{\text{ფ}} Q_{\text{ლ}} (0.48 - 0.023H^2) \quad (1.1.7.)$$

კურორტ ბახმაროსთვის (1.1.5.) დამოკიდებულებებით გამოთვლილი  $\sum_{\text{ფ}} B_{\text{ლ}}$ -ს სიდიდე შეადგენს 2202,0 მჯ/მ<sup>2</sup>, კ.ი.  $\sum_{\text{ფ}} Q_{\text{ლ}}$ -ს სიდიდის 38%, ჩვენი გამოთვლების თანახმად, კავკასიის დაბლობი რაორნებისათვის ამ შეფარდების სიდიდე მერყეობს 42-50%-ის ფარგლებში, გურიის შავიზღვისპირა რაორნისათვის კი იგი შეადგენს დაახლოებით 47-48%-ს.

## 1.2. ატმოსფერული ჰაერის წნევა

ატმოსფერული ჰაერის წნევა წარმოადგენს ადგილის აბსოლუტური სიმაღლის ფუნქციას. სიმაღლის ზრდის სინქრონულად ატმოსფეროს სისქის და მისი სიმკვრივის კლების შედეგად წნევა მცირდება, ვინაიდან დედამიწის ზედაპირის ფართობის ერთეულზე (1მ<sup>2</sup>) ატმოსფერული ჰაერის წნევა უდრის მასზე განლაგებული ჰაერის სვეტის წონას. დედამიწის ზედაპირიდან 5კმ სიმაღლეზე ჰაერის წნევა შეადგენს ზღვის ღონეზე არსებული წნევის (1013,25 პპა) თითქმის ნახევარს. გარდა, ამისა ატმოსფერული ჰაერის წნევა განიცდის პერიოდულ და არაპერიოდულ ცვლილებებს. პერიოდული რყევები განპირობებულია წნევის დღე-დამური სვლით, არაპერიოდული კი-მაკროცირკულაციური პროცესებით: ატმოსფერული წნევის აწეველი და დაწეველი წრმონაჯმების (ციკლონები და ანტიციკლონები) ქაოტური მონაცემებით. ისეთ მთაგორიან ქვეყანაში, როგორიცაა საქართველო, ატმოსფერული ჰაერის წნევა დამოკიდებულია ასევე მთიანი რელიეფის ელემენტების ორიენტაციაზე და დახრილობის კუთხეზე, რომლებიც განაპირობებენ ქვევენილი ზედაპირის რადიაციული და სითბური ბალანსის, აგრეთვე ჰაერის ტემპერატურის და წნევის განსხვავებულ სიდიდეებს მიუხედავად მათი აბსოლუტური სიმაღლეების იდენტურობისა.

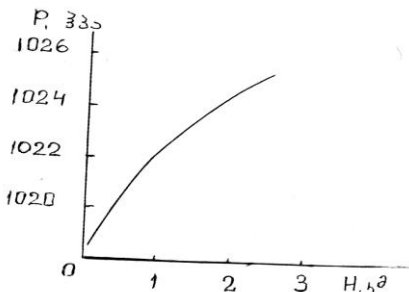
მთაგორიანი რელიეფის შემთხვევაში ზღვის დონეზე მიყვანილი წნევით შეიძლება გაანალიზდეს მისი კავშირი სხვა კლიმატურ მახასიათებლებთან. წნევა ზღვის დონეზე დაიყვანება (ბარომეტრული ნიველირება) ბარომეტრული ფორმულით, რომლის გამარტივებულ სახეს წარმოადგენს ბაბინგს ფორმულა:

$$\Delta Z = 16000(1+0,004t) \frac{P_0 - P_1}{P_0 + P_1}, \quad (1.2.1)$$

რომელზიც  $t$  არის პაერის ფენის საშუალო ტემპერატურა  $Z_1$  და  $Z_0$  სიმაღლეებს შორის,  $P_0$  და  $P_1$ -პაერის წნევა ზღვის დონეზე და სადგურის სიმაღლეზე (პაერის ფენის ქვედა და ზედა საზღვრებზე).  $\Delta Z$ -სადგურის სიმაღლე ზღვის დონიდან (ორ დონეს შორის სიმაღლეთა სხვაობა) გურიის ტერიტორიაზე ზღვის დონეზე მიყვანილი ატმოსფერული პაერის წნევის საშუალო ტემპერატური სიდიდე სადგურების ლანჩხუთისა (H=10მ) და ბახმაროს (H=1926მ) მონაცემებით მერყეობს 1016,6-1017,9 კპა-ს საზღვრებში. საშუალო ტემპერატური სიდიდეები კი იანვარში და ივლისში ამავე სადგურებზე შესაბამისად მერყეობენ: 1020,5-1022,3 და 1011,3-1011,5 კპა საზღვრებში [კლიმატური ცნობარი ნაწ. I 2004]. წნევის ტლიური ამპლიტუდა მერყეობს შავი ზღვის სანაპირო რაიონში 9,2 კპა-ის, მესხეთის ქედის მაღალმთიან რაიონში-10,8 კპა-ის საზღვრებში. აჭარის მეზობელი ტერიტორიისათვის ეს სიდიდეები შესაბამისად შეადგენენ 8 და 15 კპა-ს. ატმოსფერული პაერის წნევა ხასიათდება ტერიტორიული განაწილების გარკვეული თავისებურებებით. მაგალითად, იანვარში ზღვის დონეზე მიყვანილი წნევა ადგილის აბსოლუტური სიმაღლის ზრდისას 0-2,2 კმ სიმაღლეთა დიაპაზონში გურია-აჭარის ტერიტორიაზე იცვლება 1019-1025 კპა-ის საზღვრებში. დამოკიდებულება  $P_{\text{მი}}=f(H)$ , ხადაც  $H$  მოცემულია კმ-ში, ანალიზურად წარმოიდგინება მეორე რიგის პარაპოლის სახით (ნახ. 1.2.1):

$$P_{\text{მი}}=1017,72+6,286H-1,506 H^2 \quad (1.2.1)$$

როგორც გამოთვლები გვიჩვენებენ ნახ.1.2.1.-დან აღებულ და გამოსახულებით (1.2.1) გამოთვლილ  $P_{\text{მი}}$  მნიშვნელობებს შორის თანხვდენა დამატავოთილებელია, როდესაც  $H=0$   $P_{\text{მი}}=1018$  კპა,  $H=1$   $P_{\text{მი}}=1023$  კპა-ს,  $H=2$   $P_{\text{მი}}=1024,3$  კპა-ს.



ნახ. 1.2.1. ზღვის დონეზე მიყვანილი ატმოსფერული პაერის წნევის საშუალო ტემპერატური სიდიდის ცვლილება სიმაღლის მიხედვით.

ივლისში ზღვის დონეზე დაყვანილი წნევა ადგილის აბსოლუტური სიმაღლის მატებისას იანვრისაგან განსხვავებით უმნიშვნელოდ მცირდება: 1011 პპა-დან 1010 პპა-მდე აჭარაში და 1011,3-1011,5 პპა-ს საზღვრებში გურიაში (აღინიშნება უმნიშვნელო მატება).

იანვარში და ივლისში ზღვის დონეზე დაყვანილი პაერის წნევის მაღლივი ცელილებების თავისებურებები განპირობებულია მაკროცირკულაციური პროცესებით: ზამთრის პერიოდში საკვლევი ტერიტორია იმყოფება ციმბირის ანტიციკლონის და ადგილობრივი ანტიციკლონების გავლენის ქვეშ, რომელიც აღინიშნება ცივი ჰაერის მასების შემოჭრისას დასავლეთიდან და აღმოსავლეთიდან. როცელი ოროგრაფიული პირობების გავლენის შედეგად ამ მასების შემოჭრის სიჩქარე მცირდება და რიგ შემთხვევაში ხდება ნულის ტოლი, რის შედეგად ზღვის დონეზე დაყვანილი წნევა იანვარში ადგილის სიმაღლის მატების სინქრონულად იზრდება. ზაფხულში იზრდება აზორის მაქსიმუმის და მისი აღმოსავლეთი განშტოების გავლენა რის შედეგად აწეული წნევა დაიკვირვება სანაპირო რაიონებში, შედარებით დაბალი წნევა კი-მაღალმთიან რაიონში (ბახმარო, გოდერძის უდელტეხილი).

როგორც აღინიშნა პაერის წნევა სადგურის სიმაღლეზე დამოკიდებულია სადგურის სიმაღლეზე ზღვის დონიდან. ზღვის დონიდან სიმაღლის მატებისას აგმოსფერული პაერის წნევა, როგორც წესი, ეცემა (ნახ.12.2.) მთიან რაიონებში, როგორც აღინიშნა, როცელი ოროგრაფიის გავლენით (ფერდობების ექსპოზიცია, დახრილობა) ერთიდამავე აბსოლუტურ სიმაღლეზე პაერის წნევის სიდიდე შეიძლება შეიცვალოს, მაგრამ წნევის მაღლივი ცვლილების ტენდენცია (კლება სიმაღლის მატებასთან ერთად) რჩება უცვლელი. პაერის საშუალოწლიური წნევა სადგურის სიმაღლეზე გურიის ტერიტორიაზე იცვლება 798-1016 პპა-ს საზღვრებში. მაქსიმუმით ზღვისპირა დაბლობ რაიონში და მინიმუმით მაღალ მთაში. დამოკიდებულება  $P=f(H)$ , სადაც  $P$  არის პაერის წნევა სადგურის სიმაღლეზე (პპა),  $H$  კი სადგურის მინიმუმი აღინიშნება ივლისში, მაქსიმუმით ზღვისპირა დაბლობ რაიონში და მინიმუმით მაღალ მთაში. დამოკიდებულება  $P=f(H)$ , სადაც  $P$  არის პაერის წნევა სადგურის სიმაღლეზე (პპა),  $H$  კი სადგურის მინიმუმი აღინიშნება ივლისში, მაქსიმუმი-ნოემბერში.

საშუალოთვიური წნევის გრადიენტი იცვლისში 0-2,5 კმ სიმაღლეთა დიაპაზონში შეადგენს 115 პპა/1კმ სიმაღლეზე, ნოემბერში კი-120 პპა/1კმ სიმაღლეზე. სადგურის სიმაღლეზე პაერის წნევის

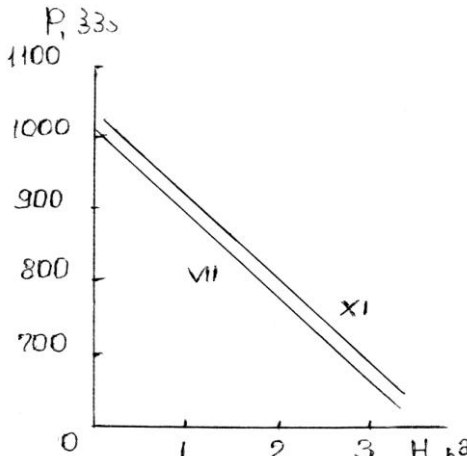
$$\text{ივლისი} \quad P_{VII}=1007,5-115H \quad (1.2.2.)$$

$$\text{ნოემბერი} \quad P_{XI}=1035,0-120H \quad (1.2.3.)$$

აჭარა-გურიის რაიონში წნევის საშუალოთვიური მნიშვნელობების წლიურ სვლაში მინიმუმი აღინიშნება ივლისში, მაქსიმუმი-ნოემბერში.

საშუალოთვიური წნევის გრადიენტი იცვლისში 0-2,5 კმ სიმაღლეთა დიაპაზონში შეადგენს 115 პპა/1კმ სიმაღლეზე, ნოემბერში კი-120 პპა/1კმ სიმაღლეზე. სადგურის სიმაღლეზე პაერის წნევის

ვერტიკალური გრადიენტი მუდმივია და თითოეული თვისათვის აქვს კონკრეტული მნიშვნელობა.



ნახ. 1.2.2. ატმოსფეროს წნევის ცვლილება სიმაღლის მიხედვით

1.3. ატმოსფეროს ცირკულაციური პროცესები  
გურიის რეგიონი მდებარეობს კოლხეთის დაბლობის ცენტ-  
რში, მის უკიდურეს დასავლეთ ნაწილში.

რეგიონის სიმცირის მიუხედავად აქ აღინიშნება კლიმატური ზონების მრავალფეროვნება ზღვისპირეთის ნოტიო-სუბტროპიკული ჰავიდან კონტინენტურამდე (უკიდურეს სამხრეთში). მთავარი კავკა-  
სიონის ქედი გურიას იცავს ჰაერის ციფრ მასების შემოჭრისაგან ჩრდილოეთიდან. შავი ზღვის სიახლოვე ამცირებს ტემპერატურის კონტრასტულობას და ზრდის ჰაერის ტენშემცველობას. ზოგადად დასავლეთი საქართველოს რეგიონი (ცხადია გურიაც) აღიარებულია საქართველოში როგორც ყველაზე უფრო თბილი და ნოტიო.

ქართველი და უცხოელი მკვლევარების აზრით საქართ-  
ველოში არსებული სინოპტიკური პროცესების მრავალფეროვნება პირობითად შეიძლება რამდენიმე ძირითად ჯგუფში გაერთიანდეს, ესენია: ზონალური ზემოქმედება დასავლეთის (W) და აღმოსავ-  
ლეთის მდგენელით, მერიდიანული ზემოქმედება (S) სამხრეთის მდგენელით და ანტიციკლონური მდგომარეობა. ამის შესახებ მო-  
კლედ აქარის და აფხაზეთის (საქართველოს პავა, აჭარა. 2003, სა-  
ქართველოს პავა, აფხაზეთი. 2005.) რეგიონების კლიმატურმომ-  
ქმნელი პროცესების ანალიზის დროს, უფრო დეტალურად ეს სა-  
კითხები განხილულია მონოგრაფიებში (გოგიშვილი, 1971; სამუ-

კაშვილი, 1991; მ. კორძახია, 1961; მ. ელიზბარაშვილი, 1999) მთლიანად საქართველოს თუ მისი კონკრეტული რაიონების მიხედვით.

ჩვენი მოკლე მიმოხილვა ძირითადად ვრცელდება რეგიონის დაბლობ ნაწილზე (500-1000 მ-მდე) სადაც ცხოვრობს მოსახლეობის უმეტესობა და სასოფლო-სამეურნეო პროდუქციის დიდი ნაწილი იწარმოება.

გურიაში (საერთოდ დასავლეთ საქართველოში) ყველაზე უფრო ხშირია ზონალური პროცესები, როდესაც პაერის ძირითადი მასების გადატანა ხდება დასავლეთიდან აღმოსავლეთისაკენ. ამ დროს საგრძნობლად გააქტიურებულია აზორის ანტიციკლონი, რომლის ცნობრი უმეტეს შემთხვევაში მდგებარეობს სკანდინავიის ნახევარგუნდულზე. პაერის მასები შავი ზღვის გავლენით განიცდის ტენიო გაჯერებას, უხვი ნალექები და ძლიერი ქარი შედარებით იშვიათია, გაზაფხულზე და შემოდგომაზე აღინიშნება აღვეჭიური წაყინვები და ა.შ. როდესაც ძლიერდება ციმბირის ანტიციკლონი და მისი დარი მიმართულია ამიერკავკასიისაკენ, საკვლევ რეგიონში ძლიერდება ფიონური ქარები, იზრდება ტემპერატურა, მცირდება პაერის ტენშემცველობა, იზრდება ზღვაზე ტალღების სიმაღლე და ა.შ.

ხშირია შემთხვევები როცა აღნიშნულ ტერიტორიაზე ადგილი აქვს ცივი პაერის მასების შემოჭრას ჩრდილო-დასავლეთიდან, ან დასავლეთიდან ერთდროულად. პირველ შემთხვევაში დასავლეთ საქართველოში არქტიკული ცივი პაერის მასები შეიძლება შემოჭრას ღრმა ციკლონის ზურგში, როცა ციკლონი სტაციონალურია და მისი ცნობრი განთავსებულია კოროპის კონტინენტზე. ამ დროს მთელ ტერიტორიაზე ადგილი აქვს ტემპერატურის მკვეთრ დაცემას, ქარის სიჩქარის შემცირებას, ხილვადობის ზრდას, მოსალოდნელია წაყინვები და ა. შ.

იმ შემთხვევაში, როდესაც შემოდგომა-ზამთარში ადგილი აქვს პაერის ცივი მასების შემოჭრას ორივე მხრიდან, საქართველოს მთელ ტერიტორიაზე უნდა ველოდოთ ტემპერატურის დაწვას. ეს პროცესი საქმიანო ხანგრძლივია და ამ დროს ხშირია წაყინვები.

ანტიციკლონის შემთხვევაში ტერიტორია მაღალი წნევის ველის ქვეშ არის. იმის მიუხედავად, ანტიციკლონი გადაადგილდება მეზობელი ტერიტორიიდან თუ ადგილობრივად არის ჩამოყალიბებული, იგი სასიათდება შედარებით სტაციონალურობით. სეზონის მიუხედავად ამ პროცესებისათვის დამასასიათებელია შედარებით მაღალი ტემპერატურა, იზრდება აღმავალი დენგების სიჩქარე. ქარი სუსტია, ცა უმეტესად მოწმენდილი და ა.შ. ზღვის ღელვა არ აღინიშნება, საუკეთესო პირობებია დასახვენებლად.

მერიდიონალური პროცესების მაგალითია სამხრეთიდან ტალური აღრევა ან ციკლონების სერიის გადაადგილება. ამ დროს მაღლივ რეგუზე გრენდანდიის ადმოსავლეთით აღინიშნება ციკლონური წარმონაქმნის ცენტრი, ხოლო აფრიკის კონტინენტის ჩრდილო-დასავლეთით დარია და თხემი მიმართულია ინგლისისაკენ. ციკლონების სერია გადაადგილდება მაღლივი თხემის დასავლეთი პერიფერიის გასწვრივ. თხემის დერძი მიმართულია სამხრეთიდან ჩრდილოეთისაკენ კასპიის ზღვის გასწვრივ. ეს პროცესები ძირითადად ვითარდება წლის ციკ პერიოდში. ამ დროს აღინიშნება ტემპერატურის და სინოტივის მომეტებული ფონი, ღრუბლიანობის საერთო რაოდენობის ზრდა, ხანგრძლივი (თუმცა არა ინტენსიური) ნალექები და ა.შ.

მოკლედ განვიხილავთ ამინდის ძირითად თავისებურებებს გურიის რეგიონში სეზონების მიხედვით.

**გაზაფხულზე** შედარებით იზრდება ხმელთაშუა ზღვის ციკლონების აქტივობა და მცირდება ციმბირის ანტიციკლონის გავლენა. თვიდან თვემდე ტემპერატურა 3-4<sup>0</sup>-ით იზრდება რაც ხელს უწყობს მცენარეული საფარის გააქტიურებულ ზრდას. შავი ზღვის გავლენა შედარებით მცირდება, მის ზედაპირზე გადაადგილდებისას ჰაერის მასები შედარებით კარგავს სინოტივეს. ნალექების რაოდენობა მცირდება, სანაპირო ზოლში იზრდება ნისლის წარმოქმნის ალბათობა, ძლიერდება დასავლეთის ქარი, შეიძლება ადგილი ჰქონდეს წაყინვის და ელჭექის მოვლენას. იმ შემთხვევაში, თუ ძლიერდება ციმბირის ანტიციკლონის გავლენა ადგილი აქვს შედარებით წენარი, უღრუბლო, მზიანი ამინდის ჩამყოლიბებას. ასეთ დროს სახიფათოა რადიაციული ტიპის წაყინვები, რომელიც შეიძლება განვითარდეს დაბალი ტემპერატურის, მოწმენდილი ცის და სუსტი ქარის შემთხვევაში.

**ზაფხულში** ხდება მერიდიანული პროცესების გააქტიურება. მაღლივი ფრონტის ზონა მიმართულია სამხრეთ-დასავლეთიდან ჩრდილო-დასავლეთისაკენ. ჰაერის ტემპერატურა იზრდება. ასევე იზრდება კონტრასტი დღისა და ღამის ტემპერატურებს შორის. გაზაფხულთან შედარებით მატულობს მოსული ნალექების სიხშირე და ინგენსივობა. ხშირია ბრიზები, მცირდება ძლიერი ქარების ალბათობა. მაღლივი ფარდობითი სინოტივე და ნიადაგის მცირე დახრილობა ხელს უწყობს ნიადაგის დაჭაობებას. ეს ყველაფერი ეხება გურიის დაბლობ ნაწილს. ბახმაროს მეტეოროლოგიური სადგურის მონაცემებით აქ წელიწადში შეიდი თვის განმავლობაში საშუალო თვიური ტემპერატურა უარყოფითია. დაბლობ რაიონებთან შედარებით იზრდება ნისლის, ელჭექის, წაყინვების ალბათობა, მცირდება ჰაერის ტემპერატურა, სინოტივე და მოსული ნალექების რაოდენობა.

შემოდგომაზე იგრძნობა თბილი შავი ზღვის გავლენა. და-სავლეთიდან ციკლონების გადანაცვლების დროს პაერი შედარებით თბება და ნოტიო ხდება. იზრდება ზღვაზე ტალღების სიმაღლე. მოწმენდილი და მოღრუბლეული დღეები ხშირად ენაცვლება ერთ-მანეთს. იზრდება წყიმიანი დღეების ალბათობა და ნალექების ინ-ტენსივობა. აღინიშნება პირველი წაყინვები, უმეტეს შემთხვევაში აღვექციური ტიპისა. იმ შემთხვევაში თუ ძლიერდება ციმბირის ანტიციკლონი და მისი ლარი მიმართულია სამხრეთ-დასავლეთის ან დასავლეთისაკენ მაშინ რეგიონში იზრდება ფიონების ალბა-თობა მათვის დამახასიათებელი პაერის ტემპერატურის ზრდით, ფარდობითი სინოტივის მკვეთრი შემცირებით და აღმოსავლეთის ქარების გაძლიერებით. საკვლევი რეგიონის სამხრეთ, მთიან ნაწ-ილში, შემოდგომაზე აღინიშნება პაერის ტემპერატურის მკვეთრი დაცემა, ნალექების, სინოტივის შემცირება. იზრდება წაყინვების და მდგრადი თოვლის საფარის ალბათობა, მოსალოდნელია გასას-ვლელებისა და გზების ჩაკეტვა დიდი ხნით.

ზამთარში გურიის რეგიონში ამინდს ძირითადად განაპი-რობებს პოლარული ანტიციკლონის გააქტიურება. პაერის ცივი მა-სები გარს უვლის მთავარ კავების და აღნიშნულ ტერიტორიაზე ხვდება დასავლეთიდან. შედარებით თბილი შავი ზღვის გავლენით პაერის ქს მასა თბება და სინოტივით ჯერდება. ამ დროს რეგიონში მოსალოდნელია მთაბარის ქარების გაძლიერება, ნალექების მო-მატება, სველი თოვლი და იშვიათად ელ-ჭექის მოვლენები. ზღვაზე იმატებს დელვა. უფრო იშვიათად ადგილი აქვს პაერის მასების გადადგილებას სამხრეთიდან ან სამხრეთ-დასავლეთიდან, იმ შე-მთხვევაში თუ ძლიერდება ანტიციკლონური ველი, მაშინ რეგიონში შედარებით წყნარი, უდრუბლო ამინდი შენარჩუნდება რამდენიმე დღის განმავლობაში. ფიონური მოვლენების დროს ძლიერდება აღ-მოსავლეთის ქარი, იზრდება ტემპერატურა და მცირდება სინოტივე, თუმცა ფიონების ალბათობა საკმაოდ მცირება.

აღნიშნული რეგიონისათვის ძირითადი მეტეოროლოგიური ელემენტების საშუალო და უკიდურესი მნიშვნელობები, ამინდის საშიში მოვლენები და კლიმატური რესურსები უფრო დეტალურად განხილულია ამ კრებულის მომდევნო თავებში.

## თავი II. კლიმატის ძირითადი ელემენტების ჰარიტორიული განაწილების პანორომის მართვა

### 2.1. პაერის ტემპერატურა

გურიის ტერიტორიაზე პაერის ტემპერატურის ტერიტორიული განაწილების ძირითადი კანონზომიერებანი წარმოდგენილია ნახ. 2.1.1-2.1.3. მოცემულ რუკებზე. რუკებიდან ჩანს, რომ ტემპერატურა მთლიანად წლის განმავლობაში საკმაოდ მაღალია. ისევე, როგორც აჭარასა და აფხაზეთში, აქაც ზღვის სანაპირო ზოლში იანვრის საშუალო ტემპერატურა  $6^{\circ}\text{C}$ -ს აღემატება. ზღვიდან დაშორებასა და ადგილის სიმაღლის ზრდასთასთან ერთად ტემპერატურა კანონზომიერად კლებულობს და ორიალეთის ქედის ჩრდილოეთ ფერდობზე უარყოფითი ხდება, ხოლო ბახმაროში- $5^{\circ}\text{C}$ -მდე კლებულობს.



ნახ.2.1.1. პაერის ტემპერატურა. იანვარი.  $0^{\circ}\text{C}$ .



ნახ.2.1.2. პაერის ტემპერატურა. ივლისი.  $0^{\circ}\text{C}$ .



ნახ.2.1.3. პაერის ტემპერატურა. წელი. 0C.

ზაფხულის განმავლობაში გურიის სანაპირო ზოლი საკმაოდ კარგად თბება. ივლისის საშუალო თვიური ტემპერატურა  $22^0$ -ს აღემატება. ზღვიდან დაშორებისას ტემპერატურა კლებულობს და თრიალეთის ქედის მწვერვალებზე  $14^0$ -ს შეადგენს.

აგრეთვე მაღალია პაერის საშუალო წლიური ტემპერატურაც-ზღვის სანაპირო ზოლში და დაბლობ რაიონებში, ისევე როგორც აჭარასა და აფხაზეთში პაერის საშუალო წლიური ტემპერატურა აღემატება  $14^0$ -ს. აღმოსავლეთის მიმართ ულებით ტემპერატურა კანონზომიერად კლებულობს და ბახმაროს მიდამოებსა და თრიალეთის ქედზე  $4^0$ -ზე დაბლა ეცემა.

პაერის ტემპერატურის აბსოლუტური მაქსიმუმების საშუალოები სანაპირო ზოლში და მთისწინეთში შეადგენს  $34-36^0$ -ს, ხოლო თრიალეთის ქედის მწვერვალზე ეცემა  $29-30^0$ -მდე. პაერის ტემპერატურის აბსოლუტური მინიმუმების საშუალოები სანაპირო ზოლში შეადგენს მინუს  $4^0$ -მინუს  $6^0$ -ს, ხოლო კლებულობს მინუს  $10^0$ -მინუს  $12^0$ -მდე.

პაერის ტემპერატურის აბსოლუტური მაქსიმუმი სანაპირო ზოლში შეადგენს  $39^0$ -ს, ხოლო აბსოლუტური მინიმუმი მინუს  $8^0$ -ს.

პაერის ტემპერატურის წლიური სვლის ძირითადი კანონზომიერებები რეგიონში კარგად ჩანს ცხრილ 2.1.1.-დან.

მიუხედავად ზღვის სიახლოებისა, ადგილის სიმაღლის გავლენა იმდენად მნიშვნელოვანია, რომ ბახმაროში წელიწადში 4 თვის განმავლობაში პაერის საშუალო თვიური ტემპერატურა უარყოფითია.

### ცხრილი 2.1.1. პაერის ტემპერატურის წლიური სვლა $^{\circ}\text{C}$

თ ვ ე												წელი
I	II	III	IV	V	VI	VII	VIII	IX	X	XI	XII	
სეზონი												
4.5	5.2	7.9	11.4	16.2	20.0	22.5	22.6	19.4	15.2	105	6.5	13.5
ურეკი												
5.8	6.4	8.6	11.8	16.2	20.3	22.6	23.0	20.0	16.4	12.3	8.1	14.3
ლანჩხუთი												
4.2	5.2	8.2	12.2	17.2	20.5	23.0	23.1	19.8	15.5	10.8	6.3	13.8
ნაბეჭდლავი												
3.6	4.2	6.6	10.8	15.4	18.0	20.0	20.2	17.3	13.8	9.9	5.8	12.1
ბაბმარო												
-5.2	-4.8	-2.3	2.5	7.3	10.4	12.8	13.4	9.9	6.0	1.2	-2.7	4.0

### 2.2. პაერის სინოტივე

პაერის სინოტივის მახასიათებელი ძრითადი პარამეტრებია წყლის ორთქლის პარციალური წნევა და პაერის ფარდობითი სინოტივე.

წყლის ორთქლის პარციალური წნევა. გურიაში, ისევე როგორც მთლიანად შევის ზღვის მიმდებარე ტერიტორიაზე, წყლის ორთქლის რაოდენობა საქმაოდ მაღალია მთელი წლის განმავლობაში. პარციალური წნევის საშუალო წლიური მნიშვნელობა მერყეობს 6-14 პარციალური წნევის სიდიდე ზღვის სანაპირო ზოლში. (ცხრილი 2.2.1.)

### ცხრილი 2.2.1. პაერის პარციალური წნევა (პპ)

სადგური	სიმაღლე, მ	თ ვ ე				წელი
		I	IV	VIII	X	
ურეკი	30	7.0	10.3	23.1	14.5	13.8
ლანჩხუთი	20	6.9	10.3	22.4	13.6	13.4
ბაბმარო	1926	3.1	4.9	12.0	6.2	6.5

წყლის ორთქლის პარციალური წნევის წლიური სვლა ანალოგიურია პაერის ტემპერატურის წლიური სვლისა: მინიმუმი იანვარ-თებერვალში, ხოლო მაქსიმუმი ივლის-აგვისტოში. ზამთარში პარციალური წნევა ტერიტორიის დაბლობ რაონებში 6-7 პპ-ს შეადგენს, ხოლო მთაში კლებულობს 3 პპ-მდე. ასევე ზაფხულში თუ ბარში პარციალური წნევის სიდიდე 22-23 პპ-ია, მთაში ის ორჯერ ნაკლებია.

წყლის ორთქლის პარციალური წნევის სიდიდე გაზაფხულზე შედარებით ნაკლებია, ვიდრე შემოღომაზე, კერძოდ აპრილში მისი მნიშვნელობა ბარში შეადგენს 10-11 პპ-ს, ხოლო მთაში 4-5 პპ-ს. ოქტომბერში კი შესაბამისად გვაქვს 13-15 პპ და 6-7 პპ.

პარციალური წნევის დღე-დამურ სვლაში მინიმუმი დღის სათებში, ხოლო მაქსიმუმი ნაშუადღევს აღინიშნება, რაც შეესაბამება ზღვიური ტიპის კლიმატს და გამოწვეულია დღის ბრიზების გააქტიურებით. ეს კანონზომიერება ვრცელდება მთებშიც, რაც მიუთითებს იმაზე, რომ ბრიზები ვრცელდებიან ზღვიდან საკმაოდ დაშორებულ რაიონებშიც. ეს უნიკალურს ხდის მთის კურორტ ბახმაროს კლიმატურ პირობებს.

**ჰაერის შეფარდებითი სინოტივე.** შეფარდებითი სინოტივე ახასიათებს ჰაერის წყლის ორთქლით გაჯერების ხარისხს. ის ჰაერის ტემპერატურისა და წყლის ორთქლის პარციალური წნევისაგან განსხვავებით მნიშვნელოვანი ცვალებადობით ხასიათდება სიერცესა და დროში, თუმცა მისი, როგორც საშუალო წლიური, ისევე თვიური მნიშვნელობები საკმაოდ მაღალია გურიის მთელ ტერიტორიაზე (ცხრილი 2.2.).

#### ცხრილი 2.2. ჰაერის შეფარდებითი სინოტივე (%)

სადგური	სიმაღლე მ	თ ვ ე				წლი
		I	IV	VIII	X	
ურეკი	30	72	78	81	78	78
ლანჩხუთი	20	80	74	80	81	78
ბახმარო	1926	73	67	80	75	73

როგორც ცხრილიდან ჩანს ტერიტორიული განსხვავებები ჰაერის შეფარდებითი სინოტივის მაჩვენებლებს შორის თითქმის ყველა სეზონში აღინიშნება, გარდა ზაფხულისა, როდესაც ის საკმაოდ მაღალია და თანაბარია მთელ ტერიტორიაზე. ეს გამოწვეულია მუსონური ცირკულაციის გააქტიურებით ზაფხულის პერიოდში, რასაც ნოტიო ზღვიური ჰაერი გადმოაქვს საქმაოდ შორს ხმელეთზე და სინოტივე იზრდება ზღვის სანაპიროდან საკმაოდ დაშორებულ მთებშიც კი.

რეგიონში ხშირია ნოტიო დღეთა რიცხვი, ანუ იმ დღეთა რიცხვი, როდესაც შეფარდებითი სინოტივე აღემატება 80%-ს. ასეთ დღეთა რაოდენობა წლის განმავლობაში ბარში 80-90 დღეს შეადგენს, ხოლო მთაში მნიშვნელოვნად იზრდება და ბარში 138 დღეს აღწევს. წლის განმავლობაში ნოტიო დღეთა რიცხვის მაქსიმუმი ბარში აღინიშნება ზამთრის განმავლობაში, ხოლო მთაში—ზაფხულში. ნოტიო დღეთა რაოდენობა მინიმალურია ბარში ზაფხულში, ხოლო მთაში გაზაფხულზე.

**სინოტივის დეფიციტი.** სინოტივის დეფიციტი გვიჩვენებს წყლის ორთქლის პარციალური წნევის იმ მნიშვნელობას, რაც საჭიროა აღინიშნულ ტემპერატურაზე ჰაერის სრული გაჯერებისათვის. სინოტივის დეფიციტის წლიური სვლა ანალოგიურია ჰაერის ტემპერატურისა და წყლის ორთქლის პარციალური წნევის წლი-

ური სელისა, მისი უმცირესი მნიშვნელობები აღინიშნება ზამთარში, ხოლო უდიდესი—ზაფხულზე (ცხრილი 2.2.3).

ცხრილი 2.2.3. სინოტივის დეფიციტი. ჰპა.

სადგური	სიმაღლე მ	თ ვ ე				წელი
		I	IV	VIII	X	
ურეკი	30	3.0	4.1	5.0	4.0	4.2
ლანჩხუთი	20	2.1	4.9	6.2	4.2	4.4
ბახმარო	1926	1.4	2.9	3.5	3.2	2.8

საშუალო წლიური სინოტივის დეფიციტი ბარში 4-4,5 ჰპა ფარგლებში მერყეობს, ხოლო მთაში მნიშვნელოვნად მცირდება და ბახმაროში 2,8-ჰპა-ს შეადგენს. დეფიციტის სიდიდე მინიმალურია ზამთარში, ბარში შეადგენს 2-3 ჰპა-ს, მთაში კი-1,5 ჰპა-ს, ზაფხულში სინოტივის დეფიციტი უდიდესია, ბარში მისი მნიშვნელობა შეადგენს 5-6,5 ჰპა-ს, მთაში 4 ჰპა-ზე ნაკლებია. წლის განმავლობაში სინოტივის დეფიციტი ბარში შეადგენს 4-5 ჰპა-ს, ხოლო მთაში-2,5 ჰპა-ს.

### 2.3. ატმოსფერული ნალექი

ატმოსფერული ნალექების წლიური ჯამები გურიის ტერიტორიაზე მერყეობს 1400- 2000 მმ-ფარგლებში. (ნახ. 2.3.1.).

ზღვის სანაპირო ზოლში ნალექების წლიური ჯამები აღემატება 2000 მმ-ს, ატმოსავლეთის მიმართულებით თანდათანობით კლებულობს. იზოპიეთებს თითქმის მერიდიანული განლაგება გააჩნიათ.



ნახ.2.3.1. ატმოსფერული ნალექების წლიური ჯამი. მმ

დაბლობ რაიონებში წლის თბილი პერიოდის ნალექები აღემატება ცივი პერიოდის ნალექებს, ხოლო მთებში პირიქით-ჭარბობს ცივი ზღვის პერიოდის ნალექები.

ნალექების წლიურ სკლაში მაქსიმუმი შემოდგომაზე მოდის, ხოლო მინიმუმი გაზაფხულზე, ამავე დროს ზღვისპირა ზოლი-სათვის მაქსიმუმი დამახასიათებელია სექტემბრის თვისთვის, ზღვიდან დაშორებისა და ადგილის სიმაღლის ზრდისთან ერთად ნალექების მაქსიმუმი გადაინაცვლებს ოქტომბრის თვეზე. ნალექების მინიმუმი დაბლობ რაიონებში ძირითადად მოდის მაისში, ხოლო მთებში გადაინაცვლებს აპრილში (ცხრილი 2.3.1.)

ნალექების, როგორც წლიური, ისე თვიური ჯამები მნიშვნელოვან ცვლილებას განიცდის. კერძოდ ცხრილი 2.3.1.-ის თანახმად ლანჩხუთში თუ ნალექების მრავალწლიური საშუალო წლიური ჯამი 2078 მმ-ს შეადგენს, მისი დაპირვებული მინიმუმი 1264 მმ-ია (1942), ხოლო მაქსიმუმი—2365 მმ (1951). ანალოგიურად ბახმაროში, ნალექების საშუალო მრავალწლიური ჯამის 1809 მმ პირობებში, დაკვირვებული მინიმუმი მხოლოდ 874 მმ (1935), ხოლო მაქსიმუმი 2187 მმ-ია (1959). არსებით რყევადობას განიცდის აგრძ-თვე ნალექების თვიური ჯამები. მაგალითად ლანჩხუთში ოქტომბერში, რომელიც შეესაბამებს ნალექების მაქსიმუმის პერიოდს, ნალექების თვიური ჯამები იცვლება 37-დან 615 მმ-დან ფარგლებში. ბახმაროში აგრძთვე, ოქტომბერში, ნალექების თვიური ჯამების ცვლილების დიაპაზონი შეადგენს 46-428 მმ-ს. ამრიგად გურიის რეგიონში ნალექების როგორც წლიური, ისე თვიური ჯამები დიდი ვარიაციით ხასიათდება.

(ცხრილი 2.3.1. ატმოსფერული ნალექების წლიური სკლა. მმ.

თ ვ ე ბ ი												ე ს ტ ე
I	II	III	IV	V	VI	VII	VIII	IX	X	XI	XII	
სულსა												
204	182	136	111	78	162	235	276	332	239	218	206	2379
ურეცი												
176	164	120	98	67	140	205	238	292	209	191	178	2078
ლანჩხუთი												
205	182	144	80	67	120	131	162	220	252	212	205	1980
ნაბეჭდოვანი												
172	148	112	62	52	94	103	129	174	200	163	173	1582
ბახმარო												
209	203	174	87	96	126	107	114	153	214	201	185	1809

წელიწადის განმავლობაში 150-200 ნალექიანი დღეა. ნალექიანი დღეთა რიცხვი მთებში უფრო მეტია, ვიდრე ზღვისპირა რაიონებში, კერძოდ ბახმაროში ის აღემატება 200 დღეს. ერთ დღეს მოსული ნალექების რაოდენობამ შეიძლება შეადგინოს 150-200 მმ. ნალექიანი პერიოდის საშუალო ხანგრძლივობა 3 დღეს აღემატება.

## 2. 4. თოვლის საფარი

თოვლის საფარის ტერიტორიული განაწილებისა და არსებობის ხანგრძლივობის ანალიზის შედეგად გურიის ტერიტორიაზე გამოყოფილია ორი ზონა მდგრადი და არამდგრადი თოვლის საფარით. ამ ზონების ტერიტორიული განაწილება დამოკიდებულია ადგილის აბსოლუტურ სიმაღლეზე: არამდგრადი თოვლის ზონა ვრცელდება ზღვის დონიდან 600მ სიმაღლემდე, მდგრადი თოვლის ზონა კი-600 მეტრზე ზევით მაღალმთიანი რაიონის ჩათვლით. გურიის რელიეფის რთული ოროგრაფია, მესხეთის ქედის ორიენტაცია და შავი ზღვის გავლენა განაპირობებებს თოვლის საფარის ფორმირების და არსებობის რეგიმული მახასიათებლების თავისებურებებს. გურიის სანაპირო და დაბლობ ტერიტორიაზე თოვლის საფარის გაჩენის საშუალო თარიღია იანვრის მეორე დეკადა, ერთ კილომეტრ სიმაღლეზე-დეკემბრის პირველი დეკადა, ორ კილომეტრ სიმაღლეზე- ნოემბრის პირველი დეკადა 2-3 კმ სიმაღლეთა დიაპაზონში-ოქტომბრის ბოლო დეკადა.

თოვლის საფარის ხანგრძლივობა მესხეთის ქედის წინამთაში საშუალო შეადგენს 10-30 დღეს, ადგილის აბსოლუტური სიმაღლის მატების სინქრონულად თოვლის საფარის არსებობის ხანგრძლივობა იზრდება, რაც განპირობებულია ჰაერის ტემპერატურის ვარდნით და მყარი ნალექების მოსვლის ალბათობის ზრდით. გურორბი ბახმაროზე (1926 მ.ხ.დ.) თოვლის საფარის არსებობის ხანგრძლივობა წელიწადში აღწევს 190 დღეს.

თოვლის საფარის გაჩენის საშუალო თარიღებისაგან განსხვავებით, მისი გაჩენის ყველაზე აღრეული და გვიანი თარიღების დადგომის დიაპაზონი შეადგენს ოზურგეთში 85 დღეს (20/XI-15/III), ანასეულში 95 დღეს (10/XI-15/III), ბახმაროში 60 დღეს (14/IX-15/XI). საკელევ ტერიტორიაზე მდგრადი თოვლის საფარის წარმოქმნის საშუალო თარიღია ლანჩხუთში 20/XII, ბახმაროში 16/XI, ყველაზე აღრეული და გვიანი თარიღები კი ბახმაროში შესაბამისად 29/IX და 1/I. ბახმაროში მდგრადი თოვლის საფარის რდვევის საშუალო, ყველაზე აღრეული და ყველაზე გვიანი თარიღებია შესაბამისად 12/V, 6/IV და 6/VI. მდგრადი თოვლის საფარის გაქრობის საშუალო ყველაზე აღრეული და ყველაზე გვიანი თარიღებია 20/V, 29/IV, 11/VI. ოზურგეთში კი მდგრადი თოვლის საფარის გაქრობის საშუალო აღრეული და გვიანი თარიღებია შესაბამისად 3/III, 7/I და 20/IV.

დაბლობ ტერიტორიაზე მდგრადი თოვლის საფარის ფორმირება იშვიათია. მაგრამ ეპიზოდურად განსაკუთრებული სინოპტიკური სიტუაციების შემთხვევაში აქ თოვლის საფარის სიმაღლეში შეიძლება მიაღწიოს 70 სმ-ს. ასეთი შემთხვევების რეალიზაციის აღბათობა მრავალწლიური დაკვირვებების ინფორმაციის ანალიზის შედეგად შეადგენს მხოლოდ 1-2%-ს. ზამთრების რიცხვი, როდესაც მდგრადი თოვლის საფარი არ არსებობს, შეადგენს ლანჩხუთში 97%, სუფსაში 96%, ოზურგეთში 95%, ბახმაროში 0%-ს. ანასეულში თოვლის საფარის მაქსიმალური დეკადური სიმაღლე 95% უზრუნველყოფით შეადგენს 3 სმ, 50% უზრუნველყოფით 21 სმ, 5% უზრუნველყოფით 92 სმ-ს. ბახმაროში კი უზრუნველყოფის ანალოგიური პროცენტებისათვის შესაბამისად 141 სმ, 248 სმ და 428 სმ.

დამოკიდებულება  $n=f(H)$ , სადაც  $n$  არის თოვლიან დღეთა რიცხვი წელიწადში,  $H$ -ადგილის აბსოლუტური სიმაღლე ( $\text{მ}^{\circ}$ ) საჭვლევი რაიონებისათვის ანალიზურად წარმოიდგინება წრფივი ფუნქციის სახით:

$$n=80H+20 \quad (2.4.1)$$

ზღვისპირა რაიონისათვის ( $H=0\text{ მ}$ )  $n=20$  დღეს, 2 კმ სიმაღლეზე კი  $n=180$  დღეს ანალოგიური სახის დამოკიდებულება მიღებული იქნა (რ. სამუკაშვილი, საქართველოს ჰავა, 2006) აფხაზეთის ტერიტორიისათვის:

$$n=80H+10 \quad (2.4.2.)$$

საკვლევ რაიონებში თოვლიან დღეთა რაოდენობის ვერტიკალური გრადიენტი (დღე/100 მ) მუდმივია და უდრის 8-დღე/100 მ-ს.

წელიწადის ციკი პერიოდისათვის თოვლის საფარის საშუალო სიმაღლის ( $h$ , სმ) დამოკიდებულება ადგილის აბსოლუტურ სიმაღლეზე ( $H$ , კმ) ანალიზურად წარმოიდგინება წრფივი ფუნქციის სახით:

$$h=140,0H+5,0 \quad (2.4.3.)$$

ზღვის დონეზე ( $H=0\text{ მ}$ )  $h=5,0$  სმ, 2 კმ სიმაღლეზე კი 285 სმ. თოვლის საფარის სიმაღლის აბსოლუტური მაქსიმუმების  $h_{\max}$  და მინიმუმების  $h_{\min}$  (ექსტრემალური მნიშვნელობების) დამოკიდებულებები ადგილის სიმაღლეზე ასევე წარმოიდგინება წრფივი ფუნქციების სახით:

$$h_{\max}=230,0H+80,0 \quad (2.4.4.)$$

$$h_{\min}=60,0H+2,0 \quad (2.4.5.)$$

გურიის ტერიტორიაზე თოვლის საფარის რეჟიმები მახასიათებლების განაწილება ემორჩილება ვერტიკალური ზონალობის კანონს. სამხრეთ საქართველოს მთიანეთის დასავლეთი ნაწილი, რომელიც მოიცავს გურიის ტერიტორიაზე განლაგებულ მქენეთის ქვედის ჩრდილო-დასავლეთი ორიენტაციის ფერდობსაც, ხასიათდება უხვი თოვლიანობით, რაც განპირობებილია დასავ-

ლეთიდან შემოჭრილი ნოტით და არამდგრადი ცივი ატმოსფერული ფრონტების შემოჭრით, რომლებიც წელიწადის ცივ პერიოდში შევი ზღვის შედარებით თბილი ზედაპირის გავლენით უფრო მეტად ტენიანდებიან და არამდგრადი ხდებიან. მესხეთის ქვედის დასაკლეთის ორიენტაციის ფერდობებზე მათი იძულებითი ასვლისას ადგილი აქვს ფრონტალური პროცესების ოროგრაფიულ გამწვავებას წყლის ორთქლის ინტენსიური კონდენსაციით და უხვი მყარი ნალექების წარმოქმნით. აქ განლაგებულ კურორტ ბახმაროზე ორვლის საფარის სიმაღლის მაქსიმალური დეკადური სიდიდეების საშუალო შეადგენს 251 სმ, აბსოლუტური მაქსიმუმი კი აღმატება 520 სმ-ს. სამხრეთ საქართველოს მთიანეთის დასავლეთი ნაწილი-სათვის დამოკიდებულება  $h_{\max} = f(H)$ , სადაც  $h$  არის ორვლის საფარის მაქსიმალური დეკადური სიმაღლეების საშუალო (სმ),  $H$ -აღგილის აბსოლუტური სიმაღლე (კმ) წარმოიდგინება მეორე რიგის პარაბოლის განტოლებით:

$$h_{\max} = 0,167 + 0,187H + 0,573H^2 \quad (2.4.6.)$$

ზღვისპირა რაიონისათვის ( $H=0,3$ ) ორვლის საფარის მაქსიმალური დეკადური სიმაღლეების საშუალო შეადგენს დაახლოებით 20 სმ-ს. დაბალი მთის ზედა საზღვარზე ( $H=1,3$ ),  $h_{\max}=93$  სმ-ს, შეამთის ზედა საზღვარზე ( $H=2,3$ ),  $h_{\max}=285$  სმ-ს:

თოვლის საფარის მაქსიმალური დეკადური სიმაღლეების საშუალოს ( $\bar{h}_{\max}$ ) ვერტიკალური გრადიენტები შეადგენს დაბალი მთის ზონაში (I-2 კმ) 19 სმ/100მ-ზე ადგილის აბსოლუტური სიმაღლის მატებისას გრადიენტი იზრდება, რაც დაკავშირებულია ორვლის მოსვლის ხანგრძლივობის ზრდასთან სიმაღლის მატების სინკრონულად. წელიწადის ცივ პერიოდში მყარი ნალექების მოსვლის ხანგრძლივობის ( $t_{\text{სო}}$ ) ადგილის აბსოლუტურ სიმაღლეზე ( $H$ ) დამოკიდებულება გურიისა და აჭარის ტერიტორიისათვის წარმოიდგინება წრფივი ფუნქციის სახით:

$$t = 535,0H + 40,0 \quad (2.4.7.)$$

ზღვისპირა დაბლობი რაიონისათვის იგი შეადგენს 40 სათს, კურორტ ბახმაროზე კი-1030 საათს. ორვლის საფარის საშუალო დეკადური სიმაღლეების მაქსიმუმის განმეორადობა (%) სადგურ ბახმაროზე გვიჩვენებს, რომ მისი უდიდესი მნიშვნელობები მოდის ორვლის სიმაღლის იმ გრადაციებზე, რომლებიც მოთავსებულია 200-300 სმ-ის ინტერვალში. ამ სადგურზე 101-200 სმ სიმაღლის საზღვრებში არსებულ 25 სმ-იან გრადაციებზე (სულ 4 გრადაცია) ალბათობის სიდიდე მერყეობს 3-9%-ის ფარგლებში, ხოლო 200-350 სმ სიმაღლეებისათვის (3 გრადაცია)-შესაბამისად 7-31%-ის ინტერვალში.

ადგილის აბსოლუტური სიმაღლე და მასთან დაკავშირებული თერმული რეჟიმი, სინოპტიკური სიტუაციები და ოროგრაფიის ელემენტების ორიენტაცია ტენიანი ჰაერის ნაკადების მიმართ განსაზღვრავს თოვლის საფარის სიმაღლის ზრდის ინტენსივობას დღე-ღამის განმავლობაში. თოვლის საფარის სიმაღლის მატების დღე-დამური მაქსიმუმი მესხეთის ქედის წინამთაში მერყეობს 90-170 მ-ს ფარგლებში.

მდგრადი თოვლის საფარის დაღვობის და გაქრობის თარიღები მერყეობენ დიდ დიაპაზინში და დამოკიდებულია პაერის ტემპერატურის სეზონურ სელაზე შემოდგომის და გაზაფხულის თვეებში, აგრეთვე თოვლის საფარის სისქეზე და მის განლაგებაზე მთიანი რელიეფის ელემენტებზე. მაგალითად, სამხრეთის ორიენტაციის ფერდობებზე მზის გაზრდილი რადიაციის გავლენით (რომელიც ხელს უწყობს სათბური და სანაპირო უფექტების რეალიზაციას) იგი უფრო ადრე ქრება სხვა ორიენტაციებთან შედარებით.

გურიის მთიან რაიონში მდგრადი თოვლის საფარის სიმკვრივე  $d$  (გრ/სმ<sup>2</sup>) მისი ფორმირებიდან გაქრობამდე თანდათან მატულობს და მაქსიმუმს აღწევს გაზაფხულის თვეებში (აპრილი, მაისი). კურორტ ბახმაროსათვის  $d$ -ს დამოკიდებულება თოვლის საფარის არსებობის პერიოდზე (n) ანალოგიურად წარმოიდგინება წრფივი ფუნქციის სახით

$$d=0,004n+0,180$$

(2.4.8.)

ამ გამოსახულებაში n იცვლება 1-დან (XI) 7-მდე (V) რომელიც მოიცავს წელიწადის ციკ პერიოდს (XI-V).

როდესაც  $n=1$  (XI)  $d=0,22$  გრ/სმ<sup>2</sup>,  $n=3$  (I)  $d=0,30$  გრ/სმ<sup>2</sup>,  $n=6$  (IV)  $d=0,42$  გრ/სმ<sup>2</sup>. წელიწადის ამ პერიოდში (XI-V) თოვლის საფარის სიმკვრივე კურორტ ბახმაროზე იზრდება 0,22 გრ/სმ<sup>2</sup>-დან 0,49 გრ/სმ<sup>2</sup>-მდე ადსანიშნავია, რომ აქ თოვლის საფარის სიმკვრივე ფიქსირებული თარიღისათვის აღემატება გუდაურში და ჯვრის უღელტეხილზე არსებულ თოვლის საფარის სიმკვრივეებს, რაც ასესნება შავი ზღვის შედარებით ნოტიო ჰაერის გავლენით, მიუხდავად იმისა, რომ ამ სადგურებში თოვლის საფარის სისქე ახლოა ერთმანეთან ამაზე მეტყველებს აგრეთვე ბახმაროზე და ჯვრის უღელტეხილზე თოვლის საფარში არსებული წელის მარაგის ანალიზიც. წელიწადის ციკი სეზონის (XI-V) განმავლობაში წელის მარაგი სადგურ ბახმაროზე იცვლება 69-დან 962 მმ-მდე (მაისის პირველ დეკადაში იგი ეცემა 248 მმ-მდე) ამავე პერიოდი-სათვის ჯვრის უღელტეხილზე იგი იცვლება 68-781 მმ-ის ფარგლებში (აპრილის მეორე ნახევარში ეცემა 168 მმ-მდე) თოვლის საფარში წელის მარაგი, რომელიც განისაზღვრება ფორმულიდან  $S=10hd$  (სადაც h არის თოვლის საფარის სიმაღლე, d კი სიმკვრივე) წარმოადგენს ფაქტიურად გაზაფხულის წყალდიდობის და ნიადა-

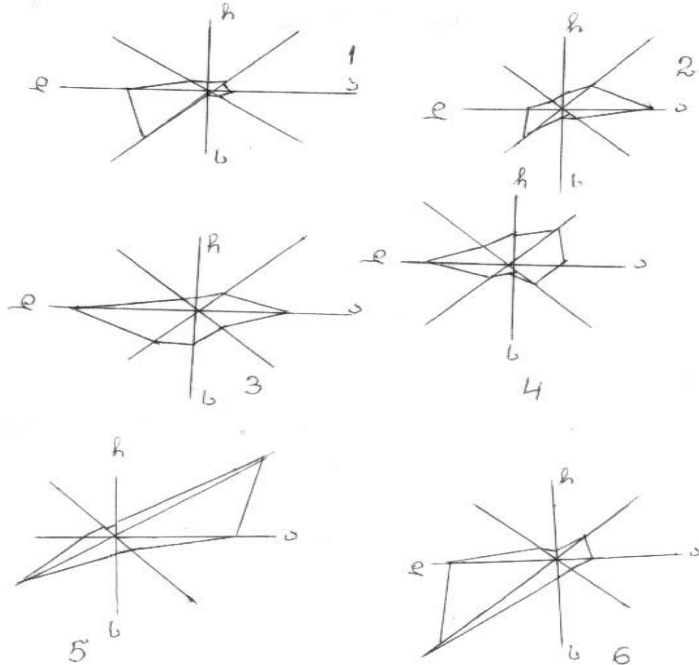
გის ტენით უზრუნველყოფის მაფორმირებელ ფაქტორს. მას დიდი მნიშვნელობა აქვს ადამიანის სამეურნეო საქმიანობის რიგ დარგებში (სოფლის მეურნეობა, პიღოებურგებიკა და სხვა).

ადსანიშნავია, რომ დანწევთში თოვლის საფარის წონა 1 მ<sup>2</sup>-ზე შეადგენს 0,50 კპა-ს, თოვლის საფარის სიმაღლის დეკადების უდიდესი საშუალო ტოლია 11 სმ-სა, თოვლის საფარის არსებობის დღეთა რაოდენობა-14-ისა. სადგურ ბახმაროში ამ პარამეტრების სიდიდები შესაბამისად ტოლია 7,7 კპა-სა, 251 სმ-ისა, 227-ისა, თოვლის საფარში წყლის მარაგი შეადგენს 962 მმ-ს (კლიმატური ცნობარი, ნაწ. 1, 2004).

## 2.5. ქარი

ქარის რეჟიმული მახასიათებლები ფორმირდება როგორც საქართველოს განედებისათვის დამახასიათებელი ზოგადცირკულაციური პროცესებით, ასევე სამსრეო საქართველოს მთიანეთის დასავლეთი ნაწილის რთული ოროგრაფიით განპირობებული თავისებურებების და მიმდებარე შავი ზღვის გავლით. როგორც ცნობილია, საქართველოს ტერიტორიის მთათა შორის დეპრესიულ ზონაში ჰაერის მასების გადაადგილება უპირატესად ხდება დასავლეთიდან აღმოსავლეთის მიმართულებით, მაგრამ მთიან რაიონებში რელიეფის ელემენტების მრავალსახეობა [პლატო, ქვაბულები, ხეობები, ფერდობები] და მათი მზის სხივური ენერგიის მიმართ ორიენტაციისა და დახრილობის განსხვავება იწვევს ქვეფენილი ზედაპირის რადიაციული და სითბური ბალანსის სხვადასხვა სიდიდეების ფორმირებას და ლოკალური თერმული მიკროცირკულაციების წარმოშობას განსხვავებული სიდიდის მიმართულების მთა-ხეობების და ფერდობების ქარების სახით. ზღვისპირა დაბლობ რაიონში, მიუხედავად იმისა, რომ წყლის და ხმელეთის ზედაპირი იმყოფება იდენტურ რადიაციულ რეჟიმში, მათი განსხვავებული ალბედოს და სითბოტევადობის გავლენის შედეგად ყალიბდება ამ ქვეფენილი ზედაპირების გათბობა-გაცივების დღედამური ასინქრონული სვლა და ცვალებადი მიმართულების ბრიზების ფორმირება. გურიის ტერიტორიაზე ქარებს ასევე აქვს მუსონური ხასიათი: ზამთარში აქ ქარის რეჟიმი განპირობებულია კაფკასიის აღმოსავლეთით განლაგებული მაღალი წნევის არის (ციმბირის ანტიციკლონი) და შავი ზღვის აკვატორიაზე განლაგებული დაბალი წნევის სინქრონული მოქმედებით. ასეთ პირობებში ბარიული გრადიენტები მიმართულია აღმოსავლეთიდან დასავლეთისაკენ და შეაბამისად წელიწადის ამ სეზონში გაბატონებულია აღმოსავლეთის მიმართულების ქარები. ზაფხულის პერიოდში დასავლეთ ეპროპის ტერიტორიას შავი ზღვის აკვატორიის ჩათვლით იქავებს მაღალი წნევის არე (აზორის მაქსიმუმის აღმოსავლეთი

თხემი), ხოლო აზიის სამხრეთ-დასავლეთ ნაწილს-დაბალი წნევის არე. ამ შემთხვევაში ბარიულ გრადიენტებს აქვს აღმოსავლეთის მიმართულება და წელიწადის ამ სეზონში გაბატონებულია დასავლეთის მიმართულების ქარები (ნახ. 2.5.1.).



ნახ. 2.5.1. ქართა განრიგი; ზემოდან ოზურგეთი, ბახმარო, ანასეული. 1-იანვარი, 2-ივლისი

სადგურ ანასეულში აღმოსავლეთის მიმართულების ქარების განმეორადობა იანვარში შეადგენს 22%, დასავლეთის მიმართულებისა კი -4%-ს. ივლისში მათი განმეორადობა შესაბაისად ტოლია 8 და 25%-ისა. მთიან კურორტ ბახმაროზე ( $H=1926$  მ) ოროგრაფიის გავლენით აღნიშნული კანონზომიერება ირლვევა: აქ იანვარში აღმოსავლეთის ქარების განმეორებადობა შეადგენს 13%-ს, დასავლეთისა კი 32%-ს, ივლისში კი შესაბამისად 17 და 29%-ს. სადგურ ანასეულში წელიწადში აღმოსავლეთისა და დასავლეთის მიმარ-

თულების ქარების განმეორებადობა ტოლია 16%-ისა, შტილების განმეორებადობა შეადგენს 27%. ბახმაროში აღმოსავლეთისა და დასავლეთის მიმართულების ქარების განმეორებადობა წელიწადში შესაბამისად ტოლია 17 და 28%-ისა, შტილების განმეორებადობა შეადგენს 33%-ს. ქარის მიმართულებისა და შტილის განმეორებადობა იანვარში, ივლისში და წელიწადში სადგურ ლანჩხუთში ახლო სადგურ ანასეულისათვის მიღებული ქარის მახასითებლების მნიშვნელობებთან. სანაპირო ზოლში ქარების ზაფხულის რეჟიმი გრძელდება მარტიდან სექტემბრის ჩათვლით, ზამთრის რეჟიმი კი ოქტომბრიდან თებერვლის ჩათვლით. აღმოსავლეთისა და სამხრეთ-აღმოსავლეთის მიმართულების ქარები ფერდობებზე დაშვებისას იძენენ ფიონების ხასიათს, როგორც განმეორებადობა ზღვისგან მიმართულებით კლებულობს, როგორც ქარის მიმართულების ანალიზი გვიჩვენებს, გურიის სანაპიროზე ბრიზებს ადგილი აქვს მთელი წლის განმავლობაში (ცხრილი 2.5.1.)

### ცხრილი 2.5.1. ქარის მიმართულების განმეორებადობა (შემთხვევათა რიცხვი)

სადგური, სამართულება	ქარების მიმართულება	თვე				
		I	IV	VII	X	წელიწადი
ლანჩხუთი, 292გ	ზღვიდან	6	16	16	5	143
	ხმელეთიდან	20	9	6	12	132
სუფსა, 7გ	ზღვიდან	3	8	13	5	94
	ხმელეთიდან	46	24	3	28	52
ოზურგეთი, 70გ	ზღვიდან	5	13	15	8	125
	ხმელეთიდან	17	11	3	12	127
ურები, 159გ	ზღვიდან	5	19	20	9	94
	ხმელეთიდან	23	13	8	22	52

შევის სანაპიროსა და კოლხეთის დაბლობის ბრიზები განსაკუთრებით მკვეთრად გამოხატულია მოწმენდილი ცის შემთხვევაში, როდესაც ზღვისა და ხმელეთის რადიაციული გათბობის სიდიდებში აღინიშნება მაქსიმალური სხვაობა. გურიის სანაპირო დაბლობ რაიონში აღინიშნება, როგორც დამოუკიდებელი, ასევე მთა-ხეობის ქარებთან კომბინირებული ბრიზები, როგორც განმეორადობა მაქსიმალურია აჭარის აღმინისტრაციულ საზღვართან, სადაც მესხეთის ქედის ფერდობები ზღვის სანაპიროსთან შედარებით ახლო არიან განლაგებული. სუფსის შესართავთან სანაპიროს ბრიზების განმეორადობა ზაფხულში (V-VIII) დამის პირველ საათზე იცვლება 75-85%-ის, ხოლო დღის პირველ საათზე 4-10%-ის ფარგლებში. ზღვიდან ბრიზების განმეორადობა შეადგენს დამის პირველ საათზე 5-10%, ხოლო დღის პირველ საათზე 80-86%-ს. საღა-

მოს საათებში (9სთ) ზღვის ბრიზების განმეორადობა თუმცა ეცემა, მაგრამ მაინც აღწევს 65%-ს, რაც განპირობებულია ზაფხულის მუსონის გავლენით. რომელსაც აქვს დასავლეთის მიმართულება. აღსანიშნავია, რომ შავი ზღვის სანაპირო ზოლის დაჭაობებულ მონაკვეთებზე ბრიზების გაძმეორადობა კლებულობს, რაც გამოწვეულია ზღვის და ძლიერდ დაჭაობებული ადგილის ზედაპირების იდენტური რადიაციული და თერმული მასასიათებლებით.

გურიის სანაპიროზე ბრიზები დაიკვირვება მთელი წლის განმავლობაში. აჭარა-გურიის დაბლობი რაიონი წელიწადის დიდი ნაწილის განმავლობაში იმყოფება დასავლეთის მიმართულების ზღვის ნოტიო ქარების გავლენის ქვეშ. წელიწადის ცივ პერიოდში კი აღმოსავლეთის მიმართულების ქარების განმეორადობა მკვეთრად იზრდება და აჭარებს დასავლეთის მიმართულების ქარების განმეორებადობას. მთელი წლის განმავლობაში სუფსაში და ლანჩხუთში ზღვიდან ქარების განმეორადობა მეტია ხმელეთიდან ქარების განმეორადობაზე, ოზურგეთში დასავლეთის და აღმოსავლეთის მიმართულების ქარების განმეორადობა თითქმის ტოლია (125 და 127 შესაბამისად), ხოლო ურუკში აღმოსავლეთის ქარების განმეორადობა (196) მიუხედავად იმისა, რომ წელიწადის თბილ პერიოდში (IV - VII) აქ დასავლეთის ქარების განმეორადობა მეტია აღმოსავლეთის ქარების განმეორადობაზე. აღსანიშნავია, რომ კოლხეთის დაბლობის ზღვისპირა ზონაში (გურიის ჩათვლით) წელიწადის თბილ პერიოდში, (აპრილი-სექტემბერი) გაბატონებულია ქარები ზღვიდან, ცივ პერიოდში კი (ოქტომბერი-მარტი)-ხმელეთიდან. ამ ორი მიმართულების ქარებს აქვთ მუსონური ხასიათი (როგორც აზიის კონტინენტის აღმოსავლეთ სანაპიროზე). გურიის მთიან რაიონში მუსონური ხასიათის ქარებს ზედ ერთვის მთა-ხეობების ქარები, რაც ზრდის აღმოსავლეთის მიმართულების ქარების განმეორადობას. აქ წელიწადის თბილ პერიოდშიც კი რიგ შემთხვევაში აღმოსავლეთის მიმართულების ქარების განმეორადობაში შეიძლება გადააჭარბოს დასავლეთის ქარების განმეორადობას. საკვლევ ტერიტორიაზე ქარების სიჩქარის საშუალოვნები სიდიდეებს გააჩნია გარკვეული წლიური სვლა (ცხრილი 2.5.2.) დაბლობ ტერიტორიაზე წინამთის ჩათვლით ქარის საშუალოვნები სიჩქარის მაქსიმუმი აღინიშნება იანვარ-მარტის განმავლობაში. მინიმუმი კი-ივნის-სექტემბერში. აქ ქარის საშუალოვნები სიჩქარის მაქსიმუმი (I,VII) არ აღემატება 9,6 მ/წმ (ანასეული, იანვარი) და 3,2 მ/წმ (აცანა, ივლისი). მესხეთის ქედის ფერდობზე ქარის მაქსიმალური საშუალოვნები სიჩქარეები წელიწადის მაქსიმუმს აღწევს 2,5 მ/წმ-ს (ბათმარო, იანვარი). ქარის სიჩქარე ხასიათდება გარკვეული დღე-დამური სვლით, სიჩქარის დღე-დამური ამპლიტუდის მაქსიმუმი აღინიშნება წელიწადის თბილი და მინი-

მუში-ცივი პერიოდისათვის, დაბლობ რაიონში ქარის სიჩქარის დღე-დამურ სკალაში ქარის მაქსიმუმი აღინიშნება დღის მეორე ნახევა-რში, როდესაც ადგილი აქვს ქეცენილი ზედაპირის რადიაციული და სითბური ბალანსების მაქსიმალურ მნიშვნელობებს. რაც ხელს უწყობს ტურბულენტობის და კონვექციის განვითარებას, მინიმა-ლური სიჩქარები აღინიშნება დამის სათვებში; ადსანიშნავია, რომ შუა და მაღალ მთაში ადგილი აქვს ქარის სიჩქარის მნიშვნელოვან სიდიდებს დღის მეორე ნახევარში, როდესაც აღინიშნება სამხრე-თის ორიენტაციის ფერდობებზე რადიაციული ბალანსის მაქსიმა-ლური სიდიდები და ცივი ჰაერის მასების ინტენსიური ჩამოდინება ფერდობებზე მნიშვნელოვანი სიჩქარების მქონე მთის ქარების სა-ხით. სხვადასხვა სიჩქარის ქარების ალბათობების წლიური სკლა ხასიათდება ისეთივე თავისებურებებით, როგორიც მათი საშუალო-თვიური სიჩქარების წლიური სკლა. აღსანიშნავია, რომ კოლხეთის დაბლობის ცალკეულ ნაწილებში 0-2მ/წმ სიჩქარის ქარების ალბა-თობა აღწევს 85%, გურიის შავი ზღვის სანაპირო ზილში მისი მნი-შვნელობები ეცემა 55-65%-ის საზღვრებში.

### ცხრილი 2.5.2. ქარის საშუალოთვიური და წლიური სიჩქა-რები (მ/წმ)

პუნქტი	თვე												წლი
	I	II	III	IV	V	VI	VII	VIII	IX	X	XI	XII	
ანასეული	1.6	2.0	1.8	1.6	1.3	1.2	1.0	1.6	0.9	1.1	1.1	1.5	1.4
აცანა	0.8	0.8	0.8	0.8	0.8	0.7	0.7	0.5	0.6	0.6	0.6	0.6	0.7
ბახმარო	2.4	2.3	2.1	1.8	1.5	1.2	0.8	0.8	1.0	1.4	1.6	2.3	1.7
ლანჩხუთი	2.5	3.1	2.7	2.3	1.9	1.6	1.3	1.2	1.4	1.7	1.8	2.1	2.0

სახალხო მეურნეობის რიგი დარგებისათვის (პიდროვნერგვ-ტიკა, მუნიციპალობა, ტრანსპორტი, სატრანსპორტო კომუნიკაციები, ქარის ენერგეტიკა, ზღვის პორტების და სანაპირო ზოლის დაცვა და სხვა) სხვადასხვა სიჩქარის ქარების, მათ შორის ძლიერი ქარების ( $V \geq 16$  მ/წმ) ალბათობის ცოდნას აქვს დიდი პრაგტიკული მნიშვნელობა. წლილი გამარტინაში კოლხეთის დაბლობი-სათვის დამახასიათებელია განედური მიმართულების აღმოსავლეთის ძლიერი ქარები. დასავლეთის მიმართულების ქარებს ხელშემწყობი სინოპტიკური სიტუაციების პირობებში შეუძლია მოიცან (აღმოსავლეთის ქარებისაგან განსხვავებით) საქართველოს მთელი ტერიტორია. ძლიერი ქარების შემთხვევაში საშუალო მნიშვნელობები საშუალო მრავალწლიურთან შედარებით შეიძლება გაიზარდოს 10-ჯერ და მეტად. მაგალითად, ანასეულში ქარის საშუალოთ-ვიური სიჩქარე იანვარში მრავალწლიური მონაცემებით შეადგენს 1,6 მ/წმ-ს. 1969 წლის იანვრის პირველ დეკადაში (4-7/I) ქარის სა-

შუალო სიჩქარემ მიაღწია 18,5 მ/წმ-ს (ვ. სუხიშვილი, 1980). ცხრილი 2.5.3.-ში მიცემულია ქარის სიჩქარის აბსოლუტური მაქსიმუმები, რომლებიც შესაძლებელია ერთხელ 1,5,10,15,20 წწ. განმავლობაში.

ქარის უდიდესმა სიჩქარემ 20 წელიწადში ერთხელ შეიძლება მიაღწიოს 36 მ/წმ-ს ბახმაროში და ლანჩხეუთში და 34 მ/წმ-ს ანასეულში.

ქესხეთის ქედის ჩრდილო-დასავლეთისაკენ ორიენტირებულ ხეობებში ადგილი აქვს მთა-ხეობების ქარებს, რომლებიც წარმოიშობიან ერთნაირ აბსოლუტურ სიმაღლეებზე მთის რელიეფის ელემენტების და თავისუფალი ატმოსფეროს არათანაბარი გათბობის შედეგად. მთიანი რელიეფის ამ ელემენტებზე (ბანსაჯუთრებით სამხრეთის ორიენტაციის ფერდობებზე) ქვეფენილი ზედაპირი თავისუფალ ატმოსფეროსთან შედარებით ინტენსიურად თბება, რაც განაპირობებს დღის განმავლობაში ხეობის ქარების, დამის განმავლობაში კი მთის ქარების წარმოშობას. მთა-ხეობის ცირკულაცია მესხეთის ქედის შუამთისა და მაღალი მთის ზონაში აღინიშნება 2000 მეტრამდე და ზევით. 3 კმ-ზე ზევით კავკასიონის მთებში მაღალმთიანი ყაზბეგის მეტეოსადგურის ( $H=3653$  მ) მონაცემებით გაბატონებულია ჰაერის მასების დასავლეთის მიმართულებით გადატანა და მთა-ხეობების ქარებს ადგილი არა აქვს.

ცხრილი 2.5.3. ქარის უდიდესი სიჩქარე, შესაძლებელი 1, 5, 10, 15, 20 წლის განმავლობაში ერთხელ. მ/წმ (კლიმატური ცნობარი 2004)

პუნქტი	წელი				
	1	5	10	15	20
ბახმარო	23	29	33	34	36
ლანჩხეუთი	27	32	34	35	36
ანასეული	25	30	32	33	34

## 2.6. ტემპერატურა-სინოტივის კომპლექსი

რიგი პრაქტიკული ამოცანების გადასაწყვეტად დიდი მნიშვნელობა აქვს ერთი მეტეოროლოგიური ელემენტის დაფიქსირებული მნიშვნელობის შემთხვევაში მეორე ელემენტის ცვლილების კანონზომიერების ცოდნას. კომპლექსური პარამეტრების გამოყენების აუცილებლობა განსაკუთრებით იგრძნობა კურორტოლოგიასა და სამშენებლო პრაქტიკაში. სათანადო მასალები მოცემულია სპეციალურ ცნობარში (საქართველოს სამეცნიერო-გამოყენებითი კლიმატური ცნობარი. თბილისი, 2004).

გურიის დაბალი ზონის დასახასიათებლად შეგვიძლია გამოვიყენოთ ტემპერატურა-სინოტივის კომპლექსი უშუალოდ მოსაზღვრე ფოთის მეტეოროლოგიური სადგურის მონაცემების მიხედვით (საქართველოს ჰავა, სამეცნიერო-ზემო სვანეთი. 2009). ფარდობითი სინო-

ტივის ბიჯი (გრადაცია) აღებულია 5%, პაერის ტემპერატურისათვის 5°C. დაკვირვების რიგი მოიცავს 25 წელს, განხილულია ფაქტიური მასალა ყველა წლის, ყველა თვის, ყველა დღის, 01 და 03 საათისათვის

ცხრილი 2.6.1. პაერის ტემპერატურის და ფარდებითი სინო-ტივის კომპლექსისგანმეორადობა. ფოთი. %

შეფარდებითი სინოზი (%)	ტემპერატურა									განმეორების ჭაბუ (%)
	-10.0, -5.1	-5.0, -1.0	0.0, 4.9	5.0, 9.9	10.0, 14.9	15.0, 19.9	10.0 24.9	25.0, 29.9	30.0, 34.9	
11-15										
16-20										
21-25										0.1
26-30					0.1	0.2	0.2	0.2	0.1	0.8
31-35			0.2	0.5	0.4	0.3	0.2	0.1		1.7
36-40			0.4	0.9	0.7	0.4	0.2	0.1		2.7
41-45		0.1	0.7	1.1	0.9	0.5	0.2	0.1		3.6
46-50		0.2	0.8	1.0	0.8	0.6	0.3			3.7
51-55		0.3	1.0	1.2	0.8	0.7	0.2			4.2
56-60		0.3	0.9	1.1	0.8	0.6	0.3			4.0
61-65		0.5	1.0	1.0	0.8	1.1	0.7			5.1
66-70	0.1	0.4	1.1	1.2	1.0	1.7	1.6	0.1		7.2
71-75		0.4	1.2	1.2	1.2	2.4	2.7	0.1		9.2
76-80	0.1	0.6	1.4	1.5	1.3	2.2	1.6			8.7
81-85	0.1	0.9	2.1	1.6	1.4	2.0	0.6			8.7
86-90	0.2	1.4	2.6	2.2	2.1	2.4	0.3			11.2
91-95	0.2	2.1	4.1	3.9	3.8	3.6	0.2			17.9
96-100	0.2	1.4	2.0	2.4	3.9	1.4	0.1			11.3
გან. ჯამი (%)	0.9	8.7	19.4	20.8	20.1	20.1	9.4	0.6		100

ამ ცხრილის ანალიზი საშუალების გვაძლევს გავაკეთოთ რამდენიმე დასკვნა:

1. უარყოფითი ტემპერატურის ალბათობა არ აღემატება 1%-ს;
2. ყველაზე მეტი განმეორებადობა დაიკვირვება ტემპერატურისა 5-25°C-ის ფარგლებში. ამ დიაპაზონში ხვდება ყველა შემთხვევათა 80%
3. 30°C-ზე მეტი ტემპერატურის ალბათობა არ აღემატება 0,6%-ს;

4. მხოლოდ 5% შემთხვევაში გვხვდება ფარდობითი ტენიანობის დაბალი მნიშვნელობები, 40% და ნაკლები;
5. ფარდობითი ტენიანობის ყველაზე უფრო ალბათური გრადაცია 91÷100%-ა, რომელიც შემთხვევათა 18%-ს შეიცავს;
6. მაღალი ფარდობითი სინოტივე რეგიონში ჩვეულებრივი მოვლენაა. 86÷100%, გრადაციის ალბათობა 40%-ზე მეტია.  
გურიის რეგიონის კლიმატის ძირითადად განსაზღვრავს შავი ზღვის გავლენა და ჩრდილოეთიდან ბუნებრივი დამცავი მთავარი კავკასიონის ქედის არსებობა. ეს გავლენა ნათლად გამოიხატება ჰაერის ტემპერატურის ცვლილების ამპლიტუდის შემცირებაში და ფარდობითი სინოტივის მნიშვნელობის ზრდაში.

### თავი III. პლიგატური რესურსები

#### 3.1. საკურორტო რესურსები

რეგიონის გეოგრაფიული პირობები, კერძოდ მისი შავ ზღვასთან სიახლოვე, ხოლო აღმოსავლეთ ნაწილში მთების არსებობა განაპირობებს განსხვავებული საკურორტო ზონების ჩამოყალიბებას. ტერიტორიის დიდი ნაწილი უკავია დაბლობის საკურორტო ზონას, რომელიც წარმოდგენილია სანაპირო ნოტიო სუბტროპიკული და დაბლობის ნოტიო და ზომიერად ნოტიო ქვეზონებით, სადაც კურორტების უმრავლესობა მდებარეობს. მთიანი რაიონები უკავია დაბალი მთის ზომიერად ნოტიო და საშუალო მთის საკურორტო ზონებს.

სანაპირო ნოტიო სუბტროპიკულ ქვეზონაში განლაგებულია ცნობილი კლიმატური კურორტები: მალთაყვა, გრიგოლეთი და ურეკი. აქ მზის ნათების წლიური ხანგრძლივობა დაახლოებით 2000 სთ.-ია, მზის ჯამური რადიაცია წლიური 120-130 კკალ/კვ.მ-ს, ხოლო რადიაციული ბალანსი 60 კკალ/კვ-მ-ს შეადგენს.

ჰავა ზღვიური ნოტიო სუბტროპიკულია, ხასიათდება ძალიან რბილი უთოვლო ზამთრით და ზალიან თბილი ზაფხულით, იანგრის საშუალო თვიური ტემპერატურა  $4-7^{\circ}$  ფარგლებში, ხოლო ივლისის საშუალო თვიური ტემპერატურა  $21-24^{\circ}$  ფარგლებში მერყეობს. საშუალო წლიური ტამპერატურა  $13-15^{\circ}$ -ია.

ამინდის სამედიცინო კლასიფიკაციის თანახმად ქვეზონაში წლის ყველა სეზონში გაბატონებულია მზიანი, ზომიერად ნოტიო და ნოტიო ამინდები. წლის თბილი პერიოდის განმავლობაში ხშირია აგრეთვე წვიმიანი ამინდები.

სანაპირო საკურორტო ქვეზონის ძირითადი საკურორტო ფაქტორებია ზღვა, მზის მნიშვნელოვანი რადიაცია და პაურში არსებული ზღვიური წარმოშობის ქიმიური მიკროელემენტები. ქვეზონის ჰავა წარმატებით გამოიყენება გულსისძარდვთა სისტემის, სასუნთქი ორგანოების და ნერვული სისტემის ფუნქციონალურ დაავადებათა სამკურნალოდ.

ამავე საკურორტო ქვეზონაშია პერსპექტიული საკურორტო ადგილი შეკვეთილი. საერთოდ ურეკი-შეკვეთილის საკურორტო რაიონი განსაკუთრებული უნიკალურობით გამოირჩევა.

მდინარეების სუფსისა და ნატანების შორის 30-70 მ სიგანით 11 კმ-იანი ზღვისპირა ზოლი წარმოდგენილია ტიტანო- და ფერომაგნეტიტის სხვადასხვა ხარისხით გამდიდრებული ქვიშებით. ურეკის სანაპირო ზოლში არსებული მაგნიტური ქვიშებისა შესახებ დიდი ხანია ცნობილია, კერძოდ XIX საუკუნის შუა წლებიდან. პირველი ოფიციალური ცნობა ამის შესახებ გვხვდება აკადემიკოს გ. აბიხის

შრომებში, ხოლო 1887 წელს მაგნიტური ქვიშების საბადოები დაფიქსირებულია ს.სიმონოვიჩისა და ა.სოროკინის მიერ შედგენილ გეოლოგიურ რუკაზე.

XX საუკუნის 30-იან წლებიდან ურეკის ზღვისპირა სანაპიროს მაგნიტურ ქვიშებს დეტალურად იკვლევდნენ ცნობილი გეოლოგები: აკადემიკოსი ა. თვალსრულიძე (1925), ლ. კონიუშევსკი, ა.მარგალიტაძე, ი.ყიფიანი, დ.ვაშაძე (1928-1946 წ.), ლ.გოგიტიძე, რ.ბარსკაია, ვ.ფარცვანია, ნ.ოსიტაშვილი (1960-1963 წ.) და სხვა. ამ გამოკვლევების მიზანი იყო მოექცნათ ნედლეული ქრუსთავში ამიერკავკასიის მეტალურგიული კომბინატისათვის და ნავთობის მრეწველობის საწარმოებისათვის.

ურეკის საბადოს მაგნიტური ქვიშის ლაბორატორიული გამოკვლევები მისი მეტალურგიული თვისებების დადგენის მიზნით ჩატარებული იქნა საქართველოს მეცნიერებათა აკადემიის მეტალურგიის ინსტიტუტის პირანომეტალურგიის ლაბორატორიაში. საბადოს 3 სხვადასხვა ადგილას აღებული სინჯის ქიმიური ანალიზი მოყვანილია ქვემოთ ცხრილში.

### ცხრილი 3.1.1. მაგნიტური ქვიშის ლაბორატორიული გამოკვლევის შედეგები

სინჯის №	შემადგენლობა %-ში						
	Fe	FeO	SiO <sub>2</sub>	CaO	Al <sub>2</sub> O <sub>3</sub>	MgO	TiO <sub>2</sub>
1	47,63	16,6	13,44	4,43	4,61	2,75	5,23
2	48,56	15,46	12,69	3,79	6,68	3,62	4,79
3	48,12	16,28	12,93	4,10	5,18	3,07	5,11

ჩატარებული ლაბორატორიული ანალიზის საფუძველზე დადგენილ იქნა, რომ ურეკის საბადოს მაგნიტური კონცენტრანტი საკუთხით გამოსადეგი ნედლეულია თუკისა და ფოლადის წარმოებისათვის.

1975 წელს მეტალურგიის ინსტიტუტის მეცნიერ-თანამშრომლებმა პროფესიონალურ თ.სიგუას ხელმძღვანელობით კვლავ გამოიკვლიერ ურეკის ზღვისპირა სანაპიროს მაგნიტური ქვიშები. ეს გამოკვლევები ტარდებოდა სამეცნიერო-კვლევით ინსტიტუტ „მექანობერმენტ“-თან ერთად. ამ გამოკვლევების შედეგად დადგენილ იქნა მაგნიტურ ქვიშებში შემავალი მეტალოგენური ფრაქციების ქიმიური შემადგენლობა და მასში შემავალი ქვიშის მარცვლების ზომები.

ქიმიურმა და მინერალოგიურმა ანალიზებმა აჩვენა, რომ ქვიშის ძირითად მინერალებს წარმოადგენს მაგნეტიტი და ტიტანომაგნეტიტი. მათი შემადგენლობა ქვიშების საერთო რაოდენობაში 4%-ზე მეტია. ქვიშის მარცვლების ზომები 0,05-დან 0,4მმ-მდე ფარგლებშია. განსაკუთრებით ალბათურია ზომა 0,16-0,071მმ, ამ კლა-

სში თავმოყრილია მაგნეტიტის და ტიტანომაგნეტიტის ძირითადი მასა. საკმაოდაა აგრეთვე მინერალი ილმენიტი, რომლის ზომები 0,005 -0,015 მმ-ს შეადგენს. გვხვდება აგრეთვე ისეთი მინერალები როგორიცაა მარტიტი, ცირკონი, კვარცი, სიდერიტი და სხვა. ქვე-მოთ მოყვანილია ცხრილში იმ მინერალების ფიზიკური თვისებები რომელთა რაოდენობაც ამ მაგნიტურ ქვიშებში 1%-ზე მეტია.

ცხრილი 3.12. მინერალების ფიზიკური თვისებები

მინერა-ლები	ხვედრითი წონა, გრ/სმ <sup>3</sup>	სიმკვრივე მასით გ/სმ <sup>3</sup>	ხვედრითი მაგნიტური შემთ-ვისებლობა სგ/გ <sup>3</sup>	ელექტრო-გამტარებლობა ომ/სმ
მაგნეტიტი	4,8-5,0	5,5-6,5	0,03-0,1	$10^{-6}$
ლიმნიტი	3,6-4,0	5,0-5,5	$3,6 \cdot 10^{-6}$	$10^{-6}$
ილგენიტი	4,5-5,0	5,0-6,0	$2,71 \cdot 10^{-6}$	-
ლეიკოქლენი	3,8-3,0	-	-	-
რუტილი	4,2-4,3	6,0	$2 \cdot 10^{-6}$	-
სვენი	3,4-3,6	5,0-5,5	-	-
პიროსქენი	3,2-3,6	5,0-6,0	$65 \cdot 10^{-6}$	-
კვარცი	2,5-2,8	7,0	$0,2 \cdot 10^{-6}$	$10^{-4}$
სიდერიტი	3,8-3,9	3,5-4,0	$63 \cdot 10^{-6}$	$10^{-6}$
ბიოტიტი	2,7-3,1	2,0-3,0	$140-52 \cdot 10^{-6}$	$10^{-12}$
მუსკოვიტი	2,8-3,0	2,0-2,5	-	$10^{-12}$
მონაციტი	4,9-5,3	5,0-5,5	$14 \cdot 10^{-5}$	$10^{-12}$
ცირკონი	4,2-4,7	7,5	$14 \cdot 10^{-6}$	$10^{-12}$
აპატიტი	3,2	4,5-5,0	-	$10^{-12}$
გრანიტი	3,15-4,3	6,5-7,5	$6 \cdot 10^{-6}$	$10^{-12}$
ქვიშა მთლიანად	2,2-2,4	-	-	-

1978 წელს საქართველოს ი.კონიაშვილის სახელობის კუ-რორტლოგიისა და ფიზიოთერაპიის სამეცნიერო-კვლევითი ინსტიტუტის და საქართველოს მეცნიერებათა აკადემიის გეოფიზიკის ინსტიტუტის მეცნიერ-თანამშრომლებმა (პროფ. ე.ელიზბარაშვილი, გ.ჩიხლაძე, რ.გოგუა) ჩაატარეს დეტალური მაგნიტური აგეგმვა მთელ სანაპიროზე მაგნეტიტიდან მდინარე სუფსის შესართავამდე. მიღებული მასალების ანალიზის საფუძველზე დადგინდა, რომ ამ რაიონში ქვიშის მაგნიტური შემთვისებლობა  $1000 \cdot 10^{-6}$ -დან  $6000 \cdot 10^{-6}$  CGSE ერთეულის საზღვრებში მერყეობს.

მაგნიტურ შემთვისებლობის შეცვლასთან დაკავშირებულია ამ რაიონში მაგნიტური ველის ცვლილება. მაგნიტური ველის ანომალური მნიშვნელობა 100-200-ს უდრის. გეხვდება ისეთი მონაკვეთები, განსაკუთრებით მაგნიტიტის ჟანზე, სადაც მაგნიტური ველის ანომალური მნიშვნელობა 250-300-მდე და უფრო მეტადაც იზრდება.

დიდი მნიშვნელობა აქვს ანომალური მაგნიტური ველის წარმოშობის მიზეზების, ანუ გენეზისის დადგენას. მაგნიტური ძიების, პიდროგოლოგიური გამოკვლევებისა და გეოლოგიური აგეგმის მასალების კომპლექსური ანალიზის საფუძველზე დადგენილ იქნა, რომ ანომალური ველი განპირობებულია ქვიშების მძლავრი ფენებით, რომლებიც დიდი რაოდენობით ფერომაგნიტურ და ტიტანომაგნეტურ ფრაქციებს შეიცავენ. ეს მაგნიტური ქვიშები ჩამოტანილია მირითადად (80%-მდე) მდინარე სუფსის მიერ, მცირე ნაწილი მდინარე ნატანების მიერ. ეს დასკვნა დადასტურდა მდინარეების სუფსისა და ნატანების აუზის რიონის გეოლოგიური გამოკვლევების მასალების საფუძველზე. ამ მასალებით დადგინდა, რომ ამ მდინარეების აუზში აღებულ ქვიშის სინჯებში ფერომაგნიტური ფრაქციების რაოდენობა მცირეა (მდინარე სუფსის აუზიდან აღებულ სინჯში 1.5-2%, მდინარე ნატანების აუზში აღებული ქვიშის სინჯში კიდევ უფრო მცირე – 0,1-0,3%-მდე) ამავე დროს მაგნეტიტის ჟანზე აღებულ ქვიშის სხვადასხვა სინჯებში ფერომაგნიტური რკინის ნაერთების რაოდენობა 60%-ს აღწევს.

პროფესორ შ.თავაროთქილაძემ მაგნიტური აგეგმის, პიდროლოგიური და გეოლოგიური გამოკვლევების მასალების, ურეკის სანაპიროსთან მიმდებარე ზღვის აკვატორიუმში წყლის დინებების და ხმელეთიდან ზღვაში ჩამდინარე მიწისქვეშა წყლის დინებების ურთიერთქმედებების ერთობლივი ინტერპრეტაციით, ტემპერატურული რეჟიმის გათვალისწინებით დადგინა მიზეზი, რის საფუძველზეც მოხდა ამ მაგნიტური ქვიშების ასეთი დიდი რაოდენობით დაგროვება ურეკის სანაპიროზე, განსაკუთრებით კი მაგნეტიტის ჟანზე. ამის მიზეზი შემდგები მდგრმარეობს: ზღვის წყლის დინების მირითადი მიმართულება ურეკის სანაპიროსთან არის სამხრეთ-ჩრდილოეთის მიმართულება, რომელიც იწყება ბათუმის კონცენტრაციიდან და მიემართება ქალაქ ფოთის მიმართულებით. ეს დინება ურეკის სანაპიროს რამდენიმე ასეულ შეტრზე ჩაუვლის. ამ დინების აღმოსავლეთ საზღვარსა და სანაპიროს შორის არსებობს ე.წ. წრიული დინება, რომლის რადიუსი ურეკის სანაპიროს მოცემულ წერტილში უდრის მანძილს ნაპირიდან სამხრეთ-ჩრდილოეთის დინების ხმელეთის მხარეს არსებულ ზღვარს შორის. ამ წრიული დინების წარმოშობის მიზეზი არის გაბატონებული სამხრეთ-ჩრდილოეთის დინებისა და მისი მართობული ხმელეთი-

დან ზღვაში ჩამდინარე მიწისქვეშა წყლის ნაკადის ურთიერთშეერთება. ზღვის წყლის სამხრეთ ჩრდილოეთის დინება არის თბილი, ხოლო ხმელეთიდან ზღვაში ჩამდინარე მიწისქვეშა წყლის ნაკადი ცივი. ამ ცივი მიწისქვეშა წყლის ნაკადის სიჩქარე ურეკის მთელ სანაპიროს გასწვრივ ერთნაირი არაა, ის იმ უბანზეა მეტი, სადაც ხმელეთის მთაგორიანი ნაწილი უახლოვდება ზღვას და სადაც ხმელეთის ზღვისკენ დაქანების კუთხე არის მეტი, აგრეთვე რაც მეტია სხვაობა ზღვის წყლის თბილ დინების და მიწისქვეშა ცივ დინების ტემპერატურებს შორის. ასეთი გეოლოგიური და ჰიდროლოგიური პირობები ყველაზე უფრო არის ჩამოყალიბებული მაგნეტიზის უბანში, კერძოდ სანატორიუმ “მეგობრობა”-ს და მდინარე სეფას შორის.

შტორმის დროს ზღვაზე ურეკის სანაპიროსთან გაბატონებულია ჩრდილოეთ-სამხრეთის მიმართულებით ურეკის სანაპიროსკენ გადახრილი წყლის დინება, რასაც მოაქსს მდინარე სუფსის ჩამონატანი ურეკის სანაპიროზე, სადაც ხდება მისი დალექვა. სანაპიროსთან მიმდებარე ზღვის აკვატორიაში წარმოშობილი წრიული დინება ახდენს ამ ჩამონატანის გადატანას ზღვის სიღრმეში. ჩამოტანილი ქვიშის მსუბუქი ფრაქციები, რომლებსაც დიდი ზომები და მცირე ხვედრითი წონა აქვთ ამ დინების მეშვეობით გადაიტანება ზღვის სიღრმეში, უფრო მიმდევა ნაწილაკები, რომლებსაც მცირე ზომები და დიდი ხვედრითი წონა აქვთ, ამ დინებას ვერ გადააქვს და ადგილზე რჩებიან. ამიტომ მოხდა ქვიშის შემადგნელი მძიმე ფრაქციების (ფერომაგნიტი, ტიტანომაგნეტიტი, ლიმონიტი, ილმენიტი სხვა მეტალები) დაგროვება. ეს პროცესი მიმდინარეობს კავკასიის მთიანეთის ფორმირების დროიდან დღემდე და რამდენიმე მილიონ წელს შეადგენს. მაგნეტიტის უბანზე იმიტომ მოხდა მაგნიტური ქვიშის დიდი რაოდენობით დაგროვება, რომ დაქნება ხმელეთისა ზღვისკენ შედარებით სხვა მონაცემებთან არის მეტი, ხმელეთის მთაგორიანი ნაწილი უახლოვდება ზღვას, მიწისქვეშა წყლის ნაკადი უფრო მეტი სიჩქარით და დაბრკოლების გარეშე ჩაგდინება ზღვაში (რაღაც ქვიშის მასივში გაედინება) და შეჯახება ძირითად დინებას, რომლის სიჩქარე განაპირობებულია ტემპერატურული გრადიენტით. შედეგად წარმოშობა წრიული დინება, რომელიც ახდენს ქვიშის მსუბუქი ფრაქციებისა და თიხის ნაწილაკების გატანას სანაპირო ზოლიდან ზღვის სიღრმეში. ამ მოვლენამ განაპირობა მაგნიტური ქვიშების დიდი კონცენტრაცია მაგნეტიტის უბანზე, რის შედეგად ჩამოყალიბდა ამ უბანზე ყველაზე დიდი ანომალური მაგნიტური ველი. ყველაზე დიდია მთელ სანაპიროზე ამ უბანზე მიწისქვეშა წყლის ნაკადისა და სანაპიროსთან წარმოშობილი ზღვის წყლის წრიული დინების სიჩქარე.

საქართველოს ი.კონიაშვილის სახელობის კურორტოლოგიის და ფიზიოთერაპიის სამეცნიერო-კლევითი ინსტიტუტის თანამ-შრომელთა გამოკლევებით ურეკის მაგნიტური ქვიშების აბაზა-ნებით კომპლექსური მკურნალობა ნაჩვენებია ჰიპერტონიული დაავადების I და II სტადიისათვის, კორონალური ათეოსკლეროზის დაავადების I სტადიისათვის, მიოკარდიოდისტროფიით, გულის შეძნილი მანკებით, ქვემო კიდურა ქრონიკულო თრომბოფლე-ბიტით, ალიმენტური სიმსუქნით, საყრდენ მამოძრავებელი აპა-რატით, ნერვული სისტემით დაავადებულოთათვის და სხვა.

დაბლობის ნოტიო და ზომიერად ნოტიო საკურორტო ქვე-ზონაში განლაგებულია ბალნეოლოგიური კურორტები ნასაკირალი (150 მ ზღვის დონიდან) და ნაბეღლავი (450 მ), აგრეთვე კლი-მატური საკურორტო ადგილი ვაკიჯვარი (450 მ). ქვეზონა ინა-რჩუნებს სუბტროპიკული ჰავის ნიშნებს, ხასიათდება ძალიან რბილი, უთოვლო ზამთრით და ძალიან თბილი, ნოტიო და ზომი-ერად ნოტიო ზაფხულით. იანვრის თვის საშუალო ტემპერატურა 4-6<sup>0</sup>-ია, ივლისის საშუალო თვიური ტემპერატურა 21-24<sup>0</sup>-ია, ხოლო საშუალო წლიური ტემპერატურა -12<sup>0</sup>-ია.

ამინდის სამედიცინო კლასიფიკაციის თანხმად, ისევე რო-გორც სანაპირო ნოტიო სუბტროპიკულ ზონაში, აქაც გაბატო-ნებულია მზიანი, ზომიერად ნოტიო და ნოტიო ამინდები, ხოლო ზამთარში სშირია წვიმიანი ამინდები.

დასავლეთ საქართველოს დაბალი მთის ზომიერად ნოტიო საკურორტო ქვეზონას მიეკუთვნება კლიმატური საკურორტო ადგილი ნამაინები (900 მ ზღვის დონიდან). ქვეზონისათვის მზის ნათების ხანგრძლივობა 2100-2300 სთ-ს შეადგენს, მზის ჯამური რადიაცია 130 კპალ/კმ.სმ-ია, ხოლო რადიაციული ბალანსი 50 კპალ/კგ.სმ-ია წელი-წადში.

ჰავა ზომიერად ნოტიო სუბტროპიკულია, რბილი ზამთრით და თბილი, ზომიერად ნოტიო ზაფხულით. იანვრის საშუალო თვი-ური ტემპერატურა მინუს 2, პლუს 3<sup>0</sup>-ია, ივლისის 18-22<sup>0</sup>, ხოლო საშუალო წლიური ტემპერატურა 10-14<sup>0</sup>-ია.

ამინდის სამედიცინო კლასიფიკაციის შესაბამისად წლის ყვე-ლა სეზონში გაბატონებულია მზიანი, ზომიერად ნოტიო და ნოტიო ამინდი. ქვეზონის კლიმატოთერაპიული მნიშვნელობა რამდენადმე შეზღუდულია, ზაფხულში მაღალი სინოტიფისა და უხვი ნალექების გამო.

საშუალო მთის საკურორტო ზონის ზედა სარტყელში გან-ლაგებულია კლიმატური კურორტი ბახმარო (1850 მ ზღვის დონი-დან). საკურორტო ზონა მთლიანობაში ხასიათდება რბილი ზამ-თრით და ზომიერად გრილი, ზომიერად მშრალი ზაფხულით. იან-ვრის საშუალო თვიური ტემპერატურა მინუს 3-10<sup>0</sup>-ია, ივლის-აგ-

ვისტოს ტემპერატურა  $10-15^0$ -ია, ხოლო საშუალო წლიური ტემპერატურა  $0-5^0$ -ია.

ამინდის სამედიცინო კლასიფიკაციის თანახმად წლის თბილი პერიოდის განმავლობაში გაბატონებულია მზიანი, ზომიერად ნოტიო და წვიმიანი ამინდები. წლის ცივი პერიოდის განმავლობაში ჭარბობს ყინვიანი ამინდები. საკურორტო ზონის ზედა სარტყელის პავა წარმატებით გამოიყენება სასუნთქი თრგანოების დაგადებათა სამკურნალოდ.

### 3.2. მიკროკლიმატური გამოკვლევები

მიკროკლიმატური გამოკვლევები უპავშირდება შავიზღვისპირა კურორტების სამკურნალო თვისებების გამოკვლევას და მათ პრაქტიკულ გამოყენებას. ამიტომაც ეს გამოკვლევები ძირითადად ორგანიზებული იყო საქართველოს ი.კონიაშვილის სახელობის კურორტოლოგიის და ფიზიოთერაპიის სამეცნიერო-კვლევითი ინსტიტუტის და მისი აფხაზეთის ფილიალის მიერ, სადაც წლების მანძილზე ფუნქციონირებდნენ საკმაოდ მაღალი სამეცნიერო ავტორიტეტის მქონე სამედიცინო მეტეოროლოგიის და საკურორტო კლიმატოლოგიის ლაბორატორიები. სწორედ ამ ლაბორატორიების სპეციალისტები უწევდნენ რეკომენდაციებს ცნობილ კურორტებს სამედიცინო კლიმატოლოგიისა და კლიმატოთერაპიის საკითხებში.

საქართველოს შავი ზღვის სანაპიროს ხოლში უკელვან კარგად არის გამოხატული მუსონური ცირკულაცია: წლის თბილ პერიოდში გაბატონებულია დასავლეთის ქარები, ხოლო ცივ პერიოდში-აღმოსავლეთის ქარები. ქარის სიჩქარე სიმაღლის მიხედვით იზრდება. ეს კარგად ჩანს კურორტოლოგიის და ფიზიოთერაპიის სამეცნიერო-კვლევითი ინსტიტუტის თანამშრომელთა მიკროკლიმატური გამოკვლევებიდან ურეში (ცხრილი 3.2.1).

ცხრილი 3.2.1. ქარის სიჩქარის დღე-დამური სვლა ურეში. აგვისტო. მ/წმ (ს.ბლანუცა, ე-ელიზბარაშვილი, ნ.ქარცივაძე, 1982).

სიმაღლე, მ	დაკვირვების ვადა, სთ.							
	1	4	7	10	13	16	19	22
0,5	1,8	1,5	2,5	2,0	2,2	3,2	3,5	3,2
1	1,7	2,0	2,3	2,2	2,5	3,4	3,4	2,4
2	2,1	2,2	2,5	3,2	2,7	3,8	3,7	2,7
4	2,3	2,7	2,9	2,7	3,4	4,8	4,3	3,2
8	2,5	2,9	3,5	3,4	3,6	4,9	4,7	3,7
12	3,2	3,6	4,1	3,6	4,1	5,1	5,2	4,1

ცხრილის განხილვიდან გამომდინარეობს აგრეთვე, რომ დღე-დამურ სვლაში ქარის სიჩქარე მაქსიმუმს ძირითადად შუადღის შემდეგ (16-19 საათზე) აღწევს, რაც უსათუოდ დაკავშირებულია კონკრეტის განვითარებასთან. ამავე მიზეზის გამო აღნიშნულ დროს ქარის სიჩქარის ვერტიკალური გრადიუნტი მაქსიმუმს აღწევს.

ანალოგიური მიკროკლიმატური დაკვირვებები ქარის სიჩქარის ვერტიკალურ სტრუქტურაზე შეკვეთილში ჩაატარა პიდრომეტროლოგიის ინსტიტუტის ექსპედიციამ (მ.ელიზბარაშვილი, ნ.გაშაფაძე, ნ.ნასყიდაშვილი) 2006 წლის 8-20 სექტემბერს, რომლის შედეგებიც მოყვანილია ცხრილში 3.2.2.

ცხრილი 3.2.2. ქარის სიჩქარის ვერტიკალური სტრუქტურა შემვეთლში, 2006 წლის სექტემბერი, მ/წმ (მ. ელიზბარაშვილი, ნ.გაშაფაძე, ნ.ნასყიდაშვილი)

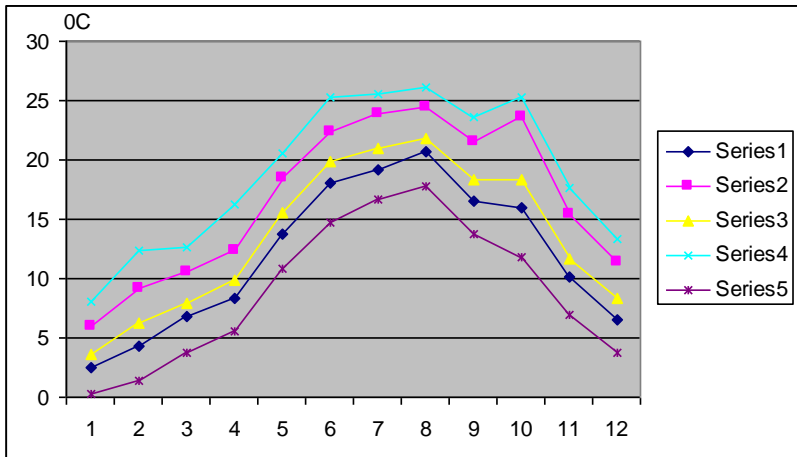
სიმაღლე, მ	საათი		
	11	14	17
0,2	2,2	2,8	4,0
0,5	2,1	3,5	4,4
1	3,0	3,1	4,8

ამ ცხრილიდან აგრეთვე კარგად ჩანს ქარის სიჩქარის ვერტიკალური და დღიური კანონზომიერება-სიჩქარის მატება სიმაღლის მიხედვით და მაქსიმუმი დღის მეორე ნახევარში (17 საათზე).

1974-1977 წლებში სამხედრო ოქმატიკის შესრულებასთან დაკავშირებით შეკვეთილში უუნქციონირებდა კლიმატური გამოცდების კოლხეთის სამეცნიერო-კვლევითი ცენტრი, რომელიც აწარმოებდა მეტეოროლოგიურ დაკვირვებათა მთელ კომპლექსს. ამ დაკვირვებების თანახმად აღნიშნულ წლებში მზის ჯამური წლიური რადიაცია არ აღემატებოდა 100 კალ/ს<sup>2</sup>-ს. ნახ.3.2.1-ზე ამავე სამეცნიერო-კვლევითი ცენტრის მონაცემებზე დაყრდნობით წარმოდგენილია ჰაერის ტემპერატურის სხვადასხვა მახასიათებლების წლიური სვლა შეკვეთილში.

ჰაერის ტემპერატურის დღედამურ სვლას სინუსოიდური სახე აქვს, მზის ამოსვლის შემდეგ ჰაერის ტემპერატურა იწყებს მატებას, მაგრამ შედარებით გვიან, ვიდრე ნიადაგის ზედაპირის ტემპერატურა. ამასთანავე ეს დაგვიანება მით უფრო მეტია, რაც უფრო მაღლაა განლაგებული წერტილი, სადაც იზომება ტემპერატურა. განსაკუთრებით მაღლი ტემპერატურა აღინიშნება შუადღიდან 2-3 საათის შემდეგ, მერე ჰაერის ტემპერატურა კლებას იწყებს და მინიმუმს მზის ამოსვლამდე რამოდენიმე სწით ადრე

აღწევს. ნათქვამი კარგად დახტურდება ცხრილ 3.2.3-ის მონაცემებით, რომელიც მიღებულია პროფესორ გელიზბარაშვილის ხელმძღვანელობით ჩატარებულ საექსპედიციო სამუშაოების საფუძვლზე.



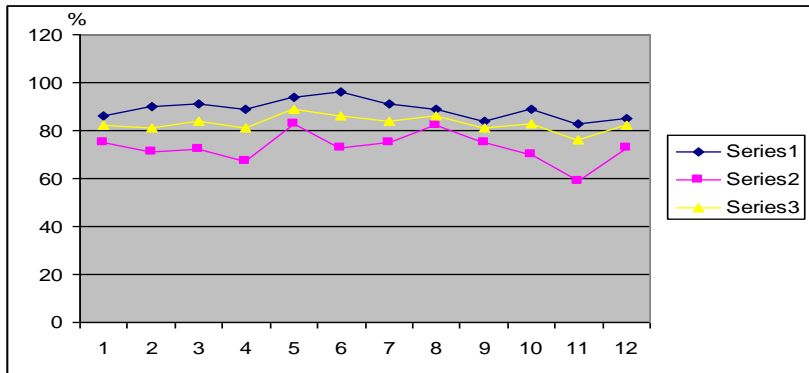
ნახ.3.2.1. ჰაერის ტემპერატურის წლიური სვლა შეკვეთილში 1974 წელს. 1-დამის 1სთ; 2-დღის 13სთ; 3-საშუალო დღედამური; 4-მაქსიმალური; 5-მინიმალური.

ცხრილი 3.2.3. ჰაერის ტემპერატურის დღე-დამური სვლა სიმაღლის მიხედვით ზღვის სანაპიროზე.<sup>0</sup> ურეკი, პანსიონატი „მეგობრობა“. აგვისტო. (ე.შ.ელიზბარაშვილი, ნ.შ.გონგლაძე, 1980; ს.ბლანჯიშვილი, ე.ელიზბარაშვილი, ნ.ქარცივაძე, 1982).

სიმაღლე	დაკვირვების ვადა, სთ.							
	1	4	6	10	13	16	19	22
0,5	20,2	19,6	20,7	22,6	24,2	24,2	23,2	21,0
1	20,2	20,8	19,7	22,8	23,5	24,3	23,1	21,6
2	20,2	19,3	19,4	22,2	23,4	23,5	22,6	20,6
4	-	-	20,6	22,1	22,1	23,3	23,0	-
8	-	-	61,4	21,8	23,0	23,3	22,2	-

ჰაერის შეფარდებითი სინოტივის მახასიათებლების წლიური სვლის შესახებ პლაზზე შეგვიძლია ვიმსჯელოთ ნახ. 3.2.2-დან, სადაც წარმოდგენილია კლიმატური გამოცდების კოლხეთის სამეცნიერო-კვლევითი ცენტრის მიერ 1976 წელს წარმოებული გაზომვების შედეგები შეკვეთილის პლაზზე. ნახ. დან ჩანს, რომ შეფარდებითი სინოტივის წლიური სვლა უმნიშვნელო ცვალება-

დობით ხასიათდება, თუმცა მაქსიმუმი აღინიშნება ზაფხულში, ხოლო მინიმუმი-ნოემბერში. სხვაობა დამის 1სთ. და დღის 13 სთ-ს მონაცემებს შორის საკმაოდ დიდია და მაქსიმუმს ზაფხულსა და გვიან შემოდგომაზე აღწევს.



ნახ. 3.2.2. პაერის შეფარდებითი სინოტივის წლიური სვლა შეკვეთილში 1976 წელს. 1-დამის 1 სთ; 2-დღის 13 სთ; 3-საშუალო დღელამური;

### 3.3. აგროკლიმატური რესურსები

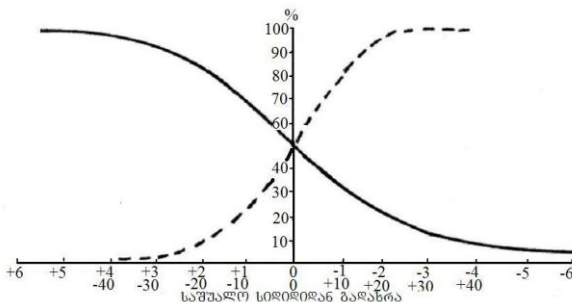
საქართველოს სოფლის მეურნეობის განვითარებაში, გურიის რეგიონს მნიშვნელოვანი წელილი შეაქვს. მის ტერიტორიაზე აწარმოებენ მარცვლეულს, ჩაის, ციტრუსებს, ვაზს, ტექნიკურ, მშრალ სუბტროპიკულ კულტურებს და სხვა.

რეგიონში თანამედროვე ფერმერული მეურნეობის რენტაბელობის მიზნით საჭიროა მეცნიერულად დასაბუთებული აგროკლიმატური რესურსების შეფასება, სადაც რაციონალურად იქნება განლაგებული სასოფლო-სამეურნეო კულტურები და სრულიად გამოვლინება მათი ზრდა-განვითარების და მაღალი მოსავლის პოტენციური შესაძლებლობანი.

სასოფლო-სამეურნეო კულტურების ოპტიმალურად განლაგებისათვის, სოფლის მეურნეობაში სხვა აგროკლიმატურ ფაქტორებთან ერთად აუცილებლია მზის ნათების ხანგრძლივობის გათვალისწინება, რადგან იგი ხელს უწყობს მცენარეებს ფიზოლოგიური პროცესების აქტიურობაში. დაკვირვებათა მონაცემების ანალიზი გვიჩვენებს, რომ წლის განმავლობაში მზის ნათების ხანგრძლივობა, რამდენადნე მეტია ბახმაროში, ხოლო თბილ (IV-X) პერიოდში ყველაზე მეტია სუფსაში (1412 სთ). ბახმაროში შედგენს 1391 სთ ანასეულში—1288 სთ. იგი ფერმერულ მეურნეობებში ხელს უწყობს შესაფერისი სასოფლო-სამეურნეო კულტურების

ზრდა-განვითარებას და გარანტირებული მოსავლის მიღებას. პარაგვა საშუალო ტემპერატურა ზამთრის თვეებში ტენიანი სუბტროპიკული რაიონებისათვის მერყეობს  $4,6-8,1^{\circ}$ -ის ფარგლებში. ცხადია, ბახმარო (ჩოხატაურის რ-ნი). როგორც მაღალმთიანი ზონა გამონაკლისია და საშუალო ტემპერატურა მერყეობს  $-2,7-5,2^{\circ}$  შორის. გაზაფხულის თვეებში ტემპერატურა მატულობს  $7,7^{\circ}$ -დან  $17,2^{\circ}$ -მდე, ხოლო ზაფხულის სეზონზე ტემპერატურის მაჩვენებლები საქმიანობისას მაღალია, განსაკუთრებით ივლის-აგვისტოში ( $21,7-23,1^{\circ}$ ), თუმცა რამდენიმე დაბალია აფხაზეთის ზღვის სანაპიროსთან შედარებით, მაგრამ სავაგეტაციო პერიოდის ტემპერატურული მაჩვენებლები სრულიად აგმაყოფილებს სას.-სამ. კულტურების ნორმალურად განვითარებას.

სასოფლო-სამეურნეო კულტურები (ჩაი, ციტრუსი, ვაზი, ტექნიკური ზეოვანი, ეთერზეოვანი და სხვა) ვებეტაციას იწყებენ დღე-დღამური პარაგვა საშუალო ტემპერატურის  $10^{\circ}$ -ის ზევით თარიღის დადგომიდან. იგი აგრეთვე დაკავშირებულია გაზაფხულზე ზოგიერთი კულტურების ჩითილების გადარგვასთან და აგროტექნიკური სამუშაოების დროულად და ხარისხიანად ჩატარებასთან. აღნიშნული ტემპერატურის თარიღის დადგომის განსაზღვრა შესაძლებელია ნახ.3.3.1. მრუდზე აღწერილი წესის მიხედვით, რომლისთვის საჭიროა მოცემულ რაიონში ტემპერატურის  $10^{\circ}$ -ის ზევით საშუალო თარიღის დადგომა, მაგალითად ლანჩხუთში დაიკვირვება-31/III, ოზურგეთში-3/IV, ჩოხატაურში-2/IV.



ნახ. 3.3.1. პარაგვა საშოლუტური მინიმალური ტემპერატურების ( $+6-7$ , წყვეტილი) და პარაგვა ტემპერატურის  $10^{\circ}$ -ზე ზევით თარიღის დადგომის ( $-40+40$ , უწყვეტი ხაზი) განმეორადობის მრუდები

სშირმა მაღალმა ( $38-40^{\circ}$  და მეტი) პარაგვა საშოლუტურმა მაქსიმალურმა ტემპერატურებმა ზოგჯერ შეიძლება შეაფერხოს

სას.-სამ. კულტურების ნორმალური განვითარება. ასეთ შემთხვევაში, მოსავლის შენარჩუნებისათვის სასურველია აგროტექნიკური ღონისძიებების გატარება (ნიადაგის გაფხვიერება, მორწყვა და სხვა). რეგიონში ტემპერატურებს აბსოლუტური მაქსიმუმი დაიკვირვება ივლის-აგვისტოში. აცანაში (ლანჩხუთი) აღნიშნულია  $41^{\circ}$ , ურეკში (ოზურგეთი)  $40^{\circ}$ , ბახმაროში  $31^{\circ}$ .

რეგიონში ცალკეულ წლებში, აგრეთვე შესაძლებელია ჰაერის აბსოლუტური მინიმალური ტემპერატურის შემცირება  $-10$ ,  $-12^{\circ}$  და უფრო მეტად, რაც კრიტიკულია- დამაზიანებელია ციტრუსებისათვის. ასეთი ტემპერატურები იწვევს მათი ფესვის ყელა-მდე გაყინვას, რომლის შედეგად, შესაძლებელია მოსავლის გადავადება  $4-5$  წლით. ამიტომ ნოემბერ-დეკემბერში უნდა ჩატარდეს აგროტექნიკით გათვალისწინებული, ყინვებისაგან დაცვითი ღონისძიებები (განსაკუთრებით ახალგაზრდა ნარგავების სამფენოვანი დოლბანდით ან უქსოვადი მასალით შეფუთვა, მიწის შემოყრა ფეხვის ყელთან შტაბზე  $30-35$ სმ სიმაღლეზე და სხვა).

მოგვავს (მაია მელაძე, 2009) სას.-სამ. კულტურების, განსაკუთრებით ციტრუსებისა და სხვა კულტურების კრიტიკული-დამაზიანებელი ჰაერის აბსოლუტური მინიმალური ტემპერატურების, ამა თუ იმ სიდიდით განმეორადობის მრუდი (ნახ.3.3.1.), რომლის მიხედვით შესაძლებელია განისაზღვროს აღნიშნული და სხვა კულტურების კრიტიკული-დამაზიანებელი ტემპერატურების განმეორება ყოველ  $10$  და მეტ წლიწადში. ამასთან დაკავშირებით უნდა გვქონდეს მონაცემები რეგიონის რაიონის მრავალწლიური აბსოლუტური მინიმუმების საშუალო ჰაერის ტემპერატურებზე. ასე, მაგალითად დაბლაციხეში (ჩოხატაურის რ-ნი)  $-5^{\circ}$ -ია, ანასეულში (ოზურგეთი)  $-6^{\circ}$ , ურეკში (ოზურგეთი)  $-4^{\circ}$ , აცანაში (ლანჩხუთი)  $-7^{\circ}$ , ლანჩხუთში  $-9^{\circ}$ . ნაშრომში (გ. მელაძე, 1971) მოცემული წესის შესაბამისად, მაგალითად, აცანისათვის (ლანჩხუთის რ-ნი) განვსაზღვრეთ ციტრუსის (მანდარინი) დამაზიანებელი  $-10^{\circ}$  ჰაერის ტემპერატურა. გამოირკვა, რომ აღნიშნული ტემპერატურა განმეორდება ათ-თეუთმეტ წლიწადში ერთხელ. ასევე შეიძლება ვისარგებლოთ მრუდით სხვა რაიონებისთვისაც.

სოფლის მეურნეობისათვის ამინდის არახელსაყრელი მოვლენებიდან მეტად საშიშია წაყინვები, რადგან იგი იწვევს დიდ კონდიციურ ზარალს. წაყინვები თავისი გამომწვევი მიზეზებით იყოფა 3-ტიპად: ადვექციურ, რადიაციულ და ადვექციურ-რადიაციულად. საქართველოს უმეტეს ტერიტორიაზე ხშირია ადვექციური ტიპის წაყინვები. გურიის რაიონებში, ასეთი ტიპის წაყინვების საშიშროება არ არის გამოიცხლი, რომელმაც განსაკუთრებით გაზაფხულზე შეიძლება გამოიწვიოს მცენარეთა ახალგაზრდა ფოთლების, ყვავილების დაზიანება. ამიტომ სოფლის მეურნეობის მუშა-

კებმა, ფერმერებმა უნდა გაითვალისწინონ წაყინვების საშიშროება და მის წინააღმდეგ ადგილმდებარების შესაბამისად გამოიყენონ მცენარეების დაცვის არსებული სხვადასხვა მეთოდები.

მოცემულ ტერიტორიაზე ტექპერატურულ მახასიათებლებთან ერთად უაღრესად მნიშვნელოვანია ატმოსფერული ნალექები სასოფლო-სამეურნეო კულტურების ზრდა-განვითარებისა და მოსავლის ფორმირებისათვის. რეგიონში ნალექების წლიური მსვლელობა, თითქმის ერთნაირია. ზამთრის თვეებიდან იგი მატულობს გაზაფხულამდე, ხოლო გაზაფხულიდან მკვეთრად მცირდება ზაფხულამდე. ამ უკანასკნელიდან კვლავ მატულობს და შემოდგრძის ბოლოს მაქსიმუმს აღწევს. რეგიონის ტერიტორიაზე ატმოსფერული ნალექების რაოდენობა ცივ პერიოდში შეადგენს 700-900 მმ-ს, ხოლო თბილ პერიოდში 840-1370 მმ-ს, რაც სრულიად დამაკმაყოფილებელია სას.-სამ. კულტურებისათვის. ნალექების მსვლელობიდან გამომდინარე, როგორც ზემოთ აღინიშნა გაზაფხულზე იგი მცირდება (150-60 მმ-მდე) თვეების მიხედვით. მაგრამ მიუხედავად ამისა არ წარმოადგენს განსაკუთრებულ საფრთხეს, ძირითადად მრავალწლიანი კულტურებისათვის. თუმცა ცალკეულ წლებში არ არის გამორიცხული ამ პერიოდში, ნალექების უფრო შემცირება, რომელმაც შეიძლება გამოიწვიოს ნიადაგში პროდუქტიული ტენის დეფიციტი, რაც უარყოფითად აისახება, განსაკუთრებით ციტრუსების ყვავილობაზე, ჩაის დუჟების ნორმალურად განვითარებაზე, მარცვლეული კულტურების ნიადაგში ჩათესვაზე და ა.შ. ამიტომ, ასეთ პირობებში საჭირო იქნება ნიადაგის წყლით უზრუნველყოფა (ნიადაგის გაფხვიერება, მორწყვა და სხვ).

განხილულ კლიმატურ მახასიათებლებთან ერთად სას.-სამ. კულტურებისათვის, განსაკუთრებით ჩაის, ციტრუსებისათვის და ტუნგისათვის დიდი მნიშვნელობა აქვს ჰაერის შეფარდებით ტენიანობას. იგი აუცილებელი კლიმატური ფაქტორია ჰაერის ტენიანობისადმი მომთხოვნი სუბტროპიკული კულტურებისათვის. 74-80% და მეტი ხელმეტყობია მითითებული კულტურების ფოტოსინთეზის მიმდინარეობისათვის. ჰაერის ასეთი ტენიანობის პირობებში ნორმალურად ხდება ჩაის ბუჩქების ზედაპირიდან მასიურად დუჟების წარმოქმნა, ზრდა და ადრეულად არ უხეშდება ჩაის ახალგაზრდა-ნაზი ფოთლები, ასევე ნორმალურად ვითარდება ციტრუსოვანი კულტურების ყვავილები და ნასკები. რეგიონის აგროკლიმატური რესურსების შეფასებისათვის, წარმოდგენილია აგროკლიმატური მახასიათებლები (ცხრ. 3.3.1.).

ცხრილში მოყვანილი მახასიათებლები დამახასიათებლებია ტენიანი სუბტროპიკული ზონისათვის, რომელიც ხელს უწყობს სუბტროპიკული და სხვა კულტურების წარმატებით განვითარებას,

გამონაკლისია, მხოლოდ მაღალმთიანი ზონა (ბახმარო) (მაია მელაძე, 2009).

**ცხრილი 3.3.1. ზოგიერთი აგროკლიმატური მახასიათებლები  
თბილ პერიოდში (IV-X)**

$\Sigma t > 10^0$	$\Sigma P$ (მმ-ში)	პაერის შეფარდებითი ტენისნობა (%-ში)	პაერის ტენისნობის დევიციტი (მმ-ში)	უცინვო პერიოდის დღეთა რიცხვი	პიდროვერ-მული კოეფიციენტი (პთკ)
ანასეული (ოზურგეთი)					
4150	1140	79	4.0	277	2.7
აცანა (ლანჩხუთი)					
4020	1130	80	5.0	272	2.8
დაბლაციხე (ჩოხატაური)					
4160	980	74	6.3	272	2.3
სუვსა (ლანჩხუთი)					
4060	1370	83	4.2	267	3.3
ურქვი (ოზურგეთი)					
4380	1180	80	4.6	288	2.7
ბახმარო (ჩოხატაური)					
1180	840	74	3.6	124	7.1

სას.-სამ. კულტერების განვითარებას და პროდუქტიულობას ძირითადად განსაზღვრავს სითბური რეჟიმი. მასზე მოთხოვნილების ნაკლებობისას დაბალია მოსავალი და მისი ხარისხი. ამასთან დაკავშირებით სასურველია ვიცოდეთ სავეგერაციო პერიოდში, როგორია  $10^0$ -ის ზევით აქტიურ ტემპერატურათა ჯამით უზრუნველყოფილი რეგიონის რაიონები. ამისათვის გამოვიყენეთ ნაშრომში (გ.მელაძე, 1971) მოცემული ტემპერატურის ჯამის უზრუნველყოფის ნომოგრამა და ოვითეული რაიონისათვის განვსაზღვრეთ სითბოს უზრუნველყოფა პროცენტებში (ცხრ. 3.3.2.).

ცხრილი გვიჩვენებს, რომ რეგიონის ტერიტორია რაიონების მიხედვით  $4000^0$  და მეტი პაერის ტემპერატურის ჯამებით ძირითადად უზრუნველყოფილია  $50\%$ -ით, ხოლო შედარებით მთიანი (ვაკე-ჯვარი) და მაღალმთიანისაკენ (ბახმარო) არ არის უზრუნველყოფილი. აღნიშვნული ტემპერატურა ( $4000^0$ ) აქმაყოფილებს რეგიონში ჩაის დუების ნორმალურ განვითარებას, ტუნგის, ფეიროს, აქტინიდის (კივი), ლიმონის და მანდარინის საადრეო ჯიშების ნაყოფების მომწიფებას, ხოლო ასეთი ტემპერატურით ( $4000^0$ ) 90 და მეტი პროცენტით ურევის (ოზურგეთი) და ლანჩხუთის რაიონების გარდა სხვა რაიონებში ნაყოფების მომწიფება ვერ იქნება უზრუნველყოფილი. რაც შეეხება ფორთოხლისა და გრეიფრუტის კულტურას, მათი ნაყოფების სრული სიმწიფე მოსალოდნელია მხოლოდ 2-3-ჯერ ყოველ ათ წელიწადში (ანასეულში, ლანჩხუთში, ურეკში).

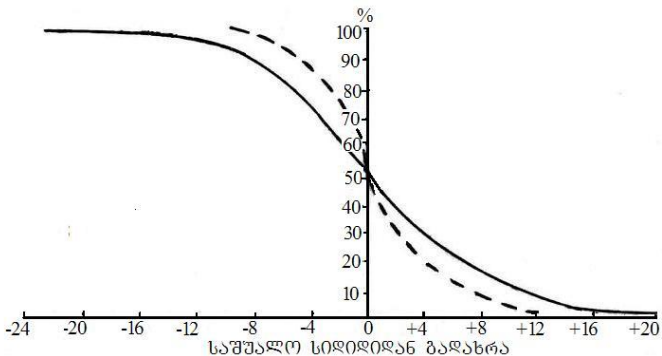
**ცხილი 3.3.2. პაერის ტემპერატურათა ჯამების  
უზრუნველყოფა 10<sup>0</sup>-ის ზევით**

პუნქტი, რაიონი	უზრუნველყოფა, %					
	10	30	50	70	90	95
ანასეული (ოზურგეთი)	4520	4300	4150	4030	3850	3770
აცანა (ლანჩხუთი)	4370	4150	4040	3880	3770	3650
გაკიჯგარი (ოზურგეთი)	4240	4040	3900	3770	3590	3550
ლანჩხუთი	4600	4380	4260	4130	3960	3880
დაბლაციხე (ჩოხატაური)	4530	4320	4160	4020	3860	3780
ურები (ოზურგეთი)	4660	4500	4380	4250	4080	3990
სუფსა (ლანჩხუთი)	4400	4190	4060	3930	3760	3690
ბახმარო (ჩოხატაური)	1520	1300	1180	1090	880	840

აგროქულტურების ზრდა-განვითარებისათვის ტემპერატურის ჯამთან ერთად დიდი როლი აქვს ატმოსფერულ ნალექებს, რომლის რაოდენობაზე და განაწილებაზე დამოკიდებულია ტენიო უზრუნველყოფა. თუმცა ნალექების განაწილება მცენარის განვითარების ამა თუ იმ ფაზაში არათანაბარია, რაც ზოგჯერ უარყოფითად მოქმედებს მათზე. ამასთან დაკავშირებით სავეგეტაციო პერიოდისათვის შევადგინეთ  $\geq 5$  მმ-ზე და  $\geq 20$  მმ-ზე მეტი ნალექიან დღეთა რიცხვის განმეორების მრუდები პროცენტებში (ნახ. 3.3.2.), რომელთა მიხედვითაც შეიძლება განისაზღვროს აღნიშნული ნალექიან დღეთა რიცხვის განმეორება ჩვენთვის საინტერესო მცენარის ფაზისათვის, ყოველ 10 და მეტ წელიწადში. განსაზღვრის წესი ნახ. 3.2.1-ის ანალოგიურია. ამასთან თბილ პერიოდში რიონების მიხედვით უნდა გვქონდეს მონაცემები 5 და 20 მმ-ზე მეტი ნალექიან დღეთა რიცხვების. ანასეული (ოზურგეთი) 6,1 და 2,2, დღეა (შესაბამისად), ლანჩხუთში 4,1 და 2,3 დღეა, ხოლო მაღალ-მთიანისაკენ (ბახმარო) 6,8 და 6,1 დღეა შესაბამისად.

ზაფხულის აქტიური ვეგეტაციის პერიოდში ზოგჯერ ატმოსფერული ნალექების რაოდენობამ (1000 მმ-ზე ნაკლები) და არათანაბარმა განაწილებამ, შეიძლება ვერ უზრუნველყოს ნიადაგში მცენარებისათვის საჭირო ტენის რაოდენობა, რომლის გარეშე გამორიცხულია მცენარეების ნორმალური განვითარება. ამიტომ მოსავლის შენარჩუნებისათვის, სასურველია ნიადაგის გაფხვი-

ერება (კულტივაცია) ან მორწყვა, სადაც ეს შესაძლებელია. ამასთან დაკავშირებით შეიძლება ვისარგებლოთ ნაშრომში მოცემული ნალექების ჯამის უზრუნველყოფის ნომოგრამით და განვსაზღვროთ გურიის რეგიონის ნებისმიერი რაიონისათვის ნალექების ჯამი სხვადასხვა რაოდენობით (მმ). მხოლოდ განსაზღვრისათვის საჭიროა თბილ პერიოდში ვიცოდეთ ნალექების ჯამი (ცხრილი 3.3.1.).



ნახ. 3.3.2.  $\geq 5$  მმ-ზე (უწყეტი წაზი) და  $\geq 20$  მმ-ზე მეტი (წყეტილი ხაზი) ნალექიან დღეთა რიცხვის უზრუნველყოფის მრადები

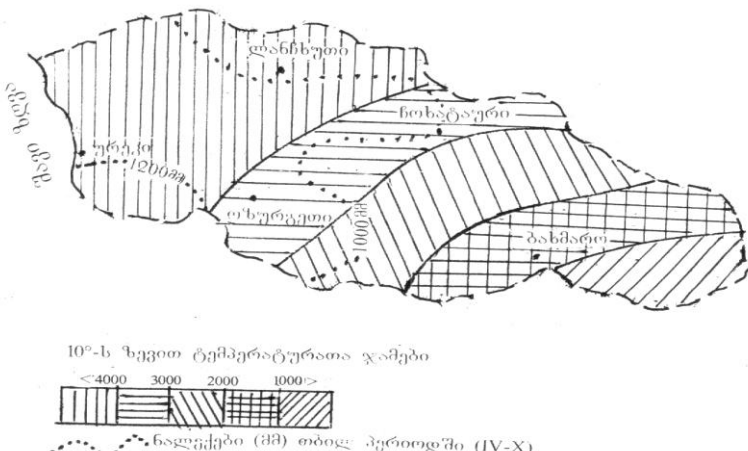
მოცემული რეგიონის ტერიტორიაზე განხილული აგროკლიმატური რესურსები, შეიძლება რაციონალურად იქნას გამოყენებული ჩაის, ციტრუსების, ეთერზეთოვანი ტექნიკური, ვაზის (შესაბამისი ჯიშები), მარცვლეული და სხვა კულტურების წარმატებით განვითარებისათვის.

რეგიონის ტერიტორიაზე პაერის ტემპერატურის  $10^{\circ}$ -ის ზევით და ატმოსფერული ნალექების გათვალისწინებით შედგენილია აგროკლიმატური ზუკა (ხას.3.3.), რომელზეც გამოყოფილია 5 აგროკლიმატური ზონა (გ. მელაძე, გ. მელაძე, 2009). ზონებში მოცემულია ატმოსფერული ნალექების (მმ) იზოპიეტთა ხაზები თბილი პერიოდისათვის, რომელიც გვიჩვენებს ამა თუ იმ ზონაში ნალექების რაოდენობას (მმ-ში).

პირველი ზონა მოიცავს ლანჩხუთის რაიონის ტერიტორიას შავი ზღვის სანაპიროს ჩათვლით და ნაწილობრივ ოზურგეთის რაიონის ტერიტორიას და ზღვის დონიდან მდებარეობს 200 მ სიმაღლეზე.

ზონაში  $10^{\circ}$ -ის ზევით პაერის ტემპერატურის ჯამი შეადგენს  $4000^{\circ}$ -ს და მეტს. წლიური ატმოსფერული ნალექების ჯამი  $2100-2200$  მმ-ია, თბილ პერიოდში  $1100-1400$  მმ-დება. მოცემულ ზონაში

ნორმალურად ვითადება ჩაი, ციტრუსები (მანდარინი, ლიმონი), ტუნგი, აქტინიდია (კიფი), თხილი, ვაზი (ცოლიკაური, ჩხავერი, იზაბელა, და ზოგიერთი ადგილობრივი ჯიში). რაც ზეებება ფორთოსალს და გრეიფრუტს, მათი ნაყოფების სრული სიმწიფე აქტიური ტემპერატურის ჯამის ნაკლებობის გამო, 2-3-ჯერ არის უზრუნველყოფილი ყოველ 10 წელიწადში. ზონა ხელსაყრელია, აგრეთვე მარცვლეულის, ხეხილოვანების და ბოსტნეულ-ბახჩეული კულტურების წარმოებისათვის.



### ნახ. 3.3.3. აგროკლიმატური ზონები

მეორე ზონა ზღვის დონიდან 200-1000 მეტრამდე მდებარეობს. იგი იწყება რეგიონის სამხრეთიდან და ვრცელდება ჩრდილო-აღმოსავლეთისაკენ, რომელიც მოიცავს ოზურგეთისა და ხოხატაურის რაიონების ტერიტორიას. აქტიურ ტემპერატურათა ჯამი 4000°-დან 3000°-მდე მცირდება. მრავალწლიური ატმოსფერული ნალექების ჯამი 1800-2100 მმ-ია, თბილ პერიოდში 1100 მმ. და ოდნავ მეტია. ამ ზონაში დამაკმაყოფილებელი აგროკლიმატური რესურსებია ჩრდილო-დასავლეთით ოზურგეთისა და ხოხატაურის ტერიტორიების მთისწინეთზე 250-300 მეტრ სიმაღლეში და. სადაც შესაძლებელია ციტრუსების (მანდარინი, ლიმონი) ნორმალური განვითარება, ხოლო უფრო მაღლა ვაზის, მარცვლეულის და სხვა კულტურების. აქ ჩაის წარმოება შეიძლება ზღვინიდან 500-600 მეტრამდე.

პირველ და მეორე ზონაში ლიმონის სრული გაყინვა დაცვის გარეშე მოსალოდნელია 2-3-ჯერ, მანდარინის ერთხელ ყო-

კელ 10-15 და მეტ წელიწადში. ამიტომ შემოდგომისას, განსაპულებით ახალგაზრდა მცენარეების შრამბზე 30-35 სტ-მდე უნდა შემოექაროს მშრალი მიწა. ასევე უნდა შეიფუთოს ახალგაზრდა ნარგავები სამფენოვანი დოლბანდით ან მისი შემცვლელი უქსოვადი მასალით და სხვა.

მესამე ზონა ზღვის დონიდან მდებარეობს 1000-1500 მეტრამდე. აქტიურ ტემპერატურათა ჯამი 3000<sup>0</sup>-დან 2000<sup>0</sup>-მდეა. ნალექების, მრავალწლიური ჯამი 1700 მმ-ზე ოდნავ მეტია, თბილ პერიოდში 800-900 მმ-ია. მოცემულ ზონაში შეიძლება ვაზის (საშუალი და საადრეო ჯიშები), ხეხილოვანების წარმოება, მეცხოველეობის საპები ძირხენების (კუჭზიკუ, ვიკო), სათიბის და საძოვრების განვითარება.

მეოთხე ზონა ზღვის დონიდან მდებარეობს 1500-დან 2000-მეტრამდე. აქტიური ტემპერატურის ჯამი 2000<sup>0</sup>-დან 1000<sup>0</sup>-მდეა, რომელიც არ იძლევა მრავალწლიური სითბოს მოყვარული კულტურების ნორმალური ზრდა-განვითარების საშუალებას. მაგრამ იგი დამატებული დოლებით მარცვლეული, პარკოსანი, ხილ-კენკროვანი, ბოსტნეული კულტურების წარმოებისათვის, აგრეთვე მეცხოველეობის საკეთი ძირხენოვანი (კუჭზიკუ, ვიკო), სათიბი და საძოვრებისათვის. ნალექების მრავალწლიური ჯამი 1600 მმ და ცოტა მეტია, თბილ პერიოდში 700 მმ-ია.

მეხუთე ზონაში საგრძნობლად შემცირებულია აქტიურ ტემპერატურათა ჯამი (1000<sup>0</sup> და ნაკლებია). იგი ზღვის დონიდან 2000-2200 მეტრამდეა. ნალექების მრავალწლიური ჯამი 1500 მმ-მდეა, ხოლო თბილ პერიოდში 600 მმ-მდე.

მოცემულ ზონაში შესაძლებელია ზოგიერთი ბოსტნეული კულტურების წარმოება (უცხო სუნელი, ცერეცო, ნიახური, ოხრა-ხუში, თვის ბოლოვი), მეცხოველეობის საკეთი ძირხენოვანი, სათიბი და საძოვრების განვითარება. სასურველია, რომ სოფლის მეურნეობის მუშაკებმა და ფერმერებმა უფაქტურად გამოიყენონ ჩვენს მიერ გაანალიზებული და შეფასებული რეგიონის აგროკლიონმატური რესურსები სოფლის მეურნეობის წარმოების განვითარებისათვის. ასევე სასურველია ისარგებლონ აგრომეტეოროლოგიური პროგნოზების მეთოდებით, როგორიცაა მარცვლეულის-სიმინდის მოსავლის, ჩაის ფოთლის პირველი კრეფის ვადების დაწყების და სხვა.

უნდა აღინიშნოს, რომ რეგიონში გაზაფხულზე ამინდის პირბების გამო ჩაის ფოთლის პირველი კრეფის ვადები არსებითად იცვლება. ამიტომ მეჩაიეობის დარგის სპეციალისტებს, ფერმერებს და სოფლის მეურნეობის ოპერატორებით მომსახურების ორგანიზაციებს, თუ წინასწარ (50 და მეტი დღით ადრე) ეცოდინებათ ჩაის ფოთლის პირველი კრეფის დაწყების თარიღი,

ორგანიზებულად და დროულად შეძლებენ აიღონ ხარისხიანი ჩაის ფოთლის პირველი მოსავალი.

მოგვყავს რაიონების აგროკლიმატური რესურსების გათვალისწინებით ჩაის ფოთლის პირველი კრეფის თარიღის განსაზღვრის საპროგნოზო განტოლებები:

$n=-0,71 \cdot n_1 + 51$  (ოზურგეთის რ-ნი),  $n=-0,46 \cdot n_1 + 44$  (ლანჩხუთის რ-ნი). განტოლებებში  $n$ -საპროგნოზო თარიღია (ანუ დღეთა რიცხვი ჩაის კვირტების გაშლიდან ფოთლების პირველ კრეფამდე),  $n_1$ -დღეთა რიცხვი 1-მარტიდან ჩაის კვირტების გაშლის თარიღამდე. მოგვყავს მაგალითი, დაგუშვათ ოზურგეთის რაიონში ჩაის კვირტების გაშლა, შპალერულად გასხლულ პლანტაციებზე (10-20%-ის რაოდენობით) განისაზღვრა 20-მარტს ( $n_1$ ). ეს თარიღი ჩაისმება განტოლებაში, სადაც მიიღება დღეთა რიცხვი-37, რომელსაც გადავთვლით 20-მარტიდან (კვირტების გასხის თარიღიდან) და ჩაის კრეფის დაწყების პიველი საპროგნოზო თარიღი იქნება 26/IV. ჩაის კვირტების გაშლა, თუ აღინიშნა გვიან-20 აპრილს, მაშინ 1-მარტიდან 20 აპრილამდე (შე) დღეთა რიცხვი იქნება -15, რომელსაც გადავთვლით ზემოაღნიშნულის ანალოგიურად და პირველი კრეფის თარიღი იქნება-5-მაისი. ასევე განისაზღვრება ჩაის პირველი კრეფის თარიღი ლანჩხუთის რაიონისთვისაც. პროგნოზის ცომილება დასაშვებია  $\pm 6$  დღე, ხოლო მისი წინასწარმეტყველება 50 და მეტი დღეა.

რეგიონში სამარცვლე სიმინდის მოსავალის აგრომეტეოროლოგიური პროგნოზის შედგენისათვის მოგვყავს განტოლება –  $U=0,08x+0,02y+6,1$ , სადაც  $U$ -საპროგნოზო მოსავალია,  $x$ -მცენარების საშუალო სიმაღლე (სმ-ში) საგველას ფაზაში,  $y$ -მცენარების სიხშირე 100  $\text{მ}^2\text{-ზე}$ , იგივე ფაზაში. გვეცოდინება რა სათანადო სიდიდეები (პრედიქტორები), ჩავსვათ განტოლებაში და მივიღებთ საპროგნოზო მოსავალს (ტპ). საჰქეტრო მოსავალი გამრავლდება მოცემული წლის სიმინდის ნაოგესის ფართობზე და გავიგებთ საპროგნოზო საერთო მოსავალს. პროგნოზის წინასწარმეტყველება 2-2,5 თვეა.

### 3.4. პელიოდურგეტიკული რესურსები

მზის სხივური ენერგიის სათბობ-ენერგეტიკულ ბალანსში ჩართვის აუცილებლობის საკითხი განსაკუთრებით აქტუალური გახდა XX-საუკუნის მეორე ნახევარში, როდესაც ნათლად გამოიკვეთა პერმანენტული გაძვირების ტენდენციების მქონე ორგანული სახის სათბობის (ნავთობი, გაზი, ქვანახშირი) და ატმოსფეროს ანთროპოგნერი გენეზის აეროზოლებით გაჭუჭვიანების საგანგაშო სიმპტომები. აქედან გამომდინარე, დღის წესრიგში დგას ენერგიის არატრადიციული წყაროების (მზის ენერგია, გეოთერმალური ენერგია, ქარის ენერგია, ზღვის მოქცევის ენერგია, ბიოგაზული ენე-

რგია და სხვა) პოტენციალური მარაგის შეფასება, მათი ეკონომიკური ეფექტურობის დადგენა და საკელევ ტერიტორიაზე ენერგო-ობიექტების რაციონალურად განლაგების რეალმენდაციების შემუშავება. ენერგიის ალტერნატიული ეკოლოგიურად სუფთა წყაროების ათვისება და მათი პრაქტიკული გამოყენება (სათბობ-ენერგეტიკულ ბალანსში ჩართვა) იძლევა გარემოს დამაბინძურებელი ორგანული სათბობის მნიშვნელოვანი მოცულობის დაზოგვის საშუალებას და მის გადართვას ორგანული სინთეზის სფეროში (პლასტმასების, ქსოვილების, კვების პროდუქტების წარმოება და სხვა).

ტერიტორიის პელიოდენერგეტიკული რესურსების პოტენციალის შესაფასებლად აუცილებელია მზის სხიფური ენერგიის კადასტრის შედგენა სათანადო აქტინომეტრული და მეტეოროლოგიური დაკვირვებების მრავალწლიანი ინფორმაციის (მზის პირდაპირი და ჯამური რადიაცია, მზის ნათების ხანგრძლივობა, ღრუბლიანობა, ჰაერის ტემპერატურა) ანალიზის საფუძველზე. აღსანიშნავია, რომ მზის ენერგიის კადასტრმა დამუშავებისა და სრულყოფის პროცესში განვლო სამი ეტაპი: პირველ ეტაპზე მზის კადასტრის დასახასიათებლად გამოიყენება მზის რადიაციაზე და ნათების ხანგრძლივობაზე არსებული ინფორმაცია, მეორე ეტაპზე აგრეთვე გაანალიზებული იქნა მზის რადიაციის ინტენსივობის, ჯამების და მზის ნათების ხანგრძლივობის ღრუბლიანობის რეჟიმზე დამოკიდებულების თავისებურებები. პარალელურად შეფასდა სხვადასხვა ტიპის პელიოდანადგარების უფასებურობა მათ მიერ გამომუშავებული ენერგიის მიხედვით. მესამე ეტაპზე (წინა ორ ეტაპზე გამოთვლილ ინფორმაციასთან ერთად) მხედველობაში იქნა მიღებული მზის რადიაციისათვის დამახასიათებელი დეტერმინირებული-სტრქასტური ბუნება, რომელიც განპირობებულია დედამიწის ბრუნვით მზის და თავისი ღერძის გარშემო (დეტერმინირებული პროცესი) და ღრუბლიანობის რეჟიმის და ატმოსფეროს გაჭუჭიანების შემთხვევით ცვლილებით (სტრქასტური პროცესი). (Цუკირიძე ი.ა. 1963; მელია გ.თ. 1959; სვანიძე გ.გ., გაგუა პ.პ., სუხишვილი ე.ვ. 1987) ჩატარებულია მზის რადიაციის კადასტრის დამუშავება კადასტრის დამუშავების სამივე ეტაპის მოთხოვნილების გათვალისწინებით. მეტეოროლოგიური და აქტინომეტრული მრავალწლიური ინფორმაციის ანალიზის სტატისტიკური და ალბათობის, მეთოდების ფართო გამოყენებით, რის შედეგად საქართველოს ტერიტორიისათვის დადგენილი იქნა პელიოდენერგეტიკული რესურსების განაწილების კანონზომიერებები. იმ ხუთი პელიოდენერგეტიკული ზონიდან, რომლებიც გამოყოფილია პელიოდენერგეტიკული რესურსების განაწილების სქემატურ რუაზზე გურიის ტერიტორია აღმოჩნდა მეორე და მეხუთე ზონაში. მეორე ზონა მოიცავს გურიის დაბლობ ზღვისპირა ტერიტორიას სადაც

პორიზონტალურ ზედაპირზე პირდაპირი რადიაციის თვიური (I, VII) ჯამები  $\Sigma_{\text{თ}}S$ (I),  $\Sigma_{\text{თ}}S$ (VII) მერყეობენ შესაბამისად  $80-100 \text{ მჯ/მ}^2$ -დან (I)  $300-35$ -(VII)  $\text{მჯ/მ}^2$ -ის, სეზონური (V-IX) ჯამების  $\Sigma_{\text{ს}}S'$   $1600-1700$ -ის, წლიური ჯამები  $\Sigma_{\text{წ}}S'$ - $2600-27000 \text{ მჯ/მ}^2$ -ის საზღვრებში. ამავე ზონაში ჯამური რადიაციის თვიური ჯამები  $\Sigma_{\text{თ}}Q$ (I) და  $\Sigma_{\text{თ}}S$ (VII) მერყეობენ  $160-170$ (I) და  $550-600$ (VII)  $\text{მჯ/მ}^2$ -ის, წლიური ჯამები  $\Sigma_{\text{წ}}Q$  კი  $4500-4800 \text{ მჯ/მ}^2$ -ის ფარგლებში. მზის ნათების ხანგრძლივობა თვეში მერყეობს  $90-100$ (I) და  $200-250$  (VII), წელიწადში  $1900-2100$  საათის საზღვრებში.

პელიოდანადგარების მუშაობის ხანგრძლივობა შეადგენს ზაფხულში  $550-650$ , წელიწადში  $1700-1800$  საათს, მოცდენების ხანგრძლივობა კი შესაბამისად  $1600-1650$  (VI-VIII) და  $6000-7000$  საათს (წელიწადში).

საერთო ღრუბლიანობის რაოდგნობა მერყეობს იანვარში  $7,0-7,5$ , ივნისში  $6,0-6,5$  ბალის საზღვრებში. საერთო ღრუბლიანობით მოწმენდილ დღეთა რიცხვი წელიწადში მერყეობს  $40-50$ -ის საზღვრებში. ამ ზონისათვის არსებული კადასტრის მაჩვენებლები უზრუნველყოფენ პელიოდანადგარების ცალკეული ტიპების რენტაბელურ ექსპლუატაციას.

მესუთე ზონა მოიცავს გურიის წინამთის რაიონს მესხეთის ქედის ჩრდილო-დასავლეთის და დასავლეთის ორიენტაციის ფერდობების ჩათვლით, რომლებიც მიმართულია კოლხეთის დაბლობისა და შავი ზღვისკენ. ამ ზონაში განლაგებულია აქტინომეტრიული სადგური ანასეული. აქ პორიზონტალურ ზედაპირზე მზის პირდაპირი რადიაციის თვიური ჯამები  $\Sigma_{\text{თ}}S$  მერყეობენ  $70-80$ (I) და  $250-300$ (VII) სეზონური ჯამები  $\Sigma_{\text{წ}}S'$   $-1400-1500$ (V-IX)  $\text{მჯ/მ}^2$ -ის ფარგლებში, წლიურის ჯამები  $\Sigma_{\text{წ}}S'$  შეადგენს  $2500 \text{ მჯ/მ}^2$ -ს. ჯამური რადიაციის თვიური ჯამები  $\Sigma_{\text{თ}}Q$  მერყეობენ  $165-180$ (I) და  $550-610$ (VII)  $\text{მჯ/მ}^2$ -ის საზღვრებში წლიური ჯამების სიდიდე ტოლია  $\Sigma_{\text{წ}}Q$   $4260 \text{ მჯ/მ}^2$ -ისა. მზის ნათების ხანგრძლივობა თვეში მერყეობს  $80-90$ (I) და  $170-180$ (VII), სეზონური ჯამების  $950-1050$ (V-IX), წლიური ჯამების  $1800-1900$  საათის ფარგლებში. პელიოდანადგარების შუშაობის ხანგრძლივობა მერყეობს ზაფხულში  $450-500$ , წელიწადში  $1500-1600$  საათის ფარგლებში. პელიოდანადგარების მოცდენის ხანგრძლივობა მერყეობს ზაფხულში  $1650-1750$ , წელიწადში  $7000-7200$  საათის ფარგლებში. ღრუბლიანობა მერყეობს იანვარში  $7,0-7,5$ , ივნისში  $7,5-8,0$  ბალის საზღვრებში. საერთო ღრუბლიანობით მოწმენდილ დღეთა რიცხვი მერყეობს  $35-40$ -ის საზღვრებში. ამ ზონაში არსებობს ხელშემწყობი პირობები მცირე სიმძლავრის პელიოდისტებების რენტაბელური მუშაობისათვის. საშუალო და დიდი სიმძლავრის პელიოდისტებების გამოყენება აქ მიზანშეუწოდია. ამ ზონაში ადგილის აბსოლუტური სიმაღლის მატებისას

ადგილი აქვს მზის პირდაპირი და ჯამური რადიაციის ჯამების ზრდას. სადგურ ბახმაროში (H=1926გ) მზის პირდაპირი რადიაციის თვიური ჯამები  $\Sigma_{\text{თ}}S'$  შეადგენს 105(I) და 315(VII) მჯ/მ<sup>2</sup>-ს, სეზონური ჯამები  $\Sigma_{\text{ს}}S'$  შეადგენს 1655 მჯ/მ<sup>2</sup>(V-IX), წლიური ჯამები  $\Sigma_{\text{წ}}S'$  ტოლია 2850 მჯ/მ<sup>2</sup>-ისა. ჯამური რადიაციის თვიური ჯამები  $\Sigma_{\text{თ}}Q_{\text{დ}}$  230(I) და 700(VII) მჯ/მ<sup>2</sup>-ისა. სეზონური ჯამი  $\Sigma_{\text{ს}}Q_{\text{დ}}$  შეადგენს 3270 მჯ/მ<sup>2</sup>-ს, წლიური ჯამი  $\Sigma_{\text{წ}}Q_{\text{დ}}$  5710 მჯ/მ<sup>2</sup>-ს. სადგურ ბახმაროსათვის მონაცემები მიღებულია ა.კოტარიას (Kotaria A.Φ., 1985) ფორმულით გამოთვლების შედეგად. ჩვენი გამოთვლების თანახმად, რომლებშიც გამოყენებული იქნა შესაბამისი განედისათვის დადგენილი  $\Sigma_{\text{თ}}Q_0$ -ს სიდიდები მოწმენდილი ცის შემთხვევაში და ღრუბლიანობის კოეფიციენტის K ადგილის აბსოლუტურ სიმაღლეზე დამოკიდებულება, ჯამური რადიაციის თვიური ჯამები  $\Sigma_{\text{თ}}Q_{\text{დ}}$  ტოლია 226(I) და 695(VII) მჯ/მ<sup>2</sup>-ს, წლიური ჯამი  $\Sigma_{\text{წ}}Q_{\text{დ}} - 5750$  მჯ/მ<sup>2</sup>-ს. როგორც ჩანს, განსხვავება ამ ორი მეთოდით გამოთვლილ ჯამებს შორის უმნიშვნელოა. სადგურ ბახმაროში, მზის ნათების სანგრძლივობა შეადგენს თვეში 100(I) და 204(VII), სეზონში (V-IX) 1030, წელიწადში 1950 სათვ. საერთო ღრუბლიანობის რაოდენობა თვეში ტოლია 6,7(I) და 6,2(VII) ბალისა, წელიწადში კი საშუალოდ 6,0 ბალისა. სადგურ ბახმაროს მონაცემების თანახმად, რომლებიც ახასიათებენ გურიის ტერიტორიის მაღალმთიანი ნაწილის ჰელიოენერგეტიკულ პოტენციალს, აქ არსებობს ყველა სისტემის ჰელიოდანადგარების ექსპლოატაციისათვის საჭირო პირობები.

### 3.5. ქარის ენერგეტიკული რესურსები

ქარის ენერგია წარმოადგენს ეკოლოგიურად სუფთა, ალდეგნადი და ამოუწურავი ენერგიის სახეობას. მას მზის ენერგიის რესურსებთან ერთად შეუძლია მნიშვნელოვანი როლი ითამაშოს საქართველოს სათბობ ენერგეტიკულ ბალანსში. განსაკუთრებით საინტერესოა ენერგიის ამ სახეობების კომბინირებული გამოყენება, რაც გამორიცხავს ქარის და ჰელიოდანადგარების ექსპლოატაციის პროცესში მათ მიერ გამომუშავებული ენერგიის მოხმარებაში წევეტილობას. საქართველოს და კერძოდ გურიის პირობებში ქარის ენერგიის პრაქტიკული გამოყენების რენტაბელობის დასადგენად გათვალისწინებული უნდა იქნეს ქარის რეჟიმისათვის დამახასიათებელი დეტერმინირებული—სტრქასტური ცვალებადობის კანონზომიერებები. გურიის პირობებში ქარის ენერგია შეიძლება წარმატებით გამოყენებული იქნეს როგორც დაბლობ, ასევე განსაკუთრებით მთან რაიონებში, სადაც არ არსებობს ცენტრალუზებული ენერგომომარაგება, აღინიშნება ქარის სიჩქარეებს და სანგრძლივობის საქმაო ან მაღალი მაჩვენებლები და სათბობებები (ენერგიაზე) მოთხოვნილებების შედარებით მცირე მასშტაბები.

მთაგორიან რაიონებში ეს პრობლემა შესაძლოა წარმატებით გადაიჭრას სხვადასხვა მოდიფიკაციის ქარის ენერგო დანაღვარების ფართო დანერგვით. აღსანიშნავია, რომ (ე. სუხიშვილი 1987) ქარის რესურსების კადასტრული შესწავლის და შეფასების მეთოდურ საფუძვლებზე დაყრდნობით, რომლებიც მოცემულია გ. გრინევიჩის (Гриневич Г.А., 1963, 1966) და სხვა ავტორების შრომებში, ქარის ენერგიის რეჟიმული მახასიათებლების ცვლილებები განხილულია დეტერმინირებულ-სტრასტური ბუნების ფაქტორებზე დამოკიდებულებით. ქარის ენერგიის კადასტრების ეს მეთოდი აღმართობის თეორიაზე დაყრდნობით საშუალებას იძლევა განისაზღვროს ენერგოდანადგარების შესაძლო უკუგების რეჟიმული მახასიათებლები, რასაც დიდი არაქტიკული მნიშვნელობა აქვს ვინაიდან ქარის ენერგოდანადგარები მუშაობებ უმართავ ბუნებრივ რეჟიმში. გურიის ტერიტორიის ქარის ენერგიის კადასტრის დამუშავებისას გამოყენებული იქნა გრძელვადიანი დაკვირვებების რიგების მქონე პუნქტებისათვის ქარის სიჩქარეზე, ხანგრძლივობაზე და მიმართულებაზე არსებული ინფორმაცია, რის შედეგად შეფასდა ეს მახასიათებლები, აგრეთვე დროის მონაკვეთში ქარის ენერგოდანადგარების მუშაობის და მოცდებების (არააქტიკური სიჩქარეების) შესაძლო ჯამური ხანგრძლივობის სიდიდეები. კადასტრის კომპლექსური მახასიათებლების ანალიზის საფუძველზე შესაძლოა ტერიტორიის სქემატური დარაიონება ქარის ენერგეტიკული რესურსების პოტენციალის მიხედვით (ე. სუხიშვილი, 1987).

ქარის საშუალო სიჩქარე წარმოადგენს იმ მნიშვნელოვან ერთ-ერთ პარამეტრს, რომელიც აუცილებელია ქარის ენერგეტიკული რესურსების პრაქტიკული გამოყენების პერსპექტიკულობის შეფასების თვალსაზრისით. ცხრილ 3.5.1.-ში მოცემულია ქარის საშუალოთვიური და წლიური მნიშვნელობები გურიის რამდენიმე პუნქტისათვის.

ქარის საშუალო წლიური სიჩქარის სიდიდე გურიის დაბლობ ტერიტორიაზე მერყეობს 0,7 (აცანა) -3,5 მ/წმ (ურეკი) ფარგლებში. სადგურ ბახმაროში ის შეადგენს 1,7 მ/წმ. გურიის ტერიტორიის დაბლობ ნაწილში მაქსიმალური საშუალოთვიური სიჩქარე აღინიშნება იანვარ-მარტში, მინიმალური—ივნის-ოქტომბერში. ანალოგიურ მოვლენას ადგილი აქვს მესხეთის განედური მიმართულების ქედზე, აქ ქარის სიჩქარის მაქსიმუმი აღინიშნება წლიურიდის ცივ პერიოდში აღმოსავლეთის მიმართულების ქარების შემთხვევაში, მინიმუმი—ზაფხულის თვეებში, როდესაც გაბატონებულია დასავლეთის მიმართულების ქარები. მთიან კურორტ ბახმაროზე ( $H=1926\text{მ}$ ) ქარის საშუალოთვიური სიჩქარის მაქსიმუმი აღწევს 2,4 მ/წმ (I), მინიმუმი კი შეადგენს 1,0 მ/წმ (IX).

ცხრილი 3.5.1. ქარის სიჩქარის საშუალოთვიური და წლიური სიდიდეები მ/წ.

თვე													წელი
I	II	III	IV	V	VI	VII	VIII	IX	X	XI	XII		
ლანგელები													
2.5	3.1	2.7	2.3	1.9	1.6	1.3	1.2	1.4	1.7	1.8	2.1	2.0	
სულსა													
3.1	3.3	3.0	2.4	1.8	1.5	1.2	1.0	1.0	1.8	3.0	3.0	2.2	
აცანა													
0.8	0.8	0.8	0.8	0.8	0.7	0.7	0.6	0.5	0.6	0.6	0.6	0.7	
გაბლა ციხე													
4.1	4.1	4.0	3.4	2.7	2.2	2.0	2.2	2.5	3.5	4.1	4.1	3.2	
ურეკი													
3.6	4.3	4.3	3.5	3.2	3.2	3.4	3.1	3.1	3.1	3.8	3.2	3.5	
დიდი ვანი													
2.3	2.4	2.4	1.9	1.4	1.2	1.0	1.0	1.2	1.8	2.0	2.1	1.7	
შრომა													
2.8	3.0	2.7	2.4	2.1	1.8	1.9	1.8	1.9	2.4	2.5	2.5	2.3	
გატიჯვარი													
1.9	2.0	1.9	1.6	1.3	1.3	1.3	1.2	1.2	1.9	2.0	2.0	1.6	
ანასეული													
1.6	2.0	1.8	1.6	1.3	1.2	1.0	1.6	0.9	1.1	1.1	1.5	1.4	
ბახმარო													
2.4	2.3	2.1	1.8	1.5	1.2	0.8	0.8	1.0	1.4	1.6	2.3	1.7	

ქარის სიჩქარის საშუალო სიდიდეების ცოდნა წარმოადგენს აუცილებელ, მაგრამ არასაკმარის პირობას ქარის პოტენციალური ენერგორესურსების შეფასების თვალსაზრისით. გარდა ამისა, ქარის ენერგეტიკული კადასტრის მნიშვნელოვანი შემადგენელი ნაწილია ქარის აქტიური და არააქტიური სიჩქარეების სიდიდის, ხანგრძლივობისა და განმეორადობის ალბათობა.

ქარის სხვადასხვა სიჩქარეების განმეორადობა (%) წელიწადში და სეზონების მიხედვით მოცემულია ცხრილ 3.5.2.-ში.

ეს მონაცემები აუცილებელია ქარის ენერგეტიკული დანადგარების ორი მოდიფიკაციისათვის (დანადგარები ნელი და სწრაფი სვლით), რომლებისათვის ქარის სამუშაო სიჩქარის ქვედა საზღვრად მიღებულია შესაბამისად 3-3,5 მ/წ და 4,5-5 მ/წ, გურიის ტერიტორიის დაბლობ ნაწილში ქარის სამუშაო სეზონური სიჩქარეების  $V \geq 3\delta / \delta$  განმეორადობა შეადგენს: ურეკში 55-58%, ლანჩეულში 29-48%, ხოლო ქარის საშუალო სეზონური სიჩქარეების  $V \geq 5\delta / \delta$  განმეორადობა კი-შესაბამისად ურეკში 19-28%, ლანჩეულში 12-28%. ქარის ენერგოდანადგარების სამუშაო სიჩქარეების ( $V \geq 3\delta / \delta$ ) საერთო ხანგრძლივობა t (საათი); აგრეთვე საერთო ხანგ-

რძლივობის განმეორადობა P(%) სეზონების მიხედვით წელიწადში საერთო ხანგრძლივობაზე დამოკიდებულებით მოცემულია ცხრილ 3.5.3.-ში.

ცხრილი 3.5.2. ქარის აქტიური ( $V \geq 3\text{d}^{-1}$ ,  $V \geq 5\text{d}^{-1}$ ) და არააქტიური ( $V=0\cdots 2\text{d}^{-1}$ ) სიჩქარეების გამეორადობა (%) წელიწადში და სეზონების მიხედვით (ე. სუხიშვილი, 1987)

სადგური	ქარის სიჩქარე, მ/წმ				
	0–2	$\geq 3$	$\geq 5$	$\geq 8$	$\geq 10$
ურები	44	56	27	6	4
ლანჩხუთი	62	38	20	7	4

სეზონი	ზამთარი	გაზაფხული	ზაფხული	შემოდგომა
$V, \text{მ/წმ}$	$\geq 3$	$\geq 5$	$\geq 5$	$\geq 3$
ურები	57	24	58	28
ლანჩხუთი	45	28	48	25

ცხრილი 3.5.3. t (საათი) და P(%) სადგურებში ურები და ლანჩხუთი (ე. სუხიშვილი, 1987)

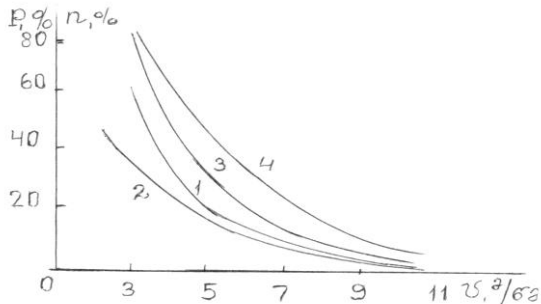
სადგური	ქარის სიჩქარე $V \text{ მ/წმ}$							
	$\geq 3$	$\geq 4$	$\geq 5$	$\geq 6$	$\geq 7$	$\geq 8$	$\geq 9$	$\geq 10$
ზამთარი t (საათი)								
ურები	1277	675	429	256	198	124	99	76
ლანჩხუთი	945	605	555	392	359	152	237	162
გაზაფხული								
ურები	1380	788	531	314	225	135	106	75
ლანჩხუთი	1030	558	491	304	286	161	155	97
ზაფხული								
ურები	1322	644	380	185	115	67	46	26
ლანჩხუთი	566	209	183	72	63	31	29	13
შემოდგომა								
ურები	1244	596	362	184	140	96	74	6232
ლანჩხუთი	499	252	220	127	115	62	55	
$P(%)$								

ზამთარი	გაზაფხული	ზაფხული	შემოდგომა	წელიწადი
	ურები			
24	27	25	24	100
	ლანჩხუთი			
31	34	19	16	100

ქარის საშუალო სიჩქარეების საერთო ხანგრძლივობა წელიწადში 3-6 მ/წმ სიჩქარეებისათვის მაქსიმალურია ურები, 7-10 მ/წმ სიჩქარეებისათვის კი ლანჩხუთში ქარის სიჩქარის ზრდასთან ერთად 3-10 მ/წმ-ის ფარგლებში სამუშაო სიჩქარეების საერთო

სანგრძლივობა წელიწადში ურეკში მცირდება 5223 საათიდან 239 საათამდე, ლანჩხუთში კი 3040 საათიდან 304 საათამდე. რაც შეუხება ქარის არააქტიური სიჩქარეების ( $V=0\cdots 28/\text{წმ}$ ) სანგრძლივობას წელიწადში, იგი შეადგენს ურეკში 3537, ლანჩხუთში 5420 საათს. ქარის აქტიური სიჩქარეების ( $V \geq 30/\text{წმ}$ ) საერთო სანგრძლივობა წელიწადში ურეკში აღწევს 12241 საათს, ლანჩხუთში კი 9123 საათს. ამრიგად, სადგურ ურეკში ქარის უნერგეტიკული დანადგარების მუშაობისათვიდ არსებობს გაცილებით უკეთესი პირობები ლანჩხუთთან შედარებით.

ნახ. 3.5.1.-ზე წარმოდგენილია წელიწადში ქარის საშუალო სიჩქარეების სანგრძლივობის განმეორადობის  $P$  (%) წელიწადში საათების საერთო რაოდენობასთან შეფარდების ( $n$ ) დამოკიდებულება ქარის სამუშაო სიჩქარის სიდიდეზე ( $V/\text{წმ}$ ) ურეკისა და ლანჩხუთისათვის (მრუდები 1,2). აქვე წარმოდგენილია ქარის სხვადასხვა სიჩქარის სანგრძლივობის განმეორადობა  $P$  (%) სამუშაო სიჩქარეების საერთო სანგრძლივობაზე დამოკიდებულებით ამავე პუნქტებისათვის (მრუდები 3,4).



ნახ. 3.5.1. ქარის საშუალო სიჩქარეების სანგრძლივობის განმეორადობის  $P$  (%) წელიწადში საათების საერთო რაოდენობასთან შეფარდების ( $n$ ) დამოკიდებულება ქარის სამუშაო სიჩქარის სიდიდეზე ( $V/\text{წმ}$ ) ურეკისა და ლანჩხუთისათვის (მრუდები 1,2); ქარის სხვადასხვა სიჩქარის სანგრძლივობის განმეორადობა  $P$  (%) სამუშაო სიჩქარეების საერთო სანგრძლივობაზე დამოკიდებულებით ამავე პუნქტებისათვის (მრუდები 3,4).

ურეკისა და ლანჩხუთისათვის ეს დამოკიდებულებები (მრუდები 1,2) ანალიზურად წარმოვადგინეთ პირველი რიგის სამუცნობიანი პიპერბოლას განტოლების სახით:

$$n = a + bv + \frac{c}{v} \quad (3.5.2)$$

ლანჩხუთისათვის ამ განტოლებას აქვს შემდეგი სახი:

$$n = 55,0 - 5,53v - \frac{33,0}{v} \quad (3.5.3.)$$

ურეკისათვის კი

$$n = -25,24 + 1,33v + \frac{200,57}{v} \quad (3.5.4.)$$

ქარის სხვადასხვა სიჩქარის ხანგრძლივობის განმეორა-დობის  $P$  (%) საშუალო სიჩქარეების  $v$  ხანგრძლივობაზე და-მოკიდებულება (მრუდები 3,4) ორივე სადგურისათვის ანალიზურად წარმოვადგინეთ მეორე რიგის პიკერბოლას განტოლებით:

სადგური ურეკი:

$$P = -5,587 + \frac{919,91}{v^2} \quad (3.5.5.)$$

სადგური ლანჩხუთი:

$$P = 3,0197 + \frac{890,369}{v^2} \quad (3.5.6.)$$

ამ გამოსახულებებში  $v$  მოცემულია მ/წ-ში,  $n$ ,  $P$  კი %-ში.

ქარის სამუშაო სიჩქარის საერთო ხანგრძლივობის  $t$  (საათი) ქარის საშუალო სიჩქარის ( $v$  მ/წ) სიდიდეზე დამოკიდებულებები ( $V \geq 3\text{მ/წ}$  და  $V \geq 5\text{მ/წ}$ ) ანალიზურად წარმოვადგინეთ წრფივი ფუნქციების სახით:

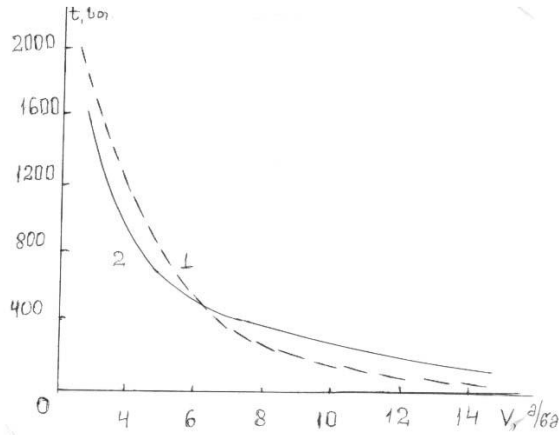
$$v \geq 3 \text{ მ/წ} \quad t = 1275 \frac{1}{v} - 500 \quad (3.5.7)$$

$$v \geq 5 \text{ მ/წ} \quad t = 925 \frac{1}{v} - 1150 \quad (3.5.8.)$$

როგორც 3.5.7.-3.5.8. გამოსახულებებიდან ჩანს, ქარის საშუალო სიჩქარის ზრდისას ქარის სამუშაო სიჩქარის საერთო ხანგრძლივობა მატულობს.

ქარის სამუშაო სიჩქარეების ხანგრძლივობის  $t$  (საათი) ქარის სიჩქარეზე ( $V\text{მ}$ ) დამოკიდებულების  $t=f(v)$  გრაფიკული სახე სუფსის, ანასეველისა და ბახმაროსათვის წარმოდგენილია ნახ. 3.5.2.-ზე.

გრაფიკზე ჩანს, რომ ქარის სიჩქარის  $v$  ზრდისას 3 მ/წ-დან 14 მ/წ-მდე ქარის სამუშაო სიჩქარეების ხანგრძლივობა  $t$  (საათი) მცირდება და  $v$ -ს ფიქსირებული მნიშვნელობებისათვის აღწევს მინიმუმს, რომლის შემდეგ ადგილი აქვს  $t$ -ს მეტნაკლებად სტაბილურ მნიშვნელობებს.



ნახ. 3.5.2. ქარის სამუშაო სიჩქარეების ხანგრძლივობის  $t$  (საათი) ქარის სიჩქარეზე ( $V$  მ) დამოკიდებულება 1-ბახმარო, ანასეული, 2-სუფსა

დამოკიდებულება  $t=f(v)$  ამ საღგურებისათვის სუფსისათვის ანალიზურად წარმოვადგინეთ სამუცნობიანი პირველი რიგის პიპერბოლას განტოლებით:  $t = a + bv + \frac{b}{v^2}$

სუფსა

$$t = 39,22 - 14,18v + \frac{4475,48}{v} \quad (3.5.9.)$$

ბახმარი და ანასეული:

$$t = -1,015 + \frac{16719,24}{v^2} \quad (3.5.10.)$$

ამ განტოლებების საშუალებით გამოთვლილ  $n$ ,  $P$  და  $t$ -ს სიდიდეებს და დაკვირვებების შედეგად მიღებულ სიდიდეებს შორის კავშირი საკმაოდ მჭიდროა. მაგალითად, (3.5.5.) განტოლებით გამოთვლილი  $P$  (%)-ს მნიშვნელობებია  $v=3\text{მ}/\text{წ}$   $P=96,6\%$ :  $v=5\text{მ}/\text{წ}$   $P=31,2\%$ :  $v=8\text{მ}/\text{წ}$   $P=8,8\%$ :  $v=10\text{მ}/\text{წ}$   $P=4\%$ . ხოლო შესაბამისი მრუდიდან  $P=f(v)$  აღებული  $P$ -ს მნიშვნელობები სიჩქარეების იმავე სიდიდეებისათვის შეაღენებნ 100%, 30%, 95, 5%-ს.

კ. სუხიშვილის (1987) თანახმად ქარის სამუშაო და არა-სამუშაო სიჩქარეების უწყვეტი ხანგრძლივობა წელიწადის განმავლობაში იცვლება სეზონებზე დამოკიდებულებით. ქარის სამუშაო სიჩქარეების ( $V \geq 3\text{მ}/\text{წ}$ ) საშუალო და უწყვეტი ხანგრძლივობის უზ-

რუნველყოფა P(%) სიჩქარეების ზრდასთან ერთად კლებულობს: ურექში როდესაც  $V \geq 6$  მ/წმ P=99%,  $V \geq 48$  მ/წმ P=6%, ლანჩხუთში ამავე სიჩქარეებისათვის P ტოლია შესაბამისად 99,5 და 4%-ისა, ქარის სამუშაო სიჩქარეების ( $V \geq 3$  მ/წმ) მაქსიმალურმა უწყვეტმა ხანგრძლივობამ ურექში შეადგინა 150 საათი (თებერვალი), ლანჩხუთში 204 საათი (იანვარი). ქარის სამუშაო სიჩქარეების ( $V \geq 3$  მ/წმ) უწყვეტი ხანგრძლივობის უზრუნველყოფა (%) დამოკიდველია წელიწადის სეზონზე მაქსიმუმით ზამთარში, გაზაფხულზე, მინიმუმით ზაფხულში და შემოღომაზე.

ქარის არააქტიური სიჩქარეების ( $V = \dots 2\text{მ}/\text{წმ}$ ) უწყვეტი ხანგრძლივობის მაქსიმუმმა შეადგინა ურექში 222 საათი, ლანჩხუთში 210 საათი.

საქართველოს ტერიტორიის ქარის ენერგეტიკული რესურსებით დარაიონების თანახმად (კ. სუხიშვილი, 1987) გურიის ტერიტორიის დაბლობი რაიონი, ხასიათდება შემდეგი კადასტრული სიდიდეებით: ქარის სიჩქარის საშუალო წლური სიდიდე აქ მერყეობს 2,5-5,0 მ/წმ-ის საზღვრებში, ქარის საშუალო სიჩქარეების ( $V \geq 3$  მ/წმ და  $V \geq 5$  მ/წმ) საერთო ხანგრძლივობა 3000-3700 და 1450-2550 საათის საზღვრებში, ქარის არააქტიური სიჩქარეების ( $V = 0 \dots 2$  მ/წმ) ხანგრძლივობა კი 5100-5200 საათის საზღვრებში.

ქარის სამუშაო სიჩქარეების ( $V \geq 3$  მ/წმ) საშუალო უწყვეტი ხანგრძლივობა შეადგენს 13-18 საათს, ხოლო ქარის არააქტიური სიჩქარეების ( $V = 0 \dots 2$  მ/წმ) საშუალო უწყვეტი ხანგრძლივობა 18-22 საათს.

აქ არსებული ქარის ენერგეტიკული რესურსები უზრუნველყოფს ნელმავალი ენერგოდანადგარების მუშაობის რენტაბულურ პირობებს. გურიის მთიან რაიონებში ქარის სამუშაო სიჩქარის ( $V \geq 3$  მ/წმ) საერთო ხანგრძლივობა ნაკლებია 2000 საათზე, წინამთაში კი მერყეობს 2000-3000 საათის ფარგლებში.

## თავი IV. ამინდის საშოში მოვლენები

4.1. ატმოსფეროს განსაკუთრებული მოვლენები  
ატმოსფეროს განსაკუთრებული მოვლენები—ელქექი, სეტყვა,  
ნისლი, ქარბუქი, ამინდის საშიშ მოვლენებს წარმოადგენებ. ისინი  
უარყოფით გავლენას ახდენენ მოსახლეობაზე, მათ ჯანმრთვ-  
ლობაზე, ეკონომიკაზე, იწვევენ რა მნიშვნელოვან მატერიალურ  
ზარალს და ზოგჯერ-ადამიანთა მსხვერპლსაც კი.

ატმოსფერული მოვლენების წლიური განმეორადობა რეგი-  
ონში წარმოდგენილია ცხრილში 4.1.1.

ცხრილი 4.4.1. ატმოსფეროს განსაკუთრებული მოვლენების  
დღეთა რიცხვი წლის განმავლობაში

პუნქტი	მოვლენა				
	ელქექი	სეტყვა	ნისლი	ქარბუქი	გრიგალი
სუფსა	27	0.4	14	-	-
ურები	37	1.8	9	-	0.02
ლანჩხუთი	27	0.8	21	-	-
აცანა	20	0.5	18	-	-
ნაბეჭდიავი	26	1.0	20	-	-
ბახმარო	41	2.8	102	30	0.6

როგორც ცხრილიდან ჩანს ატმოსფეროს განსაკუთრებულ  
მოვლენათა რიცხვიდან განსაკუთრებით ხშირია ნისლი და ელქექი.  
ნისლიან დღეთა რიცხვი წლის განმავლობაში ტერიტორიის უმე-  
ტეს ნაწილზე 10-20 დღის ფარგლებშია, ხოლო მთებში სწრაფად  
იზრდება და ბახმაროში 100 დღეს აღემატება. ამავე დროს  
აღსანიშნავია, რომ ნისლი განსაკუთრებით ხშირია წლის თბილ  
პერიოდში და შეადგენს სანაპირო ზოლში 5-10 დღეს, ხოლო  
ბახმაროში აღემატება 80-ს.

განსაკუთრებით საშიშროებას წარმოადგენს მკვრივი ნის-  
ლი, როდესაც ხილვადობა არ აღემატება 50 მ-ს. ასეთი ნისლების  
განმეორადობა წლის განმავლობაში საკმაოდ მაღალია. მაგალი-  
თად ანასეულში შეადგენს 12-ს, ხოლო ბახმაროში 70-ს.

ელქექიან დღეთა რიცხვი ტერიტორიის დიდ ნაწილზე 20-40-  
ს შორის მერყეობს, ხოლო ბახმაროში 41-ს შეადგენს, ელქექი  
აგრეთვე ხშირია წლის თბილი პერიოდის განმავლობაში და გვიან  
შემოდგომამდე გრძელდება, ხოლო იშვიათია ზამთარში.

სეტყვა არ არის ხშირი მოვლენა რეგიონისათვის. დაბლობ  
რაიონებში წლის განმავლობაში სეტყვიან დღეთა რიცხვი არ  
აღემატება 2-ს, ხოლო მთებში იშვიათად აღწევს 3-ს. ამავე დროს  
წლის განმავლობაში დაბლობ რაიონებში სეტყვა დაახლოებით

თანაბრად ნაწილდება, ხოლო მთებში ჭარბობს წლის თბილ პერიოდში.

ქარბუქი ხშირია მთიან რაიონებში. ბახმაროს მონაცემებით ქარბუქიან დღეთა რიცხვი წლის განმავლობაში 30-ს შეადგენს.

ამინდის საშიშ მოვლენას წარმოადგენს გრიგალური ქარი, როდესაც მისი სიჩქარე აღემატება 30 მ/წმ. მისი განმეორადობა, როგორც ცხრილიდან ჩანს არ გამოისახება დიდი რიცხვებით, მაგრამ მას კატასტროფული შედეგის მოტანა შეუძლია. ურეკში და მის მიმდებარე ტერიტორიაზე გრიგალური ქარის განმეორადობა 0,02-ს შეადგენს, ანუ ის მოსალოდნელია 50 წელიწადში ერთხელ, ხოლო ბახმაროში განმეორადობა 0,6-ია, ანუ ყოველ 10 წელიწადში 6 შემთხვევაა მოსალოდნელი გრიგალური ქარით. შემდგომ პარაგრაფებში დაწვრილებით განიხილება ქარბუქისა და ნისლის ტერიტორიული განაწილების და დროში ცვლილების ძირითადი კანონზომიერებანი.

#### 4.2. ქარბუქი

ქარბუქი წარმოადგენს დედამიწის ზედაპირზე ან ატმოსფეროს მიწისპირა ფენაში (რამდენიმე ათეულ მეტრ სიმაღლეზე) ატმოსფეროს სასახლვრო ფენის ქვედა ნაწილის ჩავლით, ( $H \leq 300$  მ) თოვლის მასის გადაადგილების პროცესს ქარის მიერ, რომლის სიჩქარე აღემატება 4-5 მ/წმ-ს. განარჩევენ სამი სახის ქარბუქები: მიწისპირა ქარბუქის დროს თოვლის გადატანა ხდება უშუალოდ თოვლის საფარის ზედაპირზე. დაბალი ქარბუქის პირობებში თოვლის სფარის ზედაპირიდან ხდება თოვლის გადაადგილება ორ მეტრ სიმაღლეზე და ზევით. დაბალი ქარბუქის წარმოშობის აუცილებელი პირობებია საკმაო სიმძლავრის ( $V \geq 4$  მ/წმ) ქარის სიჩქარე და თოვლის საფარის ზედაპირის ხელშემწყობი ფიზიკური მდგომარეობა (ზედაპირი უნდა იყოს შშრალი). საერთოდ ქარბუქი აღინიშნება თოვის პროცესში, როდესაც ქარის მიერ ( $V \geq 4$  მ/წმ) თოვლის მასის გადაადგილება სინქრონულად ხდება თოვლის საფარის ზედაპირიდანაც. ქარბუქის ინტენსივობა განისაზღვრება ქარის სიჩქარით, თოვის ინტენსივობით, თოვლის საფარის ფიზიკური თვისებებით, რელიეფის თავისებურებით (რომლებიც გავლენას ახდენს ქარის სიჩქარეზე), პაერის ტემპურატურით და სინოტიკო (რაზეც დამოკიდებულია მოსული თოვლის ფიფქებისა და თოვლის საფარის ზედაპირის სინოტიკე). გურიის ტერიტორიაზე ქარბუქის ინტენსივობა განსაკუთრებით მძაფრდება ციკლონისა და ანტიციკლონის დაახლოების შემთხვევაში, როდესაც წნევათა სხვაობა და ქარის სიჩქარე აღწევს მაქსიმუმს. ქარბუქიან დღეთა საშუალო რიცხვი თვეში და წელიწადში მოცემულია ცხრილ 4.2.1.-ში.

### ცხრილი 4.2.1. ქარბუქიან დღეთა საშუალო რიცხვი

H, გ	მკვეთრობა										წელი
	I	II	III	IV	V	IX	X	XI	XII		
დაბლა ციხე											
221	0.2	0.2	0.3	0.07					0.07	0.8	
დიდი ვანი											
520	2	1	0.5				0.01	0.02	0.1	4	
ბახმარო											
1926	8	7	5	2		0.07	1	2	5	30	

დამოკიდებულება  $n=f(H)$ , რომელ შიც  $n$  არის ქარბუქიან დღეთა რიცხვი წელიწადში,  $H$ -ჰუნძტის სიმაღლე (გვ) წარმოიდგინება წრფივი ფუნქციის სახით

$$n=17H-3,5$$

(4.2.1.)

წელიწადში ქარბუქიან დღეთა მაქსიმალური რაოდენობის  $n_{max}$  ადგილის აბსოლუტურ სიმაღლეზე (100, კვ) დამოკიდებულებას აქვს შემდეგი სახე

$$n_{max}=20H+10$$

(4.2.2.)

წელიწადში მიწისპირა ქარბუქიან დღეთა საშუალო რაოდენობის დამოკიდებულება ადგილის აბსოლუტურ სიმაღლეზე ასევე წარმოიდგინება წრფივი ფუნქციის სახით:

$$n=2,5+H$$

(4.2.3.)

ქარბუქის (დაბალი, საერთო) საშუალო ხანგრძლივობის  $t$  (საათი) დამოკიდებულება ადგილის აბსოლუტურ სიმაღლეზე დასავლეთ საქართველოს შავი ზღვისკენ ორიენტირებულ ფერდობზე განლაგებულ 9 სადგურის მონაცემებით წარმოიდგინება ასევე წრფივი ფუნქციის სახით:

$$t=7,33H+1,34$$

(4.2.4.)

აღნიშნული კანონზომიერება საკმაო სიზუსტით ასახავს ქარბუქის საშუალო ხანგრძლივობის მაღლივ ცვლილებებს გურიის მთიანი რაიონისათვისაც. ქარბუქის საშუალო ხანგრძლივობის ვერტიკალური გრადიენტი შეადგენს 7 საათს 1კმ. სიმაღლეზე.

წელიწადში ქარბუქიან დღეთა საშუალო რიცხვი შეადგენს დაბლა ციხეში 0,8, დიდ ვანში 4 დღეს, ბახმაროში 30 დღეს. ქარბუქის აქტიურ კერას წარმოადგენს მესხეთის ქედის მაღალი მთიან ადგილის აბსოლუტური სიმაღლის მატებისას ქარბუქიან დღეთა საშუალო რიცხვი იზრდება. ქარბუქიან დღეთა მაქსიმუმი დაბლობ რაიონში მოდის იანვარ-მარტში, მთიან რაიონში-იანვარში (ცხრ. 4.2.2.).

#### ცხრილი 4.2.2. ქარბუქიან დღეთა მაქსიმალური რიცხვი

პერიოდი	თვეები									წელი
	I	II	III	IV	V	IX	X	XI	XII	
ბასმარო	20	16	14	5	2	2	5	8	16	50
დაბლა ციხე	3	3	3	2	-	-	-	-	2	6
დიდი განი	11	8	6	1	-	-	-	3	3	22

როგორც ცხრილ 4.2.2.-დან ჩანს, ქარბუქი დაიკვირვება დაბლობ რაიონებში ნოემბრიდან აპრილის ჩათვლით, ბასმაროში კი—სექტემბრიდან მაისის ჩათვლით. ქარბუქიან დღეთა რაოდენობას ახასიათებს დიდი რყევადობა. მაგალითად, მეზობელ აჭარის ტერიტორიაზე, რომელიც ხასიათდება თოვლის საფარის მეტეოროლოგიური პირობების ანალოგიური რეჟიმული მახასიათებლებით, ქარბუქიან დღეთა რიცხვის ვარიაციის კოეფიციენტი მერყეობს 0,2-0,9-ის ფარგლებში. ადგილის აბსოლუტური სიმაღლის მატებისას უწყვეტი ქარბუქის ხანგრძლივობა ასევე იზრდება, თუ დაბლა მთაში უწყვეტი ქარბუქის ხანგრძლივობამ შეიძლება მაიღწიოს 10 საათს, შეუამთაში იგი მერყეობს 10-30 საათის, ხოლო მაღალ მთაში 30-40 საათის საზღვრებში. გურიის ტერიტორიაზე, მეზობელი აჭარის ტერიტორიის მზგავსად, ქარბუქის აქტივობა, რომლის შეფასება ხდება ქარბუქიან დღეთა რეოდენობით, ქარბუქის საშუალო და მაქსიმალური ხანგრძლივობით, აგრეთვე ქარბუქის უწყვეტი ხანგრძლივობით, ემორჩილება ვერტიკალური ზონალობის კანონები: ადგილის აბსოლუტური სიმაღლის ზრდისას ქარბუქის აქტივობა იზრდება.

#### 4.3. ნისლი

ნისლი წარმოადგენს ატმოსფეროს მიწისპირა ფენაში შეტივნარებული წელის წვეთების და ყინულის კრისტალების ერთობლიობას, რომელთა ზომები მერყეობენ მიკრომეტრის ნაწილებიდან რამდენიმე ათეულ (წელის წვეთები) და ასეულ (ყინულის კრისტალები) მიკრომეტრამდე. (წელის წვეთების უმცემესობის რადიუსი მერყეობს 2-18 მეტ-ის საზღვრებში). ნისლიანობის პირობებში მხედველობის სიშორე 1 ნაკლებია 1 კმ-ზე. მხედველობის სიშორის მიხედვით განარჩევენ ძლიერ ( $l < 50$  მ), ზომიერ ( $l = 50-500$  მ) და სუსტ ( $l = 500-1000$  მ) ნისლს. მხედველობის სიშორე წარმოადგენს ნისლის წელიანობის (გრ/მ<sup>3</sup>) ფუნქციას. ნისლში პაერის ტემპერატურაზე დამოკიდებულებით წყალი შეიძლება იმყოფებოდეს ორ (ორთქლი, წელის წვეთები) ან სამ (წელის ორთქლი, წვეთები, ყინულის კრისტალები) მდგომარეობაში. წარმოქნის ფიზიკურ პირობებზე დამოკიდებულებით ნისლი შეიძლება იყოს

შიდამასიური და ფრონტალური. შიდამასიური ნისლის სახეობებია ადგექციური და რადიაციული ნისლი. მთიან რაონებში ფერდობებზე აღინიშნება ადგექციური ნისლის ნაირსახეობა-ფერდობების ნისლი, რომელიც წარმოიშობა მდგრადი სტრატიფიკაციის პირობებში ჰაერის ფერდობებზე ასვლისას მისი ადიაბატური გაცივების შედეგად, რაც იწვევს წყლის ორთქლის კონდენსაციას. თუ ჰაერის მდგრადი სტრატიფიკაცია იძლვევა, მაშინ ადგილი აქვს გროვა დრუბლების წარმოქმნას. ნისლის წარმოქმნა ხდება აგრეთვე თბილი ქვეფენილი ზედაპირიდან აორთქლების შედეგად შედარებით ცივი ჰაერის მიწისპირა ფენის არსებობის პირობებში, ან თრი სხვადასხვა თერმოპიგრომეტრიული თვისებების ჰაერის მასების შერევის შედეგად, ასეთი ნისლი ხშირად დაიკვირვება შავი ზღვის სანაპირო ტერიტორიაზე.

რადიაციული ნისლის წარმოშობის მიზეზია ქვეფენილი ზედაპირის და ჰაერის მიწისპირა ფენის გაცივება გრძელტალღიანი გამოსხივების შედეგად. მისი წარმოქმნის ხელშემწყობ პირობებს წარმოადგენენ ჰაერის მადალი ფარდობითი ტენიანობა და დრუბლიანობის არარსებობა (მოწმენდილი ცივი პირობებში ატმოსფეროს გრძელტალღიანი უკუგამოსხივება დედამიწის ზედაპირისკენ არის მინიმალური, ქვეფენილი ზედაპირის ეფექტური გამოსხივება კი მაქსიმალური).

ადგექციური ნისლის წარმოშობისას შედარებით ცივ ქვეფენილ ზედაპირზე მოძრავ თბილ ჰაერის მასაში ადგილი აქვს ჰაერის არაალიაბატურ გაცივებას და წყლის ორთქლის კონდენსაციას. ადგექციური ნისლის წარმოშობის ხელშემწყობი პირობებია მოძრავი ჰაერის მაღალი ფარდობითი ტენიანობა, ქვეფენილი ზედაპირისა და ჰაერის ტემპერატურებს შორის დიდი სხვაობა და ქარის დაბალი სიჩქარე, რაც ხელს უწყობს მდგრადი სტრატიფიკაციის (ინვერსიის) წარმოქმნას და გამორიცხავს ტერბულენტობას. უნდა აღინიშნოს, რომ ნისლის ცალქეულ სახეობებს შორის მკვეთრი ზღვარი არ არსებობს ვინაიდან მათ წარმოშობაში მონაწილეობს მეტეოროლოგიური ფაქტორების მთელი კომპლექსი (Л.Т. Матвеев, 1984).

ნისლი წარმოადგენს ამინდის საშიშ მეტეოროლოგიურ მოვლენას. იგი ამცირებს რა მხედველობის სიშორეს, უარყოფითად მოქმედებს ტრანსპორტის ყველა სახეობის ნორმალურ ფუნქციონირებაზე. იგი მოქმედებს, რა ადამიანის სისხლძარღვების გამტარიანობის მარეგულირებელი ნერვების დაბოლოებებზე, ამცირებს ადამიანის კანის საშუალო ტემპერატურას, რომელიც წარმოადგენს ადამიანსა და გარემოს შორის თბოცვლის ინტენსივობის და ადგინის ორგანიზმის თერმორეგულაციის ინდიკატორს. ამ მოვლენას დიდი მნიშვნელობა აქვს განსაკუთრებით იმ ადამიანი-

სათვის, რომელიც ხასიათდება სიცივის მიმართ პათოლოგიურად ინტენსიური ოქრორეაქციით (Биометеорология, 1965).

ცხრილი 4.3.1. ნისლიან დღეთა საშუალო (1) და მაქსიმალური (2) რაოდენობა

	I	II	III	IV	V	VI	VII	VIII	IX	X	XI	XII	წელი
თვე													
ანასეული													
1	0.1	0.7	1	2	2	2	1	0.8	0.9	1	0.7	0.4	13
2	12	12	14	15	13	3	6	8	5	9	7	11	79
აცანა													
1	1	1	2	2	2	0.5	1	0.7	2	1	2	2	18
2	4	7	7	9	5	3	3	4	5	6	5	5	26
ლანჩხუთი													
1	1	1	0.9	1	2	1	1	3	4	4	1	1	21
2	3	4	4	5	8	7	6	19	12	10	7	3	49
ბახმარო													
1	2	2	7	7	10	14	19	17	14	6	2	1	102
2	5	6	9	18	19	22	28	25	25	14	6	4	137
ურეკი													
1	0.2	0.7	1	3	1	0.2	0.3	0.2	0.6	0.6	0.5	0.5	9
2	-	-	-	-	-	-	-	-	-	-	-	-	-
შრომა													
1	0.9	2	3	6	5	0.9	1	0.7	0.4	0.6	0.7	0.7	22
2	3	7	10	12	14	8	9	5	3	3	3	4	37
სუფსა													
1	0.3	0.8	1	2	2	0.9	0.5	1	2	2	0.9	0.4	14
2	2	4	5	6	7	5	2	9	9	8	4	2	28
ვაკიჯვარი													
1	2	3	6	8	8	1	1	1	0.7	1	1	2	35
2	7	10	15	17	16	6	9	6	6	8	9	8	117
ნაბეჭდლავი													
1	2	1	2	4	3	0.9	2	1	0.7	1	0.8	1	20
2	-	-	-	-	-	-	-	-	-	-	-	-	-
დიდი ვანი													
1	3	4	8	11	11	4	5	4	3	3	2	2	60
2	11	12	17	21	20	13	10	13	7	7	8	9	96
ქვემო ხეთი													
1	3	3	4	3	3	2	2	1	1	1	1	2	26
2	8	10	12	13	14	14	9	6	7	6	8	8	86
დაბლა ციხე													
1	4	5	6	8	6	3	3	3	2	2	2	3	47
2	10	13	18	16	15	9	10	10	5	5	8	7	101

გარდა ზოგად ნისლწარმომქმნელი პროცესებისა, გურიის ტერიტორიაზე ნისლიან დღეთა რაოდენობა დამოკიდებულია აგრეთვე ოროგრაფიულ ფაქტორზე და ადგილის აბსოლუტურ სიმაღლეზე. აქ სიმაღლის ზრდის სინქრონულად ნისლიან დღეთა რაოდენობა მატულობს. გასაკუთრებით აღსანიშნავია შავი ზღვის გავლენა, საიდანაც ხდება ნოტიო ჰაერის მასების შემოსვლა, რაც იწვევს ნისლიანობის ზრდას. გურიის ტერიტორიაზე არსებული მეტეოროლოგიური სადგურების მრავალწლიანი ინფორმაციის ანალიზის შედეგად, დადგენილი იქნა ნისლიან დღეთა საშუალო და მაქსიმალური რაოდენობა, ნისლიან დღეთა საშუალო და უდიდესი რაოდენობის ადგილის აბსოლუტურ სიმაღლეზე დამოკიდებულების თავისებურებები, ნისლიან დღეთა რიცხვის ვერტიკალური გრადიენტი, ნისლიან დღეთა განმეორადობა და მათი ხანგრძლივობა თვეების და წელიწადის მიხედვით. ნისლიან დღეთა საშუალო და მაქსიმალური რაოდენობა მოცემულია ცხრილ 4.3.1.-ში. ნისლიან დღეთა საშუალოწლიური რაოდენობა წელიწადის განმავლობაში გურიის შავი ზღვის სანაპირო ზოლში მერყეობს 0,1-2-ის ფარგლებში, მაქსიმუმით მარტივნისის პერიოდში და მინიმუმით ნოემბერ-თებერვლის პერიოდში. წელიწადში ნისლიან დღეთა საშუალო რიცხვი მერყეობს 9-21-ის ფარგლებში. მაქსიმალური რიცხვი კი 28-49-ის ფარგლებში (კლიმატური ცნობარი, ნაწილი 1, 2004).

წელიწადში ნისლიან დღეთა საშუალო  $\bar{N}$  და მაქსიმალური რაოდენობის  $N_{\max}$  ადგილის აბსოლუტურ სიმაღლეზე  $H$  (მ) და-მოკიდებულებები ( $\bar{N} = f(H)$  და  $N_{\max} = f(H)$ ) გურიის ტერიტორიისათვის ანალიზურად წარმოიდგინებიან მეორე რიგის პარაბილას სახით:

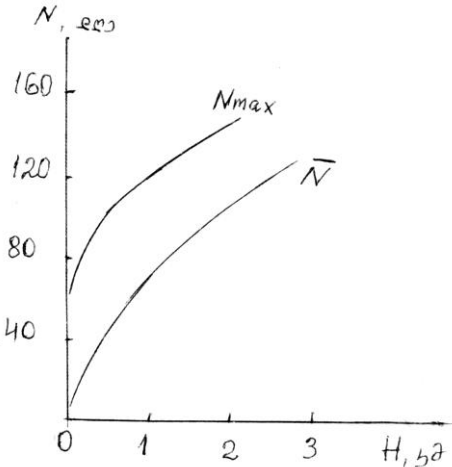
$$\bar{N} = 2,05 + 88,54H - 17,62H^2 \quad (4.3.1.)$$

$$N_{\max} = 16,05 + 151,64H - 44,80H^2 \quad (4.3.2.)$$

ამ დამოკიდებულებების გრაფიკული სახე წარმოდგენილია ნახ. 4.3.1.-ზე. როგორც გამოთვლები გვიჩვენებს, აჭარისა და გურიის ტერიტორიაზე ნისლიანი დღეების მაქსიმალური რაოდენობების მაღლივი განაწილება განსხვავდება ერთმანეთისაგან:

$N_{\max}$  სიდიდეები იდენტურ აბსოლუტურ სიმაღლეებზე აჭარაში გაცილებით მეტია ვიდრე გურიაში. რაც განპირობებულია იმით, რომ შავი ზღვიდან წამოსული ჰაერის ნოტიო ნისლწარმომქმნელი ნაკადები თავისუფლად შემოდიან დასაცლეთისაკენ ორიენტირებულ აჭარის წყლის ხეობებში და ზრდიან ნისლიანობას, გურიის ტერიტორიაზე კი მესხეთის ქედის გვერდითი ხეობები ამ ჰაერის მასების მიმართ მიმართულია თითქმის მართობულად, რის შედეგად

ნისლიანობა მცირდება. მაგალითად 1 კმ სიმაღლეზე  $N_{\max}$  აჭარისათვის შეადგენს 197 დღეს, გურიისათვის კი 123 დღეს. 1,5 კმ სიმაღლეზე მათი მნიშვნელობები შესაბამისად ტოლია 241 და 134 დღისა.



ნახ.4.3.1. ნისლიან დღეთა საშუალო  $\bar{N}$  და მაქსიმალური რაოდენობის  $N_{\max}$  ცვლილება სიმაღლის მიხედვით

ნისლის საშუალო ხანგრძლივობა წელიწადის განმავლობაში მერყეობს: ანასეულში 2,3(IX)-27,4(III) საათის საზღვრებში, სუფსაში 0,8(I)-9,9(IV) საათის საზღვრებში. ერთ დღეში ნისლის საშუალო ხანგრძლივობა ამ სადგურებზე შესაბამოსად 3,4 და 3,8 საათია წელიწადში, წელიწადის ციკ (X-III) და ობილ (IV-IX) პერიოდებში ნისლის ხანგრძლივობა ნისლიან ერთ დღეში შესაბამისად შეადგენს 4,6; 4,5 საათს (ანასეული) და 3,8; 3,8 საათს (სუფსა).

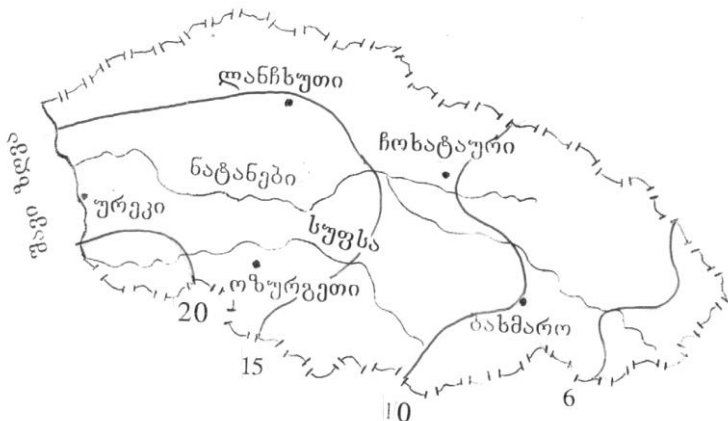
#### 4.4. უხვი ატმოსფერული ნალექები

უხვი ატმოსფერული ნალექები (როდესაც მათი დღე-დამური ჯამები აღემატება 30მმ-ს) გურიის ტერიტორიაზე ხშირია. ისინი ძირითადად გამოწვეულია ფრონტალური პროცესებით და ხშირად კატასტროფულ ხასიათს ატარებენ, იწვევენ რა წყალდიდობებს და წყალმოვარდნებს.

გენეტიკური თვალსაზრისით უხვი ნალექები შეიძლება იყოს როგორც ფრონტალური, ისე კონვექციური ხასიათის. შესაბა-

მისად ფრონტალური წარმოშობის ნალექები უფრო ხანგრძლივია, ვიდრე კონვექციური წარმოშობის ნალექები.

ტერიტორიაზე უხვ ნალექიან დღეთა რიცხვი წლის განმავლობაში შეადგენს 6-20 დღეს (ნახ. 4.4.1). უხვი ნალექები განსაკუთრებით ხშირია სანაპირო ზოლში, სადაც მერყეობს 15-20 დღეს შორის, ხოლო აღმოსავლეთით და მთებში კლებულობს.



ნახ. 4.4.1. დღეთა რიცხვი უხვი ნალექებით წელიწადში

წლის განმავლობაში უხვნალექიან დღეთა რიცხვი მაქსიმუმის შემოდგომაზე აღწევს, მისი მინიმუმი კი გვიან გაზაფხულზე, მასში დგება (ცხრ. 4.4.1).

ცხრილი 4.4.1. უხვნალექიან დღეთა რიცხვის წლიური სკლა

წ ლ ი												წელი
I	II	III	IV	V	VI	VII	VIII	IX	X	XI	XII	
ლანჩხუთი												წელი
1.2	1.0	0.9	0.3	0.3	0.9	1.2	1.3	2.6	2.3	1.7	1.5	15
ბახმარო												
0.9	0.9	0.8	0.2	0.1	0.4	0.4	0.6	1.1	1.9	1.6	1.3	10

ნალექების დღე-დღამური ჯამი რეგიონში ხშირად აღემატება 30 მმ-ს და შესაძლოა გადააჭარბოს 100-200 მმ-ს.

თბილი პერიოდის ნალექები ბარში და მთაში განსხვავდებულ ხასიათს ატარებენ, რაც გამოიხატება მათ ინტენსივობაში, ნალექიან დღეთა რიცხვში და ნალექების რაოდენობაში. აღნიშ-

ნული მაჩვენებლები გურიის ბარში და მთისათვის წარმო-დგენილია ცხრილში 4.4.2.

**ცხრილი 4.4.2. ობილი პერიოდის (აპრილი-ოქტომბერი)  
ნალექების მახასიათებლები  
(Ж.Д. Алибекова, Э.Ш. Элизбарашили, 1980)**

რაიონი	საშუალო ინტენსივობა მმ/წთ	დღეთა რიცხვი ნალექებით	ნალექების რაოდენობა ნალექებიან დღეს მმ	ნალექების ხანგრძლივობა ნალექიან დღეს სთ.
ბარი	0.026	82	11	7.0
მთა	0.016	93	6.4	6.6

ცხრილიდან ჩანს, რომ ბარში შედარებით ნაკლები ნალექები მოდის ვიდრე მთაში, ხოლო ნალექების რაოდენობა ბარში თითქმის ორჯერ მეტია ვიდრე მთაში. სწორედ ამის გამო ნალექების საშუალო ინტენსივობა ბარში მნიშვნელოვნად აღემატება მის ინტენსივობას მთაში.

#### 4.5. თოვლის ზვავები

გურიის მთიანი ნაწილი საქმაოდ დიდი ზვავესშიშროებით გამოიჩინა; ხშირია ზვავების ჩამოსვლით გამოწვეული ზარალიც. ზვავებმა დაანგრიეს საცხოვრებელი სახლები და დამხმარე ნაგებობები 1957-58 წწ. ზამთარში სოფ. ზემო სურებსა და სოფ. ზოგში; 1958-59 წწ. ზამთარში სოფ. ნაბეღლავსა და სოფ. ჩხაკაურაში; 1970-71 წწ. ზამთარში-სოფ. ნაბეღლავში, სოფ. ჩხაკაურაში და სოფ. ქვაბდაში. 1970-71 წწ. ზამთარში ზვავებმა სოფ. ზოგში იმსხვერპლეს 6 ადამიანი, დაანგრიეს 6 საცხოვრებელი სახლი დამხმარე ნაგებობებით, გაწყვიტეს საქონელი და გაანადგურეს საგარეულები. ზვავებმა დიდი მატერიალური ზარალი მიაყენეს პურიორები ბახმაროს 1963-64 წწ. 1970-71 წწ., 1986-87 წწ., 2000-2001 წწ. და 2006-2007 წწ. ზამთარში.

გურიის მთიან ნაწილში ზვავების ფართო გავრცელებას ხელს უწყობს ძირითადად ზვავწარმომქმნელი ფაქტორების რელიეფის, კლიმატისა და მცენარეული საფარის თავისებურება.

მდინარეების სუფსის, გუბაზეულის, ბახვისწყლისა და მათი შენაკადების აუზების მთიან ნაწილში დიდია ზედაპირის როგორც ვერტიკალური, ისე პორიზონტალური დანაწევრება. დანაწევრების სიღრმე საშუალომთიან ზონაში 200-500 მ-ია, ხოლო მაღალმთიან ზონაში 300-600 მ. საქმაოდ დიდი ფართობი უჭირავს ციცაბო ფერდობებს; საშუალომთიან ზონაში ფერდობების უმეტესი ნაწილის ზედაპირის დახრილობა, ძირითადად, შეადგენს 15<sup>0</sup>-30<sup>0</sup>-ს, ხო-

ლო მაღალმთიან ზონაში— $25^0$ - $35^0$ -ს. ტყის გავრცელების ზონაში ხშირია მქნერტყიანი და უტყეო ციცაბო ფერდობების გავრცელება. ძირითადი მდინარეებისა და მათი შენაკადების აუზების მაღალმთიან ნაწილში (სუბალაზური და ალპური ზონა) საქმაოდ დიდი ფართობი უჭირავს უტყეო ციცაბო ფერდობებს.

საკვლევი ტერიტორია საქართველოს განსაკუთრებით უხვოთოიან რაიონს მიეკუთვნება. აქ, მყარი ნალექების საშუალო წლიური რაოდენობა იცვლება  $10\text{--}50$  მმ-დან (ზღვის დონიდან  $50\text{--}150$  მ)  $700\text{--}800$ -მდე ( $1800\text{--}1900$ ). კურორტ ბახმაროში (1928წ) მყარი ნალექების მაქსიმალური წლიური რაოდენობა აღწევს  $1100\text{--}1200$  მმ-ს, ხოლო მინიმალური რაოდენობა მეტია  $300$  მმ-ზე. თოვლის საფარის მაქსიმალური სიმაღლე აღწევს დაბალმთიან ზონაში  $200\text{--}400$  სმ-ს, ხოლო საშუალომთიან ზონაში  $400\text{--}610$  სმ-ს. დიდია თოვლის საფარის სიმაღლის ცვლილება დროში;  $1900\text{--}2000$  მ-ზე თოვლის საფარის მაქსიმალური სიმაღლე არის  $600\text{--}700$  სმ, საშუალო სიმაღლე  $290\text{--}300$  სმ, ხოლო მინიმალური სიმაღლე  $110\text{--}120$  სმ. მეტეოროსადგურ ბახმაროს მონაცემებით ერთი თოვის დროს მოსული თოვლის საფარის სიმაღლის მაქსიმალურმა ნამატება შეადგინა  $315$  სმ, ხოლო დღე-დღამურმა ნამატება— $139$  სმ.

გურიის ტერიტორიაზე ზვაგწარმოქმნელი ფაქტორების თავისებურება, კერძოდ, უტყეო ციცაბო ფერდობების ფართო გავრცელება და უხვი თოვლი ხელს უწყობს ზვავების ფართო გავრცელებას.

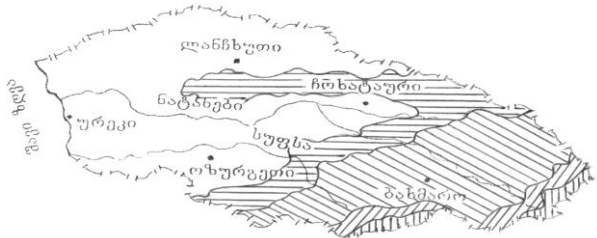
ტერიტორიის ზვაგსაშიშროების განმსაზღვრელი რაოდენობრივი მახასიათებლები საკვლევ რეგიონში დიდ ფარგლებში იცვლება. მაღალმთიან ზონაში ტერიტორიის ზვაგაქტიურობა (ზვაგაქტიური ფერდობების წილი საერთო ფართობში) აღწევს  $60\text{--}70\%$ -ს, ზვაგშემკრებების გავრცელების სიხშირე (ზვაგშემკრებების რაოდენობა  $1 \text{ კმ}^2\text{-ზე}$ )— $15\text{--}17$ -ს, ზვავების ჩამოსვლის სიხშირე (მათი ჩამოსვლის რაოდენობა ერთ ზამთარში) — $15\text{--}17$  შემთხვევას, ხოლო ზვაგსაშიში პერიოდის მაქსიმალური ხანგრძლივობა (ზვაგსაშიშ დღეთა რაოდენობა ერთ ზამთარში) — $150\text{--}160$  დღე-დამეს.

გურიის ტერიტორიის დარაიონებას ზვაგსაშიშროების ხარისხის მიხედვით საფუძვლად დაედო  $4$  ძირითადი რაოდენობრივი მახასიათებელი: ტერიტორიის ზვაგაქტიურობა, ზვაგშემკრებების გავრცელების სიხშირე, ზვავების ჩამოსვლის მაქსიმალური სიხშირე და ზვაგსაშიში პერიოდის მაქსიმალური ხანგრძლივობა ერთ ზამთარში.

არაზვაგსაშიშია გურიის მთლიანი ფართობის  $53\%$ , ძირითადად, ზედაპირის  $15^0\text{-ზე}$  ნაკლები დახრილობის მქონე ზავი ზღვისა და კოლხეთის დაბლობის მიმდებარე ტერიტორია (ნახ. 4.5.1.).

ზვაგსაშიშ ტერიტორიაზე, რომლის ქვედა საზღვარი ზღვის დონიდან 120-300 მ-ზე გადის, ზვაგსაშიშროების ხარისხის მიხედვით გამოიყოფა სუსტი (გურიის მთლიანი ფართობის 17%), საშუალო (23%), ძლიერი (5%) და განსაკუთრებით ძლიერი (2%) ზვაგსაშიშროების რაიონები.

სუსტი ზვაგსაშიშროების რაიონს მიეკუთვნება ტერიტორია, სადაც ზვაგსაშიშროების რაოდენობრივი მახასიათებლები ნაკლებია შემდეგ სიდიდეებზე: ტერიტორიის ზვაგაქტიურობა—29%-ზე, ზვაგშემკრებების გავრცელების სიხშირე—5 ზვაგშემკრებზე 1გმ<sup>2</sup>-ზე, ზვაგების ჩამოსვლის მაქსიმალური სიხშირე—5 შემთხვევაზე და ზვაგსაშიში პერიოდის მაქსიმალური ხანგრძლივობა—50 დღეზე ერთ წამთარში. სუსტი ზვაგსაშიშროების რაიონს, ძირითადად, უკავია დაბალმთიანი, შედარებით დამრეცი, არაზვაგსაშიში ტერიტორიის მიმდებარე ფერდობები, აგრეთვე გორაკ-ბორცვიანი ტერიტორიის ის ნაწილი, რომლის ზედაპირის დახრილობა მეტია 15°-ზე.



ცახ. 4.54. ზვაგსაშიშროების ხარისხი

	განსაკუთრებით ძლიერი
	ძლიერი
	საშუალო
	სუსტი
	არაზვაგსაშიში

საშუალო ზვაგსაშიშროების რაიონს მიეკუთვნება ტერიტორია, სადაც ერთი რაოდენობრივი მახასიათებელი მაინც აღემატება შემდეგ სიდიდეს: ტერიტორიის ზვაგაქტიურობა 20%-ს, ზვაგშემკრებების გავრცელების სიხშირე—5 ზვაგშემკრებზე 1გმ<sup>2</sup>-ზე, ზვაგების ჩამოსვლის მაქსიმალური სიხშირე—5 შემთხვევას და ზვაგსაშიში პერიოდის მაქსიმალური ხანგრძლივობა—50 დღეს ერთ წამთარში. საშუალო ზვაგსაშიშროების რაიონს უკავია საქმიანდ დიდი ფართობი და ის, ძირითადად, მოიცავს 15°-ზე მეტი დახრილობის ქრონი მეჩერტყიან, აგრეთვე მცირე ფართობის მქონე უტყეო დაბალმთიან და საშუალომთიან ზონაში მდებარე ფერდობებს.

ძლიერი ზვავსაშიშროების რაიონში ტერიტორიის ზვავაქტიურობა მეტია 49%-ზე, ზვავშემკრებების გავრცელების სიხშირე-10 ზვავშემკრებზე 1კმ<sup>2</sup>-ზე, ზვავების ჩამოსკლის მაქსიმალური სიხშირე-10 შემთხვევაზე, ხოლო ზვავსაშიში პერიოდის მაქსიმალური სანგრძლივობა-100 დღეზე ერთ ზამთარში. რაიონს უკავია სუბალკური ზონა და ალპური ზონის ნაწილი.

განსაკუთრებით ძლიერი ზვავსაშიშროების რაიონს მიეკუთვნება ტერიტორია, სადაც ზვავსაშიშროების რაოდენობრივი მახასიათებლები მეტია შემდეგ სიღიღებზე: ტერიტორიის ზვავაქტიურობა-60%-ზე, ზვავშემკრებების გავრცელების სიხშირე-15 ზვავშემკრებზე 1კმ<sup>2</sup>-ზე, ზვავების ჩამოსკლის მაქსიმალური სიხშირე-15 შემთხვევაზე და ზვავსაშიში პერიოდის მაქსიმალური სანგრძლივობა-150 დღეზე ერთ ზამთარში. რაიონს უკავია ძალიან მცირეფართობი და მოიცავს მაღალმთიან უტყეო ციცაბო ფერდობებს.

გურიაში ზვავსაშიში ცალკეული პუნქტები (ზემო სურები, ჩვაბლა, ზოტი, ხაკაურა და სხვა), კურორტები (ბაბმარო, ნაბეჭდავი და სხვა), საავტომობილო გზები (ჩოხატაური-ბახმარო და სხვა). მარტო ერთ ჩოხატაური-ბახმაროს საავტომობილო გზას ემუქრება 67 ზვავშემკრებში წარმოქმნილი ზვავი. ჩვენს მიერ გამოვლენილი მოსახლეობის, სამეურნეო და სხვა დანიშნულების ობიექტებისათვის საშიში ზვავშემკრებები. დადგენილია ამ ზვავშემკრებების მორფომეტრიული და მათში წარმოქმნილი ზვავების დინამიკური მახასიათებლები.

ზვავშემკრებების დასაწყისის აბსოლუტური სიმაღლე იცვლება 475 მ-დან (მდ. გუბაზეულის ხეობა) 2500 მ-დე (მდ. საშალას ხეობა). დასასრულის სიმაღლე-290 მ-დან (მდ. გუბაზეულის ხეობა) 2170 მ-დე (მდ. ბახვისწყალის ხეობა), უმოკლესია (250 მ) მდ. გუბაზეულის ხეობაში მდებარე ზვავშემკრები, ხოლო უგრძესი (2100 მ)-მდ. საშვალას ხეობაში მდებარე ზვავშემკრები, საკვლევი ტერიტორიისათვის დამახასიათებელია ზვავშემკრებები რომლებიც იწყება მაღალმთიან ზონაში (2000-2500 მ-ზე) და მთავრდება საშუალომთიან ზონაში (1500-2000 მ-ზე), აგრეთვე ზვავშემკრებები, რომელთა სიგრძე 500-1000 მ-ია. (ცხრ. 4.5.1.).

გურიის ტერიტორიაზე მოსახლეობისა და სამეურნეო ობიექტებისათვის საშიში ზვავის კერძის ფართობი იცვლება 0,1 ჰა-დან (მდ. გუბაზეულის, მდ. საშვალას, მდ. ბახვისწყალის და მდ. ჩხაკაურას ხეობები) 22 ჰა-მდე (მდ. საშვალას ხეობა), ზვავის კერძის

ცხრილი 4.5.1. ზვავშემკრებების განაწილება დასაწყისისა და დასასრულის აბსოლუტური სიმაღლისა და სიგრძის მიხედვით

მასაზე დაზღუდული გ ნიმუშების გ რაობის მიხედვით, გ	% საქროო რაობის მიხედვით, გ	მასაზე დაზღუდული გ ნიმუშების გ რაობის მიხედვით, გ	% საქროო რაობის მიხედვით, გ	სიგრძე, მ	% საქროო რაობის მიხედვით, გ
≤1000	27	≤500	24	500	11
1001-1500	19	501-1000	21	501-1000	49
1501-2000	12	1001-1500	9	1001-1500	26
>2000	42	>1500	46	>1500	14

ზედაპირის დახრილობა- $18^0$ -დან (მდ. საშვალას ხეობა)  $45^0$ -მდე (მდ. გუბაზეულის ხეობა), ხოლო მაქსიმალური სიჩქარე  $10$  მ/წმ-დან (მდ. ბახვისწყალის ხეობა)  $44$  მ/წმ-მდე (მდ. გუბაზეულის ხეობა) იცვლება. (ცხრ. 4.5.2.)

ცხრილი 4.5.2. ზვავის კერების განაწილება ფართობისა და ზედაპირის დახრილობის, ზვავების განაწილება მაქსიმალური სიჩქარის მიხედვით

ფართობის, ჰა	% საქროო რაობის მიხედვით, გ	დახრილობის, მაქსიმალური დანართის მიხედვით, გ	% საქროო რაობის მიხედვით, გ	სიგრძე, მ	% საქროო რაობის მიხედვით, გ
≤0,5	70	≤25	12	≤20	29
0,5-1,0	1	26-30	45	21-30	47
1,1-5,0	11	31-35	29	51-40	22
>5,0	7	>35	14	>40	2

გურიაში შედარებით ფართოდ არის გავრცელებული ზვავის კერები, რომელთა ფართობები ნაკლებია  $0,5$  ჰა-ზე, ხოლო ზედაპირის დახრილობა შეადგენს  $26-30^0$ -ს, აგრეთვე  $21-30$  მ/წმ მაქსიმალური სიჩქარის მქონე ზვავები.

საკვლევ რეგიონში ზვავის მაქსიმალური დარტიბის ძალა მერყეობს  $5$  ტ/მ<sup>2</sup>-დან (მდ. ბახვისწყალის ხეობა)  $89$  ტ/მ<sup>2</sup>-მდე (მდ. გუბაზეულის ხეობა), ზვავის კონცენტრაცია მაქსიმალური მოცულობა- $1000$  მ<sup>3</sup>-დან (მდ. გუბაზეულის ხეობა)  $280000$  მ<sup>3</sup>-მდე (მდ. ბახვისწყალის ხეობა), ხოლო მოძრავი ზვავის სიმაღლე  $9$  მ-დან (მდ. გუბაზეულის

ხეობა) 26 მ-მდე (მდ. საშვალის ხეობა). საკვლევი რეგიონისათვის ისეთი ზვავებია დამახასიათებელი, რომელთა მაქსიმალური დარტყმის ძალა ნაკლებია 25 ტ/მ-ზე, კონუსის მოცულობა – 5000 მ<sup>3</sup>-ზე, ხოლო სიმაღლე კი შეადგენს 16-20 მ-ს. (ცხრ. 4.5.3.).

ცხრილი 4.5.3. ზვავების განაწილება მაქსიმალური დარტყმის ძალის, კონუსის მოცულობისა და სიმაღლის მიხედვით

დარტყმის ძალა, ტ/მ <sup>2</sup>	% საკრიო რაოდენობა	მოწვევის მიღების ათასი გვ.	% საკრიო რაოდენობა	ზეავე ზოგადის ხაზი	% საკრიო რაო- დენობა
≤25	49	≤5	50	≤10	9
26-50	38	6-10	22	11-15	33
51-75	11	11-100	17	15-20	46
>75	2	>100	11	>20	12

#### 4.6. წაყინვები

გურიის რეგიონში, მის დაბლობ, ზღვისპირა ნაწილში, სუბტროპიკული ჰავაა, რომელიც ხასიათდება ნალექების სიუცვით და ტემპერატურის შედარებიდ მაღალი ფონით მთელი წლის განმავლობასი. ასეთი პირობები ხელსაყრელია სითბოსმოვარული მცენარეების, მათ შორის ჩაისა და ციტრუსების მოყვანისათვის. სამწუხაროდ ეს კულტურები მგზობიარეა პაერის ტემპერატურის მკვეთრი დაცვითი ან ეპიზოდური წაყინვების მიმართ.

წაყინვების ქვეშ, როგორც წესი, იგულისხმება პაერის ტემპერატურის დაცვითი 0°C-ზე დაბლა მეტეოროლოგიური ბუდრუგანის მონაცემების მიხედვით გაზაფხულზე ან შემოდგომაზე, როდესაც პაერის საშუალო დღე-დამური ტემპერატურა დაღებითია. წარმოშობის ხელშემწყობი პირობების, გავრცელების არეალისა თუ ხანგრძლივობის მიხედვით წაყინვები რამდენიმე სახისაა, მოკლედ განვიხილოთ მათი ზოგიერთი თავისებურება.

თავისი წარმოშობის მიხედვით მ. ზახაშვილი (1964) ბარიული ველის მრავალფეროვნებიდან გამოყოფს 4 ძირითად ტიპს, რომელიც ხელს უწყობს დასავლეთ საქართველოში და კერძოდ გურიაში წაყინვების წარმოქმნას. ესენია:

I ტიპი, როდესაც ბარიული ველის კონფიგურაცია ხელს უწყობს საქართველოში ცივი მასების გადაადგილებას დასავლეთიდან აღმოსავლეთისაკენ. ასეთი შემთხვევები წაყინვების 30%-ს მოიცავს, თუმცა მათი ალბათობა შემოდგომაზე 2-ჯერ უფრო ხშირია ვიდრე გაზაფხულზე. წაყინვები უმეტესად წარმოიქმნება

ციფრ ფრონტის გავლის შემდეგ, მეორე დღეს. ეს არის ადგექციურ-რადიაციული ტიპის წაყინვების შემთხვევა, რომლის დროსაც აღინიშნება სუსტი ქარი და საშუალო მოდრულულობა.

**II ტიპის** პროცესები იწვევს წაყინვებს ზღვისპირა რეგიონში, უფრო ნაკლებად ინტენსიურია და თანაბრად ალბათურია როგორც გაზაფხულზე, ასევე შემოდგომაზე. მათი ალბათობა შეადგენს 20%-ს.

**III ტიპის** პროცესების ალბათობა ასევე 20%-ია, უმეტესად გაზაფხულზე. ამ დროს საქართველოში ჰაერის ციფრი მასები შემოდის აღმოსავლეთიდან და გურიის რეგიონში, როგორც წესი, წაყინვები არ აღინიშნება.

**IV ტიპის** პროცესები თანაბრად გვხვდება როგორც გაზაფხულზე, ისე შემოდგომაზე, მათი ალბათობა 25%-მდეა. ამ დროს დამახასიათებელია ბარიული ველის გარდაქმნა ზონალურიდან მერიდიანულზე ან პირიქით. ჰაერის ციფრი მასების შემოჭრა მოსალოდნელია როგორც დასავლეთიდან, ისე აღმოსავლეთიდან. დასავლეთ საქართველოში ამ დროს წაყინვები სუსტია და სანმოკლე.

წაყინვების თავისებურება აჭარაში (საქართველოს ჰავა, აჭარა, 2003), აფხაზეთში (საქართველოს ჰავა, აფხაზეთი, 2006), საქართველოში მოლიანად (Чоговадзе, 1975) განხილულია რიგ მონოგრაფიაში და სტატიაში; ჩვენ შევეცდებით შედარებით დეტალურად განვიხილოთ ეს საკითხი გურიის რეგიონისათვის, მეტეოროლოგიური საღვარი დანწევულის მრავალწლიანი დაკვირვების მასალების ანალიზის საფუცველზე.

წაყინვები გენეტიკურად დაყოფილია რადიაციულ, ადგექციურ და ადგექციურ-რადიაციულ ტიპებით. აღნიშნულ რეგიონში უმეტესად გვხვდება რადიაციული წაყინვების შემთხვევები (42%). მათთვის დამახასიათებელია მოწმენდილი ცა, უქარო ამინდი. სშირად ვხვდებით დილის საათებში, მზის ამოსვლის წინ. მათი გამომწვევი მიზეზებია დედამიწის ზედაპირიდან სითბოს ინტენსიური გამოსხივება. ასეთი წაყინვების გავრცელების არეალი დიდი არ არის, ასევე ცირკა მათი ინტენსივობა. მზის ამოსვლის შემდეგ ჰაერის ტემპერატურა სწრაფად იზრდება და წაყინვებს ადგილი აღარა აქვს. დასავლეთიდან ჰაერის ციფრი მასების შემოჭრა შეიძლება გაგრძელდეს ზედიზედ რამდენიმე დღე. აღრე გაზაფხულზე და გვიან შემოდგომაზე, დაბალი ტემპერატურული ფონის პირობებში ადგილი აქვს ადგექციური ტიპის წაყინვებს, ჩვენს შემთხვევაში 34%. ამ ტიპის წაყინვებისათვის დამახასიათებელია ქარის სიჩქარე ( $3 \pm 5$  მ/წმ და მეტი), მოდრულულობა ( $3 \pm 5$  ბალი და მეტი), ტემპერატურის საგრძნობი დაცემა და გავრცელება საკმაოდ დიდ ტერიტორიაზე. წაყინვების მესამე ტიპის მიეკუთვნება ეწ. ადგექციურ-რადიაციული წაყინვები, ჩვენს შემთხვევაში 24%. ეს ტიპი

შეიძლება განვითარდეს თუ ციფი პაერის მასების შემოჭრას ზედ დაერთვის მოწმენდილი ცის პირობებში ჰაერის დამატებითი გადაციება, დედამიწის ზედაპირიდან ინტენსიური გამოსხივების გამო. ასეთი ტიპის წაყინვები მოიცავს დიდ ტერიტორიას, საქმაოდ ინტენსიურია, გრძელდება რამდენიმე დღე და იწვევს მცენარის დაზიანებას, მოსავლის შემცირებას ან მოსპობას.

წაყინვების შესასწავლად უკელაზე მეტად მიღებულია მათი დახასიათება წაყინვიან დღეთა რაოდენობის მიხედვით. თუ მოცემულ მეტეოროდანგურზე III, IV ან X, XI თვეში მეტეოროლოგიურ ბუდრუგანაში თუნდაც ერთ დაკვირვების ვადაზე ან მინიმალური თერმომეტრის ჩვენებით დაფიქსირდა უარყოფითი ტემპერატურა დადებითი საშუალო დღე-დამური ტემპერატურის შემთხვევაში, მაშინ დღე ითვლება წაყინვიანად ტემპერატურის დაცემის სიდიდისა თუ დაკვირვების ვადების მიუხედავად.

მასალის ანალიზი გვიჩვენებს, რომ ერთი თვის განმავლობაში ლანჩხუთში შეიძლება აღგილი პქონდეს წაყინვის  $0 \div 10$  შემთხვევას. 10 შემთხვევა დაფიქსირდა 1942 და 1953 წლის მარტში. აპრილში წაყინვები კიდევ უფრო იშვიათია, ოქტომბერში მხოლოდ 3 შემთხვევად დაფიქსირებული და ნოემბერში ისევე იზრდება წაყინვების რაოდენობა. დაკვირვების 35 წლიანი პერიოდის მანძილზე არსებული 180 შემთხვევა ასე გადანაწილდა თვეების მიხედვით: მარტში 128 (წლიწადში საშუალოდ 3,6), აპრილში 10 (საშ. 0,3), ოქტომბერში 3 (საშ. 0,1) და ნოემბერში 39 (საშ. 1,1).

წლის განმავლობაში წაყინვების რაოდენობა იცვლება  $0 \div 15$  ფარგლებში. საერთოდ არ პქონდა წაყინვებს აღგილი 1947, 1951, 1969 და 1970 წლებში.  $12 \div 15$  წაყინვის შემთხვევა აღინიშნა 1941, 1945, 1948 და 1965 წლებში.

წაყინვები ლანჩხუთში არ გამოირჩევა დიდი ხანგრძლივობით. შემთხვევების 63% ეპიზოდური, ერთდღიანი წაყინვებია. ორდღიანი წაყინვების რაოდენობა 23%-ია, სამდღიანი 9% და უკელაზე ხანგრძლივი, ხუთდღიანი წაყინვების შემთხვევა მხოლოდ 1%-ია. რაც შეეხება მათ ხანგრძლივობას დღის განმავლობაში, შემთხვევათა 51% ფიქსირდება მხოლოდ მინიმალური თერმომეტრის ჩვენების საფუძველზე. დაკვირვების ერთ ვადაზე დაფიქსირდა შემთხვევათა 29% და ორ ვადაზე 20%.

პრაქტიკული მოზნებისათვის დიდი მნიშვნელობა აქვს ე.წ. უყინვო პერიოდის ხანგრძლივობის ცოდნას. თუ გავითვალისწინებთ, რომ გაზაფხულის ბოლო წაყინვა ლანჩხუთში საშუალოდ  $9/III$  არის მოსალოდნელი, ხოლო შემოდგომის პირველი წაყინვა საშუალოდ  $20/XII$  თვეშია, უყინვო პერიოდის საშუალო ხანგრძლივობა 285 დღეა. ცხადია, ეს დასკვნა ვრცელდება მხოლოდ გურიის დაბლობი ზონისათვის, კურორტი ბახმაროს მიმდებარე ტე-

რიტორიაზე უყინვო პერიოდის ხანგრძლივობა 110-140 დღის ფარგლებშია.

ჩემი მიმოხილვა არ იქნება სრული, თუ არ განვიხილეთ წაყინვების კიდევ ერთი მახასიათებელი, მათი ინტენსივობა. ცნობილია, რომ ციტრუსოვანი კულტურების დაზიანების ხარისხი დამოკიდებულია მათი განვითარების ფაზაზე, წაყინვების ხანგრძლივობაზე და მათ ინტენსივობაზე. ეს მონაცემები მოგვყავს ცხრილში 4.6.1. ისევ დანწევთის მეტეოსადგურის მონაცემების მიხედვით.

ცხრილი 4.6.1. წაყინვების ინტენსივობა  $^{\circ}\text{C}$ , ლანჩხუთი

ტემპერატურის გრადაცია		თ ვ ე				ჯამი
დან	მდე	III	IV	X	XI	
0.0	-0.9	65	6	1	18	90
-1.0	-1.9	42	2	2	11	57
-2.0	-2.9	16	1	-	4	21
-3.0	-3.9	2	1	-	5	8
-4.0	-4.9	2	-	-	1	3
-5.0	-10.0	1	-	-	-	1

როგორც ცხრილიდან ჩანს წაყინვების უმეტესობა, 90 შემთხვევა არ არის ინტენსიური, ტემპერატურა არ ეცემა  $-1.0^{\circ}\text{C}$ -ზე დაბლა; 57 შემთხვევაში ტემპერატურა დაეცა  $-2.0^{\circ}\text{C}$ -მდე და ა.შ. იმ შემთხვევაში, თუ საჭირო იქნება მცენარეთა დაცვა ინდივიდუალური (ქსოვილის შემოხვევა) თუ სხვა საშუალებებით (დაბოლება, ჰაერის მასების აღრევა, სითბოს დამატებითი წყაროების გამოყენება) ეს მონაცემები სასარგებლო ინფორმაციას მიაწვდის დაინტერესებულ პირებს თუ ორგანიზაციებს.

## ლ ი ტ ე რ ა ს უ რ ა

1. ბლანუცა ს., ელიზბარაშვილი ე., ქარცივაძე ნ. კურორტი ურეკი. „საბჭოთა საქართველო”, 1982.
2. ელიზბარაშვილი გ. საქართველოს ტერიტორიის ტემპერატურული ცელი. თბ., 1999.
3. ელიზბარაშვილი ე. საქართველოს კლიმატური რესურსები. თბ., 2007.
4. კორძახია გ. საქართველოს ჰავა. თბ., „მეცნიერება“, 1961.
5. საქართველოს კურორტები და საკურორტო რესურსები. ატ-ლასი, მოსკოვი, 1989.
6. საქართველოს ჰავა. ტომი 1, აჭარა. ჰიდრომეტინსტიტუტის შრომები, ტ.110, 2003.
7. საქართველოს ჰავა. ტომი 2. აფხაზეთი. ჰიდრომეტინსტიტუტის შრომები, ტ.112, 2006.
8. საქართველოს ჰავა. ტომი 3. სამეგრელო-ზემო სვანეთი. ჰიდრომეტინსტიტუტის შრომები, ტ.113, 2010.
9. საქართველოს სამეცნიერო-გამოყენებითი კლიმატური ცნობარი ნაწილი 1. ცალკეული კლიმატური მახასიათებლები, თბ., 2004.
10. მელაძე გ. სუბტროპიკული ტექნიკური კულტურების აგრო-კლიმატური პირობები და პროგნოზები, თბ., 1971.
11. სამუქაშვილი რ. კლიმატის რადიაციული ფაქტორები. საქართველოს ჰავა, აფხაზეთი ჰიდრომეტინსტიტუტის შრომები, ტ.112, 2006.
12. მელაძე გ. გურიის აგროკლიმატური მაჩვენებლების მნიშვნელობა სოფლის მეურნეობისათვის. აგრარული უნივერსიტეტის სამეცნ. შრომათა კრებული, ტ.2 №3(48), 2009.
13. მელაძე გ., მელაძე გ. გურიის რეგიონის აგროკლიმატური რესურსების შეფასება. აგრარული უნივერსიტეტის სამეცნ. შრომათა კრებული, ტ.2 №2, 2009.
14. Алибекова Ж.Д., Элизварашвили Э.Ш. Статистическая структура атмосферных осадков горных районах. Л., Гидрометеоиздат, 1980.
15. Биометеорология. Л., 1965.
16. Будыко М.И., Берлянд Т.Г., Зубенок Л.И. Методика климатологических расчётов составляющих теплового баланса. Труды ГГО, вып. 48(110), 1951.
17. Берлянд Т.Г. Методика климатологических расчётов суммарной радиации. Метеорология и гидрология, №9. 1960.
18. Гогишвили К.С. Исследования циркуляционных факторов генезиса климата Грузии. Тбилиси, 1971.
19. Гриневич Г.А. Пути исследования кадастровых характеристик энергии воды, ветра и солнца. Труды энергетического института АН Узб. ССР, вып. 9, 1966.

20. Гриневич Г.А. Задачи и принципы исследования характеристик возобновляющихся источников энергии. Ташкент, изд. АН Узб, СССР, 1963.
21. Захашвили М.А. Аеросиноптические условия возникновения заморозков на территории Грузинской ССР. Труды ЗакНИГМИ, вып. 15(21), Л., 1964.
22. Климат и климатические ресурсы Грузии. Л. Гидрометеоиздат, 1971.
23. Котария А.Ф. Методы климатической обработки метеорологических наблюдений. Изд., Тбил. Госунта, 1985.
24. Матвеев Л.Т. Курс общей метеорологии. Л. Гидрометеоиздат, 1984.
25. Мелия Г.Т. Гелиоэнергетические ресурсы Грузинской ССР. Тбилиси, изд. АНГССР, 1959.
26. Научно-прикладной справочник по климату СССР. Серия 3, вып. 14. Грузинская ССР. Л. Гидрометеоиздат, 1990.
27. Опасные гидрометеорологические явления на Кавказе. Л. Гидрометеоиздат, 1980.
28. Пивоварова З.И. Радиационные характеристики климата СССР, Л. Гидрометеоиздат, 1977.
29. Самукашвили Р.Д. О корреляционных связях между радиационным балансом и его составляющими для территории Кавказа. Труды ВГИ, вып. 66, 1987.
30. Самукашвили Р.Д. Исследование климатических районов территории Грузии с целью применения их при составлении долгосрочных прогнозов погоды. Фонд ЗакНИГМИ, Тбилиси, 1991.
31. Сванидзе Г. Г., Гагуа В.П., Сухишвили Э.В. Возобновляемые энергоресурсы Грузии. Л. Гидрометеоиздат, 1987.
32. Сивков С.И. Методы расчёта характеристик солнечной радиации. Л. Гидрометеоиздат, 1968.
33. Сухишвили Э.В. Режим скоростей ветра на территории Грузии. Труды ЗакНИГМИ, вып. 18(24), Л. Гидрометеоиздат, 1980.
34. Справочник по климату СССР, вып. 14 ч.1-5, Л. Гидрометеоиздат, 1968-1971.
35. Цуккиридзе Я.А. Солнечный кадастр Грузии. Труды ЗакНИГМИ, вып. 12, 1963.
36. Чоговадзе И.В. Исследование статистической структуры заморозков и морозов на территории Грузинской ССР. Очёт, НТБ ЗакНИГМИ, Тбилиси, 1975.
37. Элизбаравшили Э.Ш., Гонгадзе Н.Ш. Климатография курортов Грузии. Тбилиси, 1980.

## შინაარსი

### შესავალი

- I. პლიგატის ვორმილების ძირითადი ვაძლევები-----  
1.1. კლიმატის რადიაციული ფაქტორები (რ. სამუკა-  
შვილი)-----  
1.2. ატმოსფერული ჰაერის წნევა (რ. სამუკაშვილი)  
1.3. ატმოსფეროს ცირკულაციური პროცესები (ჯ.ვა-  
ჩნაძე, ი. ვაჩნაძე)-----
- II. პლიგატის ძირითადი ელემენტების ტერიტორიული  
განაწილების კანონზომილებანი-----  
2.1. ჰაერის ტემპერატურა (მ. ელიზბარაშვილი)-----  
2.2. ჰაერის სინოტივე (კელიზბარაშვილი, რ.კორ-  
დახია)-----  
2.3. ატმოსფერული ნალექები (ე. ელიზბარაშვილი)-----  
2.4. თოვლის საფარი (რ. სამუკაშვილი, ც. დიასა-  
მიძე)-----  
2.5. ქარი (რ. სამუკაშვილი)  
2.6. ტემპერატურა-სინოტივის კომპლექსი (რ.კორდა-  
ხია, ჯ.ვაჩნაძე)-----
- III. პლიგატური რესურსები-----  
3.1. საკურორტო რესურსები (ე.ელიზბარაშვილი, მ.  
ელიზბარაშვილი, ნ.ვაშავაძე)-----  
3.2. მიკროკლიმატური გამოყვლევები (მ.ელიზბარა-  
შვილი, ნ. ვაშავაძე)-----  
3.3. აგროკლიმატური რესურსები (გ.მელაძე, მ.მე-  
ლაძე)-----  
3.4. ჰელიოენერგეტიკული რესურსები (რ.სამუკაშვი-  
ლი, ც.დიასამიძე)-----  
3.5. ქარის ენერგეტიკული რესურსები (რ.სამუკა-  
შვილი)-----
- IV. ამინდის საშიში მოვლენები-----  
4.1. ატმოსფეროს განსაკუთრებული მოვლენები (შ.  
ელიზბარაშვილი)-----  
4.2. ქარბუქი (რ. სამუკაშვილი)-----  
4.3. ნისლი (რ. სამუკაშვილი)-----  
4.4. უხევი ატმოსფერული ნალექები (შ.ელიზბა-  
რაშვილი)-----  
4.5. თოვლის ზვავები (ლ. ქალდანი, მ. სალუქვაძე, გ.  
ჯინჭარაძე)-----  
4.6. წაყინვები (ჯ. ვაჩნაძე, ც. დიასამიძე)-----
- ლიტერატურა-----